Подшипники-ролики

Технические характеристики

По вопросам продаж и поддержки обращайтесь:

Алматы (727)345-47-04 Ангарск (3955)60-70-56 Архангельск (8182)63-90-72 Астрахань (8512)99-46-04 Барнаул (3852)73-04-60 Белгород (4722)40-23-64 Благовещенск (4162)22-76-07 Брянск (4832)59-03-52 Владивосток (423)249-28-31 Владикавказ (8672)28-90-48 Владимир (4922)49-43-18 Волоград (844)278-03-48 Вологда (8172)26-41-59 Воронеж (473)204-51-73 Екатеринбург (343)384-55-89

Россия +7(495)268-04-70

Иваново (4932)77-34-06 Ижевск (3412)26-03-58 Иркутск (395)279-98-46 Казань (843)206-01-48 Калининград (4012)72-03-81 Калуга (4842)92-23-67 Кемерово (3842)65-04-62 Киров (8332)68-02-04 Коломна (4966)23-41-49 Кострома (4942)77-07-48 Краснодар (861)203-40-90 Красноярск (391)204-63-61 Курск (4712)77-13-04 Курган (3522)50-90-47 Липецк (4742)52-20-81

Казахстан +7(727)345-47-04

Магнитогорск (3519)55-03-13 Москва (495)268-04-70 Мурманск (8152)59-64-93 Набережные Челны (8552)20-53-41 Нижний Новгород (831)429-08-12 Новокузнецк (3843)20-46-81 Ноябрьск (3496)41-32-12 Новосибирск (383)227-86-73 Омск (3812)21-46-40 Орел (4862)44-53-42 Оренбург (3532)37-68-04 Пенза (8412)22-31-16 Петрозаводск (8142)55-98-37 Псков (8112)59-10-37 Пермь (342)205-81-47

Беларусь +(375)257-127-884

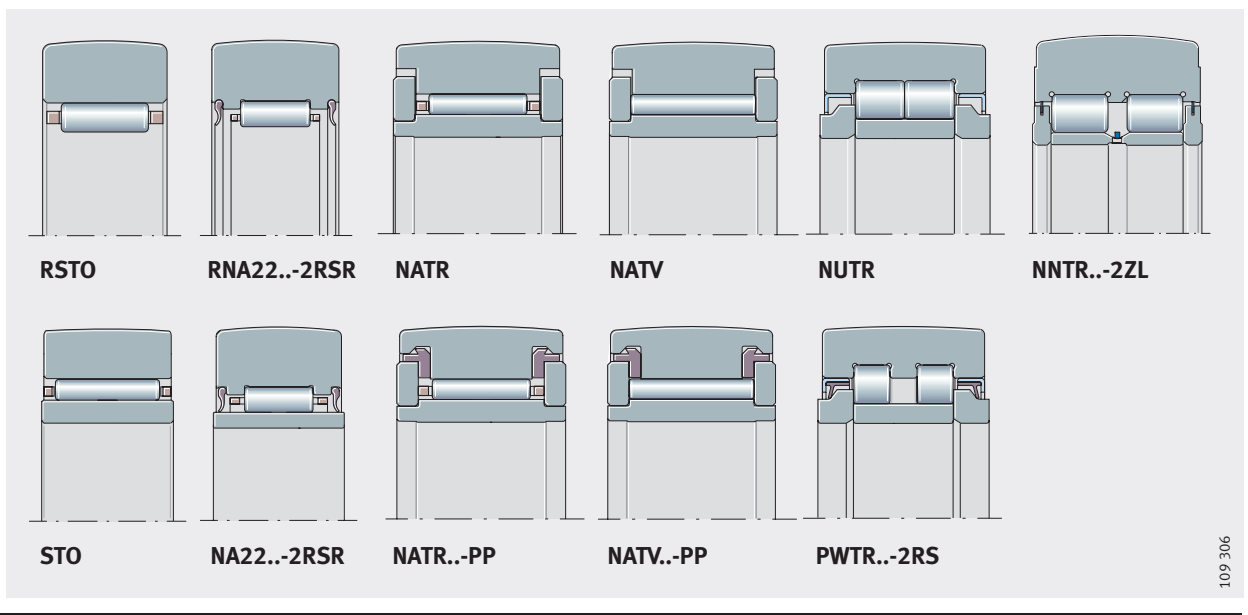
Ростов-на-Дону (863)308-18-15 Рязань (4912)46-61-64 Самара (846)206-03-16 Санкт-Петербург (812)309-46-40 Саратов (845)249-38-78 Севастополь (8692)22-31-93 Саранск (8342)22-96-24 Симферополь (3652)67-13-56 Смоленск (4812)29-41-54 Сочи (862)225-72-31 Ставрополь (8652)20-65-13 Сургут (3462)77-98-35 Сыктывкар (8212)25-95-17 Тамбов (4752)50-40-97 Тверь (4822)63-31-35

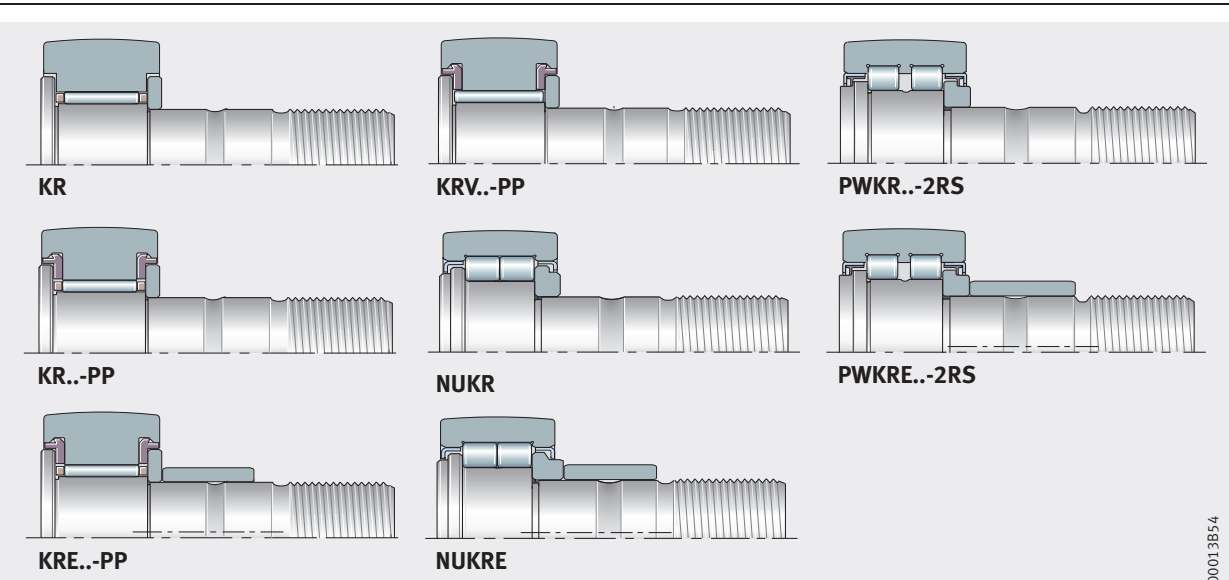
Узбекистан +998(71)20<u>5-18-59</u>

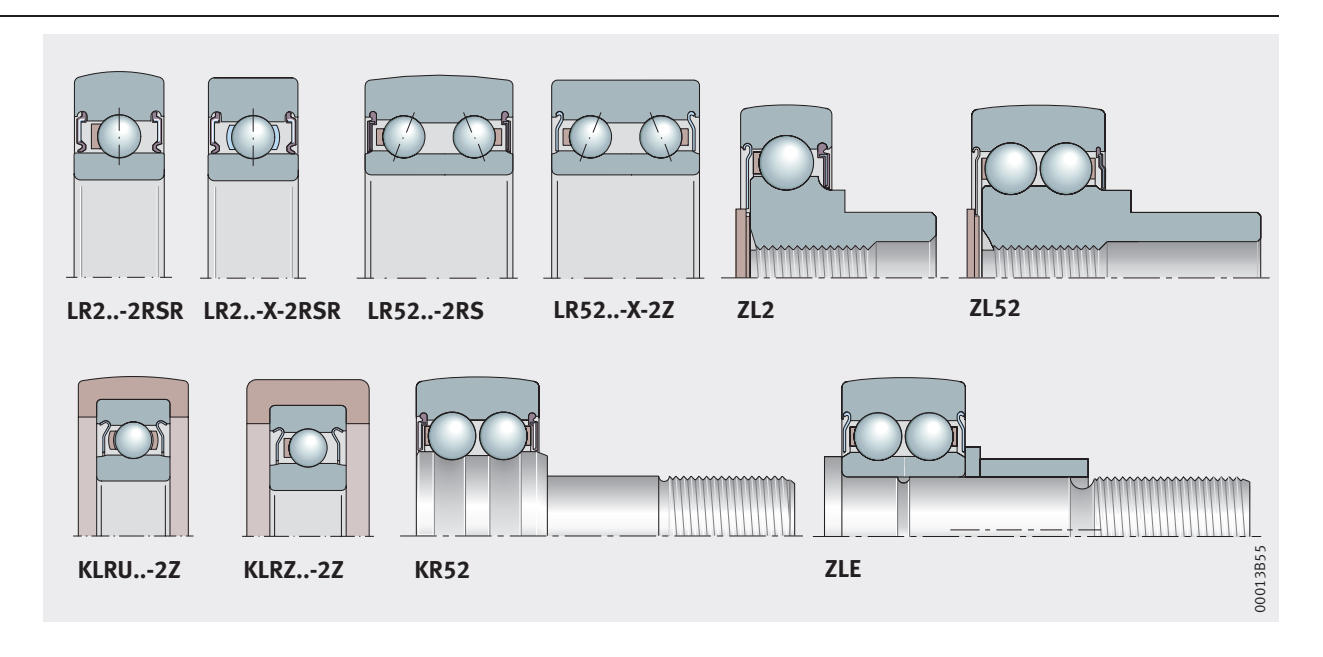
Тольятти (8482)63-91-07 Томск (3822)98-41-53 Тула (4872)33-79-87 Тюмень (3452)66-21-18 Ульяновск (8422)24-23-59 Улан-Удэ (3012)59-97-51 Уфа (347)229-48-12 Хабаровск (4212)92-98-04 Чебоксары (8352)28-53-07 Челябинск (351)202-03-61 Череповец (8202)49-02-64 Чита (3022)38-34-83 Якутск (4112)23-90-97 Ярославль (4852)69-52-93

Киргизия +996(312)96-26-47

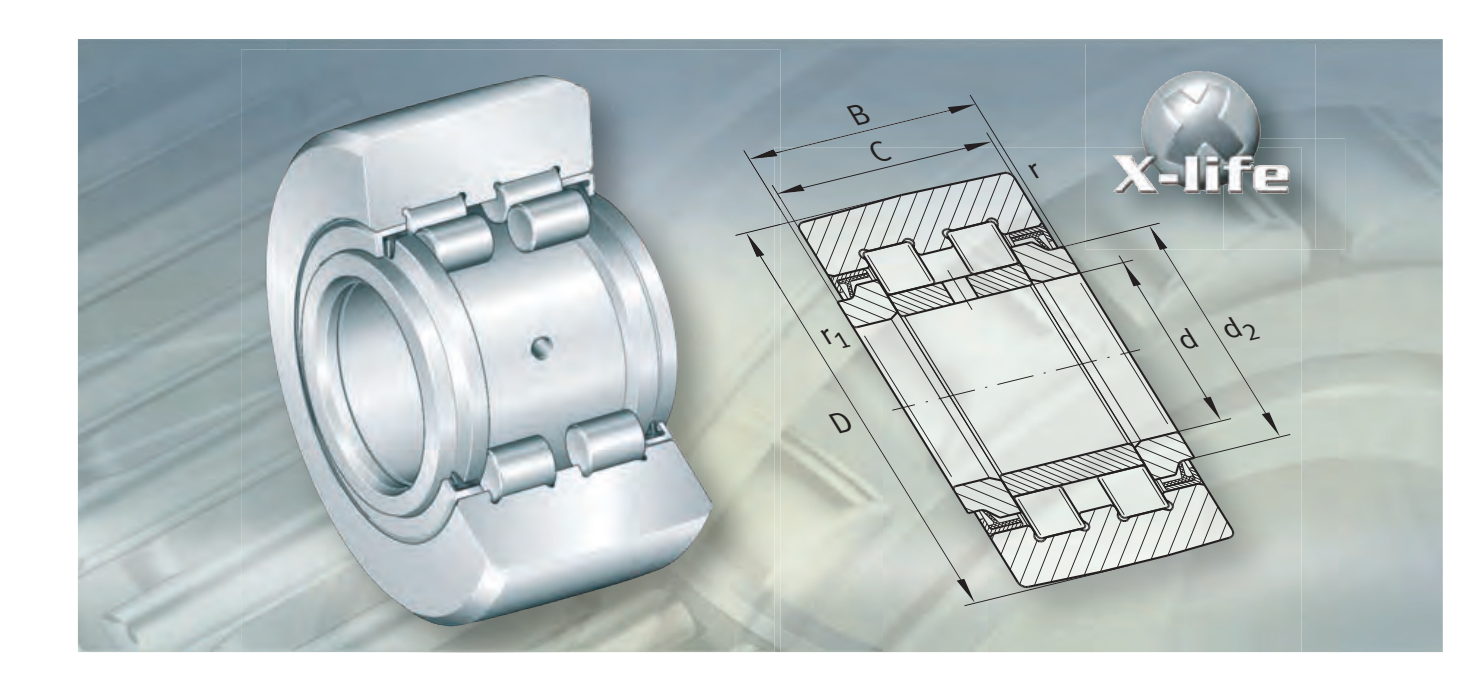
эл.почта: iap@nt-rt.ru || сайт: https://ina.nt-rt.ru/











Общий обзор Опорные ролики

без осевого центрирования без внутреннего кольца





контактные уплотнения

RNA22..-2RSR



с внутренним кольцом





контактные уплотнения

NA22..-2RSR



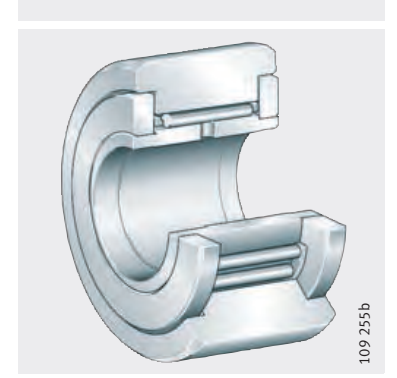
с осевым центрированием с сепаратором

пластмассовые упорные шайбы или щелевые уплотнения

NATR..-PP



NATR



NATV



игольчатые без сепаратора пластмассовые упорные шайбы или щелевые уплотнения

роликовые без сепаратора

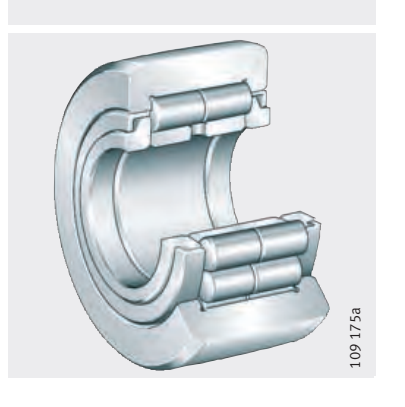
лабиринтные уплотнения

NATV..-PP



NUTR





PWTR..-2RS



NNTR..-2ZL



роликовые без сепаратора со средним бортиком

защищенные контактные уплотнения или защитные шайбы с пластинчатым кольцом

Опорные ролики

Основные свойства

Опорные ролики представляют собой одно- или двухрядные подшипники, монтируемые на ось. Они состоят из толстостенного наружного кольца с профилированной образующей поверхностью и комплекта цилиндрических роликов без сепаратора, либо комплекта игольчатых роликов с сепаратором или без сепаратора.

Опорные ролики способны воспринимать высокие радиальные нагрузки, а также осевые нагрузки, возникающие вследствие незначительных перекосов и вращения под углом к направлению движения и, как пример, пригодны для применения в кулачковых приводах, направляющих устройствах и транспортировочных механизмах.

Подшипники выпускаются как с внутренним кольцом, так и без него, с уплотнениями и без уплотнений.

Конструктивный ряд PWTR поставляется в исполнении X-life. Модифицированный материал и усовершенствованная геометрия дорожки качения на наружном кольце обеспечивают повышение долговечности до 30%.

Увеличена статическая и динамическая грузоподъемность. Кроме того, усовершенствованный профиль и улучшенное качество образующей поверхности наружного кольца снижают нагрузку на дорожку качения сопряженной детали.

В результате данных мер получают очень надежные подшипниковые опоры с увеличенным сроком службы.

Профиль образующей поверхности наружного кольца

На практике преимущественное применение находят опорные ролики с выпуклой образующей поверхностью наружного кольца, поскольку в большинстве случаев возникают перекосы относительно дорожки качения сопрягаемой детали, и необходимо избежать напряжений на кромках наружного кольца.

Радиус профиля образующей поверхности равен R = 500 мм. Для конструктивного ряда NNTR..-2ZL значение радиуса приведено в таблице размеров.

Ролики конструктивных рядов NATR..-PP, NATV..-PP, NUTR и PWTR..-2RS имеют образующую поверхность с оптимизированным профилем INA.

У опорных роликов, имеющих данную кривизну профиля поверхности (см. начиная от *puc.* 1, стр. 942 до *puc.* 5, стр. 943):

- контактные напряжения ниже;
- нагрузка на кромки при перекосе ниже;
- износ дорожки качения сопряженной детали меньше;
- срок службы дорожки качения сопряженной детали выше.

Опорные ролики без внутреннего кольца

Опорные ролики RSTO и RNA22..-2RSR не имеют внутреннего кольца. Они особенно компактны в радиальном направлении, однако условием их применения является наличие закаленной и шлифованной дорожки качения на оси.

Ролики конструктивного ряда RSTO разъемные. Их наружное кольцо и комплект игольчатых роликов с сепаратором могут монтироваться раздельно.

С сепаратором, необходимость центрирования наружного кольца

У роликов конструктивных рядов RSTO и RNA22..-2RSR ведение тел качения осуществляется сепаратором. Данные конструктивные ряды не имеют осевого центрирования наружного кольца. Осевое центрирование наружного кольца и сепаратора с роликами должно быть предусмотрено посредством сопрягаемой конструкции, см. раздел «Сопрягаемая конструкция для опорных роликов», стр. 955.

Уплотнения

Ролики RSTO не имеют уплотнений, ролики конструктивного ряда RNA22..-2RSR имеют контактные уплотнения с двух сторон.

Смазывание

Подшипники смазаны консистентной смазкой с комплексным литиевым загустителем согласно GA08.

Опорные ролики с внутренним кольцом

Данные опорные ролики применяются, если ось не имеет закаленной и шлифованной дорожки качения.

Ролики STO разъемные. Наружное кольцо, внутреннее кольцо и сепаратор с роликами могут монтироваться раздельно.

С цилиндрическими или игольчатыми роликами, с сепаратором и без него

Конструктивные ряды STO, NA22..-2RSR, NATR и NATR..-PP имеют сепаратор. Конструктивные ряды NATV и NATV..-РР выпускаются с игольчатыми роликами без сепаратора; опорные ролики NUTR, PWTR..-2RS и NNTR..-2ZL – с цилиндрическими роликами без сепаратора.

Подшипники без сепаратора имеют максимально возможное количество тел качения, поэтому обладают особенно высокой грузоподъемностью. В силу кинематических свойств, достижимы несколько меньшие частоты вращения, чем в случае опорных роликов с сепаратором.

Осевое центрирование наружного кольца

Ролики STO и NA22..-2RSR не имеют осевого центрирования наружного кольца. Оно должно осуществляться посредством сопрягаемой конструкции, см. раздел «Сопрягаемая конструкция для опорных роликов», стр. 955.

У конструктивных рядов NATR и NATV осевое центрирование обеспечивается посредством комбинации пластмассовых и металлических упорных шайб. У роликов NUTR наружное кольцо центрируется по телам качения, у PWTR..-2RS и NNTR..-2ZL – по среднему бортику и телам качения.



Опорные ролики

Защита от коррозии Опорные ролики PWTR..-2RS-RR защищены от коррозии

специальным покрытием Corrotect®. Описание покрытия см. на стр. 970.

Уплотнения Следующая табл. «Уплотнения» демонстрирует уплотнения

опорных роликов.

Уплотнения

| Опорный ролик | |
|--------------------|---|
| Конструктивный ряд | Уплотнение |
| STO STO | Без уплотнений |
| NA222RSR | Контактное уплотнение |
| PWTR2RS | Защищенное контактное уплотнение с двух сторон |
| NATRPP NATVPP | Трехступенчатое уплотнение посредством пластмассовых упорных шайб |
| NATR NATV | Щелевое уплотнение |
| NUTR | Лабиринтное уплотнение |
| NNTR2ZL | Защитные шайбы с пластинчатыми кольцами |

Трехступенчатое уплотнение

Трехступенчатое уплотнение включает в себя щелевое уплотнение между пластмассовой упорной шайбой и наружным кольцом и лабиринтное уплотнение между сформованной уплотняющей кромкой и канавкой во внутреннем кольце.

Пластмассовая упорная шайба, напоминающая по форме тарельчатую пружину, в качестве третьей ступени уплотнения образует дополнительное, прилегающее с натягом контактное уплотнение. Кроме того, она обеспечивает скольжение между наружным кольцом и упорными шайбами, снижая трение и расход смазки.

Смазывание

Подшипники заполнены консистентной смазкой на основе комплексного литиевого загустителя согласно GA08 и могут смазываться через внутреннее кольцо.

Для повторного смазывания применяется консистентная

смазка Arcanol LOAD150.

Рабочая температура

Опорные ролики применяются при рабочей температуре от −30 °C до +140 °C. У подшипников с уплотнениями (дополнительные обозначения 2RS и 2RSR) и подшипников с пластмассовым сепаратором (дополнительное обозначение TV) температура ограничена диапазоном от −30 °C до +120 °C.

Следует учитывать данные, касающиеся температур эксплуатации, приведенные в главе «Основные технические положения», раздел «Смазывание».



Опорные ролики NATR..-PP и NATV..-PP пригодны для рабочих температур от -30 °C до +100 °C, ограниченных свойствами консистентной смазки и материала уплотнений.

Дополнительные обозначения

Дополнительные обозначения поставляемых исполнений приведены в табл.

Поставляемые исполнения

| Дополни- тельное обозна- чение | Описание | Исполнение |
|---|--|-------------|
| PP | Пластмассовые упорные шайбы со сформованной уплотнительной кромкой с двух сторон опорного ролика образуют трехступенчатое уплотнение | Стандартное |
| RR | Специальное антикоррозионное покрытие Corrotect [®] | |
| TV | Пластмассовый сепаратор | |
| 2RS | Защищенные контактные уплотнения с двух сторон опорного ролика | |
| 2RSR | Радиальные контактные уплотнения с двух сторон опорного ролика | |
| 2ZL | Защитные шайбы с пластинчатыми кольцами с двух сторон опорного ролика | |



Общий обзор Опорные ролики с цапфой

без эксцентрика с сепаратором

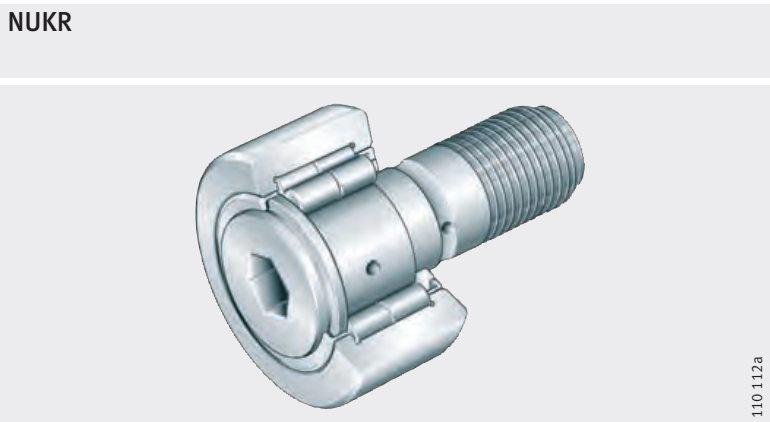
пластмассовые упорные шайбы или щелевые уплотнения



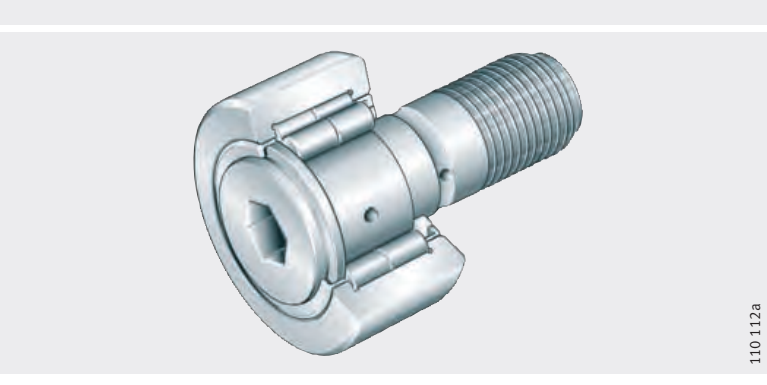
игольчатые без сепаратора



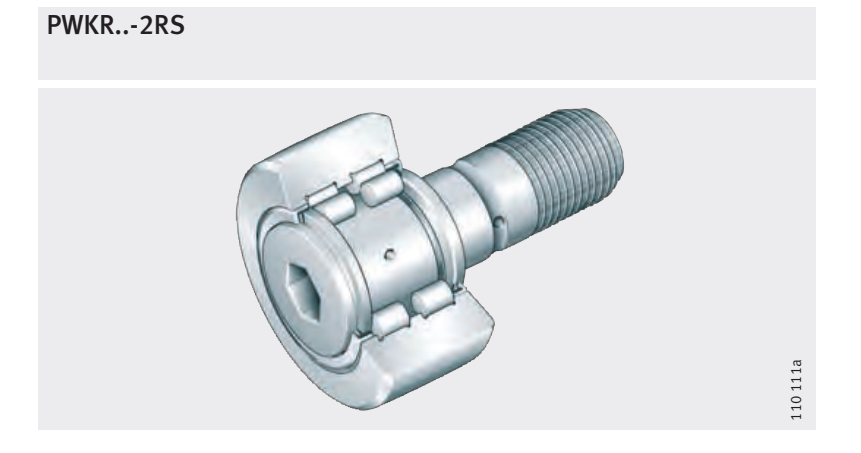
пластмассовые упорные шайбы



роликовые без сепаратора лабиринтные уплотнения



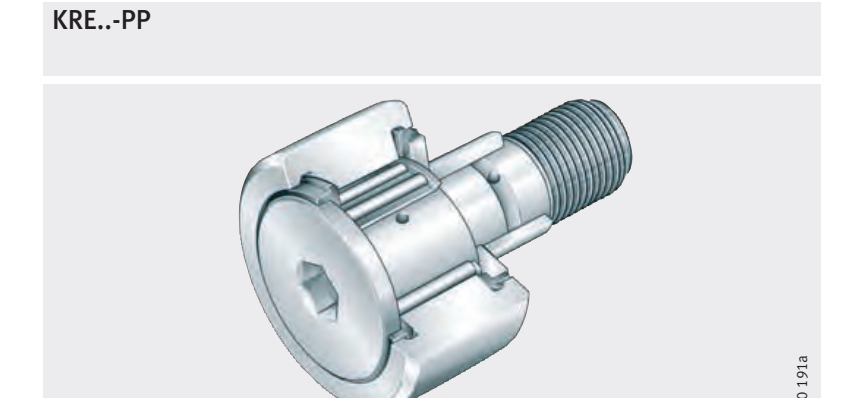
роликовые без сепаратора со средним бортиком защищенные контактные



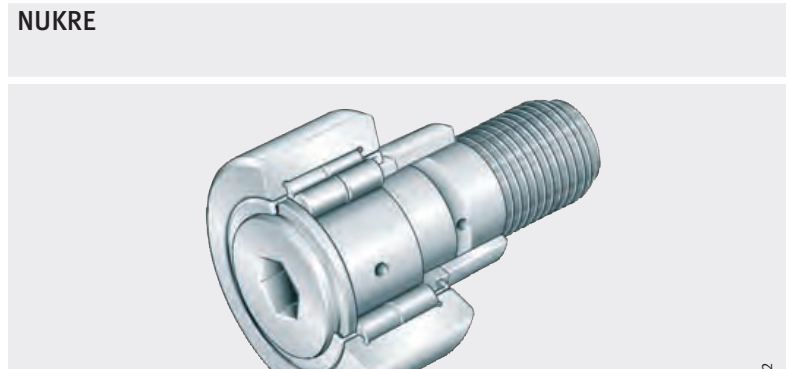
уплотнения

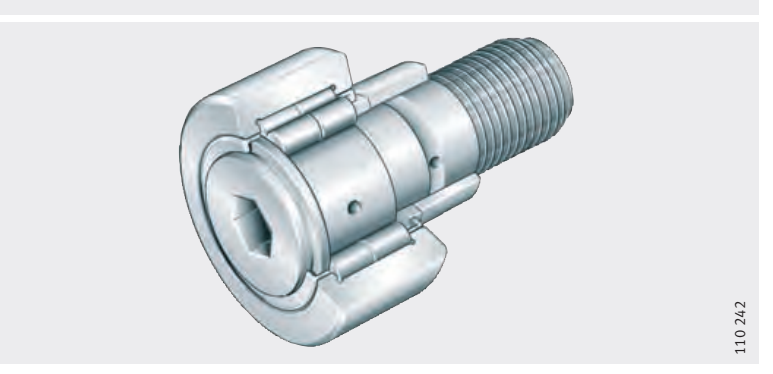
с эксцентриком с сепаратором

пластмассовые упорные шайбы

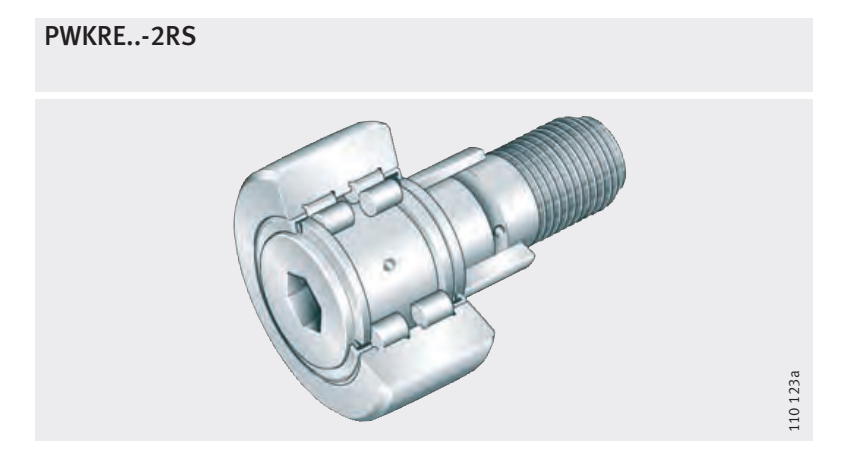


роликовые без сепаратора лабиринтные уплотнения





роликовые без сепаратора со средним бортиком защищенные контактные



уплотнения

Опорные ролики с цапфой

Основные свойства

Опорные ролики с цапфой по своей конструкции идентичны однорядным или двухрядным опорным роликам, однако в качестве дорожки качения имеют массивную цапфу с крепежной резьбой и смазочным отверстием.

Благодаря толстостенному наружному кольцу с профилированной образующей поверхностью и комплекту тел качения, они воспринимают высокие радиальные нагрузки, а также осевые нагрузки, возникающие в результате незначительных перекосов или вращения под углом к направлению движения, и применяются, например, в кулачковых приводах, в направляющих устройствах и транспортировочных механизмах.

Конструктивные ряды PWKR(E) поставляются в исполнении X-life. Модифицированный материал и усовершенствованная геометрия дорожки качения на наружном кольце обеспечивают повышение долговечности до 30%.

Увеличена статическая и динамическая грузоподъемность. Кроме того, усовершенствованный профиль и улучшенное качество образующей поверхности наружного кольца снижают нагрузку на дорожку качения сопряженной детали.

В результате данных мер получают очень надежные подшипниковые опоры с увеличенным сроком службы.

Профиль образующей поверхности наружного кольца

Преимущественное применение находят опорные ролики с цапфой с выпуклой образующей поверхностью наружного кольца, поскольку в большинстве случаев возникают перекосы относительно дорожки качения сопряженной детали, и необходимо избежать напряжений на кромках наружного кольца.

У конструктивного ряда KR радиус профиля образующей поверхности равен R = 500 мм. Конструктивные ряды KR..-PP, KRE..-PP, KRV..-PP, NUKR, NUKRE, PWKR..-2RS и PWKRE..-2RS имеют образующую поверхность с оптимизированным профилем INA.

У роликов с цапфой, имеющих данную кривизну профиля поверхности (см. начиная от рис. 1, стр. 942 до рис. 5, стр. 943):

- контактные напряжения ниже;
- нагрузка на кромки при перекосе ниже;
- износ дорожки качения сопряженной детали меньше;
- срок службы дорожки качения сопряженной детали выше.

Опорные ролики с цапфой производятся в различных исполнениях, а также с эксцентриком и без эксцентрика.

Опорные ролики с цапфой без эксцентрика

Во время монтажа опорных роликов с цапфой без эксцентрика достичь строго определенного положения относительно дорожки качения сопрягаемой конструкции не удается. Раздел «Опорные ролики с цапфой с эксцентриком» см. на стр. 940.

С цилиндрическими или игольчатыми роликами, с сепаратором и без него

Ролики KR, KR..-PP имеют сепаратор, KRV..-PP – игольчатые без сепаратора.

Конструктивные ряды NUKR и PWKR..-2RS — роликовые без сепаратора.

Опорные ролики с цапфой без сепаратора имеют максимально возможное количество тел качения, поэтому обладают особенно высокой грузоподъемностью. В силу кинематических свойств достижимы несколько меньшие частоты вращения, чем в случае роликов с сепаратором.

Осевое центрирование наружного кольца

У роликов KR, KR..-PP и KRV..-PP осевое центрирование осуществляется с помощью заплечиков наружного кольца и упорных шайб.

Наружные кольца роликов конструктивных рядов NUKR и PWKR..-2RS центрируются по телам качения и бортам.

Защита от коррозии

Ролики PWKR..-2RS-RR защищены от коррозии специальным покрытием Corrotect $^{\circledR}$. Описание свойств покрытия приводится на стр. 970.

Уплотнения

Опорные ролики с цапфой оснащаются уплотнениями с двух сторон. Конструктивный ряд КR имеет щелевые уплотнения, ролики KR..-PP — трехступенчатые уплотнения посредством пластмассовых упорных шайб с уплотнительной кромкой с двух сторон подшипника, ролики NUKR — лабиринтные уплотнения, а ролики PWKR..-2RS — защищенные контактные уплотнения. Конструкция трехступенчатого уплотнения PP описана на стр. 934.

Смазывание

Подшипники заполнены консистентной смазкой на основе комплексного литиевого загустителя согласно GA08 и могут смазываться через цапфу. Для повторного смазывания применяется консистентная смазка Arcanol LOAD150.



Опорные ролики с цапфой

Опорные ролики с цапфой с эксцентриком

Положение опорных роликов, имеющих эксцентрик на цапфе, может быть отрегулировано посредством внутренних шестигранников в цапфе со стороны ролика или со стороны крепежной резьбы. Тем самым может быть отрегулировано положение образующей поверхности наружного кольца относительно дорожки качения сопрягаемой конструкции. Это позволяет изготавливать сопрягаемую конструкцию с более грубыми допусками. Кроме того, при использовании нескольких роликов улучшается распределение нагрузки, и возможна простая реализация систем линейного перемещения с предварительным натягом.

Место самого высокого положения эксцентрикового кольца обозначено на торце цапфы, значение эксцентриситета е приведено в таблицах размеров. В том же месте находятся радиальные смазочные отверстия, которые должны лежать в ненагруженной зоне дорожки качения.

С сепаратором или без сепаратора

Ролики KRE..-PP имеют сепаратор, NUKRE и PWKRE..-2RS выпускаются с цилиндрическими роликами без сепаратора.

Подшипники без сепаратора вмещают максимально возможное количество тел качения, поэтому обладают особенно высокой грузоподъемностью. В силу кинематических свойств с ними достижимы несколько меньшие частоты вращения, чем в случае опорных роликов с сепаратором.

Осевое центрирование наружного кольца

У конструктивного ряда KRE..-PP осевое центрирование осуществляется с помощью заплечиков наружного кольца и упорных шайб. Наружные кольца роликов конструктивных рядов NUKRE и PWKRE..-2RS центрируются по телам качения и бортам.

Уплотнения

Опорные ролики с цапфой имеют уплотнения с двух сторон. Конструктивный ряд KRE..-PP имеет трехступенчатые уплотнения посредством пластмассовых упорных шайб с уплотнительной кромкой с двух сторон подшипника, NUKRE – лабиринтные уплотнения, а PWKRE..-2RS – защищенные контактные уплотнения.

Описание трехступенчатого уплотнения РР приведено на стр. 934.

Смазывание

Подшипники заполнены консистентной смазкой на основе комплексного литиевого загустителя согласно GA08 и могут смазываться через цапфу.

Для повторного смазывания применяется консистентная смазка Arcanol LOAD150.



Эксцентрик перекрывает радиальное смазочное отверстие на хвостовике цапфы. Поэтому повторное смазывание следует производить с торцов цапфы.

Рабочая температура

Опорные ролики с цапфой применяются при температурах от -30 °C до +140 °C. У подшипников с уплотнениями (дополнительное обозначение 2RS) температура ограничена диапазоном от -30 °C до +120 °C.

Следует учитывать указания, касающиеся температуры эксплуатации, приведенные в главе «Основные технические положения», раздел «Смазывание».



Опорные ролики с цапфой KR..-PP, KRV..-PP и KRE..-PP пригодны для рабочих температур от -30 °C до +100 °C, ограниченных свойствами консистентной смазки и материала уплотнений.

Дополнительные обозначения

Дополнительные обозначения поставляемых исполнений приведены в табл.

Поставляемые исполнения

| Дополни- тельное обозна- чение | Описание | Исполнение |
|---|---|-------------|
| PP | Пластмассовые упорные шайбы с уплотнительной кромкой с двух сторон опорного ролика с цапфой создают трехступенчатое уплотнение. | Стандартное |
| RR | Специальное антикоррозионное покрытие Corrotect® | |
| SK | Внутренний шестигранник только на торце цапфы со стороны ролика, без возможности повторного смазывания | |
| 2RS | Защищенные контактные уплотнения с двух сторон опорного ролика с цапфой | |



Рекомендации конструктору и обеспечение надежности Оптимизированный профиль INA

Оптимизированный профиль INA характеризуется:

- снижением контактных напряжений при перекосе, рис. 1 и 2;
- более высокой номинальной долговечностью наружного кольца и дорожки качения сопряженной детали, рис. 3;
- уменьшением износа образующей наружного кольца и дорожки качения сопряженной детали, рис. 4 и рис. 5;
- **у**величением жесткости наружного контакта, *рис.* 6.

Эпюры контактных напряжений по Герцу

Сравнительный анализ профилей: цилиндрический/с радиусом $R = 500 \text{ мм/оптимизированный INA (C}_{rw}/P_r = 5), puc. 1.$

- (1) вращение без перекоса, $\beta = 0$ мрад
- (2) вращение с перекосом, $\beta = 3$ мрад ③ цилиндрический профиль
 - (4) профиль с радиусом R = 500
 - (5) оптимизированный профиль INA

Рисунок 1 Эпюры контактных напряжений по Герцу

Максимальное контактное напряжение по Герцу

① цилиндрический профиль (2) профиль с радиусом R = 500 (3) оптимизированный профиль INA р_н = максимальное контактное напряжение по Герцу β = угол перекоса

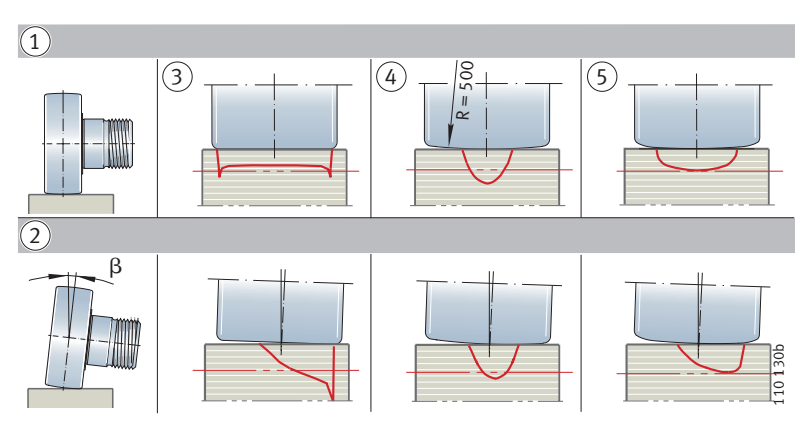
> Рисунок 2 Максимальное контактное напряжение по Герцу

Номинальная долговечность сопряженной дорожки качения

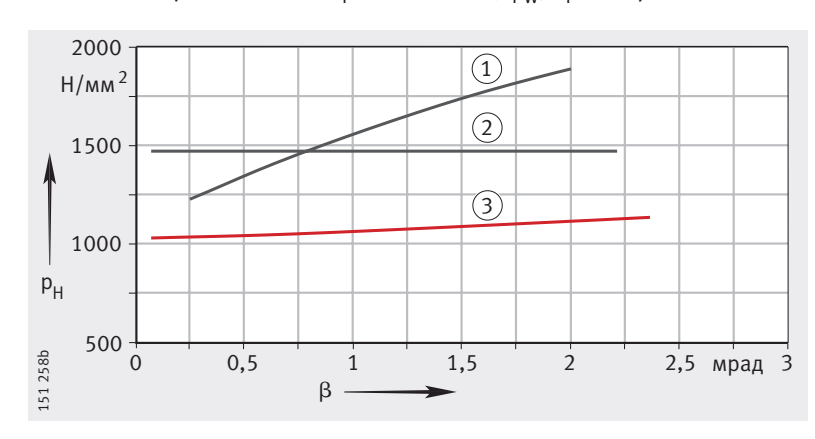
(2) оптимизированный профиль INA L = номинальная долговечность [млн. перекатов] F_r = радиальная нагрузка

(1) выпуклое наружное кольцо, R = 500

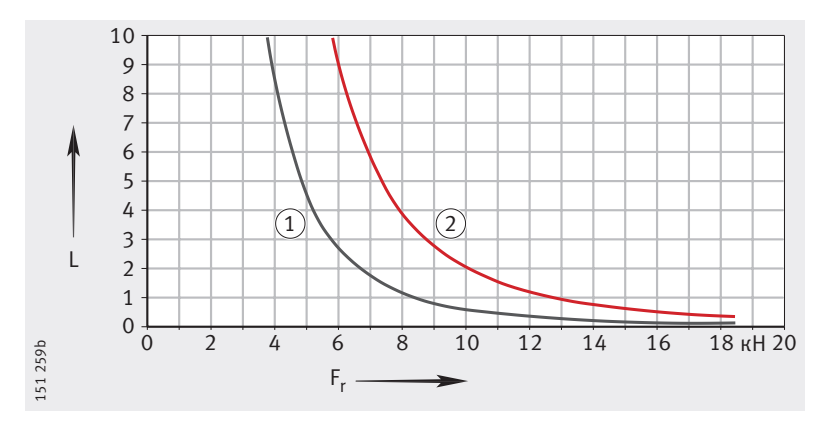
Рисунок 3 Номинальная долговечность дорожки качения сопряженной конструкции



Ролик с цапфой NUKR80, $F_r = 13800 \text{ H } (C_{rw}/P_r = 5)$, puc. 2.



Опорный ролик NUTR15, сопряженная дорожка качения из стали 42CrMo4V с твердостью 350 HV, рис. 3.

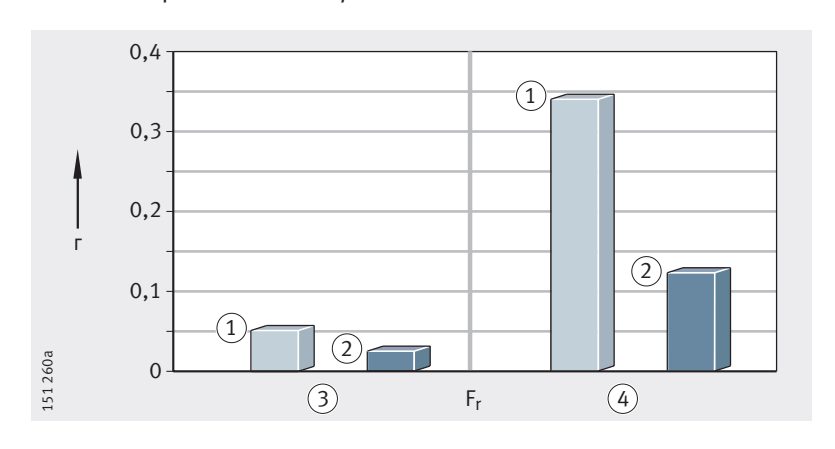


Износ дорожки качения сопряженной конструкции

Дорожка качения из чугуна GGG-50. Среднее значение износа из нескольких испытаний после 360 000 перекатов см. на рис. 4.

① наружное кольцо с R = 500 ② оптимизированный профиль INA ③ низкая нагрузка F_r (4) высокая нагрузка F_r г = износ F_r = радиальная нагрузка

Рисунок 4 Износ дорожки качения сопряженной конструкции

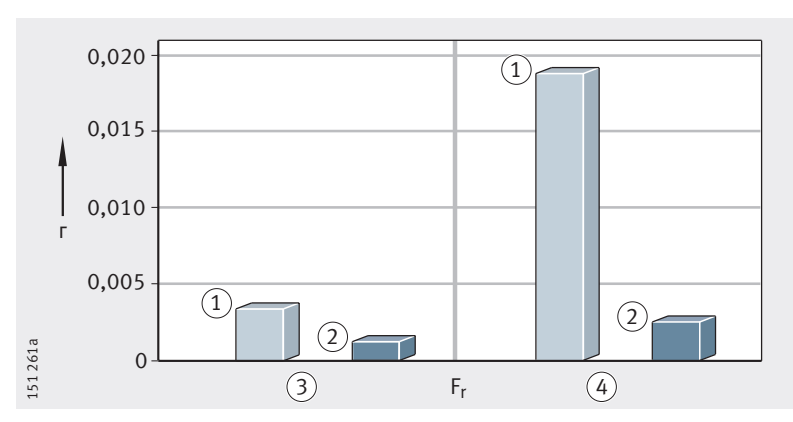


Дорожка качения из стали 58CrV4. Среднее значение износа из нескольких испытаний после 8 000 000 перекатов см. на рис. 5.



(1) наружное кольцо с R = 500 ② оптимизированный профиль INA (3) низкая нагрузка F_r (4) высокая нагрузка F_r $\Gamma = \text{N3HOC}$ F_r = радиальная нагрузка

Рисунок 5 Износ дорожки качения сопряженной конструкции

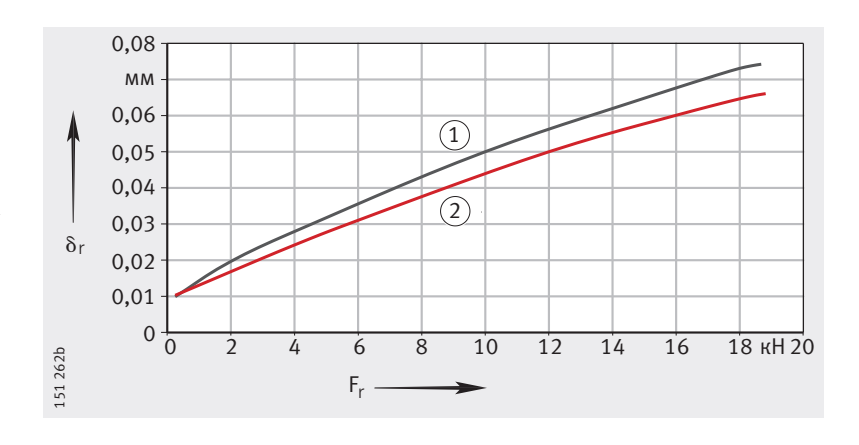


Опорный ролик NUTR15. Радиальная упругая деформация наружного кольца и комплекта тел качения показана на рис. 6.

Жесткость в области контактов наружного кольца

① выпуклое наружное кольцо, R = 500 2 оптимизированный профиль INA δ_r = радиальная упругая деформация F_r = радиальная нагрузка

Рисунок 6 Жесткость в области контактов наружного кольца



Особенности функционирования опорных роликов и роликов с цапфой

Толстостенные наружные кольца воспринимают высокие радиальные нагрузки. При опоре роликов на плоскую дорожку качения наружные кольца испытывают упругую деформацию. В отличие от подшипника качения с опорой в отверстии корпуса, ролики имеют:

- измененное внутреннее распределение нагрузки. Это учтено в расчете долговечности посредством коэффициентов грузоподъемности C_{rw} и C_{0rw} ;
- изгибающие напряжения в наружном кольце. Эти напряжения учтены посредством допустимых радиальных нагрузок F_{r per} и F_{Or per}. Изгибающие напряжения не должны превышать допустимые по прочности материала напряжения.

Допустимая радиальная нагрузка при динамическом нагружении

Для динамически нагруженных вращающихся подшипников действительна эффективная динамическая грузоподъемность С_{г w}. Расчет номинальной долговечности следует производить, используя Сг



Превышать допустимую динамическую радиальную нагрузку $F_{r \; per}$ запрещается. Если значение $F_{r\;per}$ не указано, то вместо нее действительна эффективная динамическая грузоподъемность С_{г w}. Имеющаяся радиальная нагрузка также не должна превышать это значение.

Если статическая грузоподъемность C_{0r w} меньше динамической грузоподъемности С_{г w}, то действительным допустимым значением является значение Сог w.

Допустимая радиальная нагрузка при статическом нагружении

Для статически нагруженных подшипников без вращения или при редких вращательных движениях действительна эффективная статическая грузоподъемность Сог w.

Значение С_{0г w} следует использовать при расчете запаса статической грузоподъемности S_0 .



Превышать допустимую статическую радиальную нагрузку $F_{0r \, \mathrm{per}}$ не допускается. Если значение $F_{\mathrm{0r}\,\mathrm{per}}$ не указано, то вместо нее замены действительна эффективная статическая грузоподъемность С_{От w}. Имеющаяся радиальная нагрузка также не должна превышать это значение.

Наряду с допустимой радиальной нагрузкой на подшипник следует учитывать допустимую радиальную нагрузку на дорожку качения сопрягаемой детали, см. раздел «Проектирование дорожки качения сопрягаемой детали», стр. 958.

Грузоподъемность и долговечность

Методы расчета долговечности:

- расчет номинальной долговечности по DIN ISO 281;
- расчет скорректированной долговечности по DIN ISO 281;
- расчет достижимой долговечности по DIN ISO 281-4.

Эти методы описаны в главе «Грузоподъемность и долговечность», стр. 40.

Для опорных роликов с цапфой и без и направляющих роликов следует произвести следующие замены:

- C_r , $C_{0r} = C_{rw}$, C_{0rw} эффективная динамич. или статич. грузоподъемность;
- $C_{ur} = C_{urw}$ нагрузка предела усталости для ролика по таблицам разм.

Дальнейшие формулы для расчета долговечности см. на стр. 945.

Дальнейшие формулы для расчета номинальной долговечности

$$L_s = 0.0314 \cdot D \cdot \left(\frac{C_{rw}}{P_r}\right)^p$$

$$L_{h} = 26,18 \cdot \frac{D}{H \cdot n_{osc}} \cdot \left(\frac{C_{rw}}{P_{r}}\right)^{p}$$

или

$$L_h = 52,36 \cdot \frac{D}{\overline{v}} \cdot \left(\frac{C_{rw}}{P_r}\right)^p$$

номинальная долговечность в 10^5 м;

номинальная долговечность в часах работы;

 C_{rw} Н

эффективная динамическая грузоподъемность.

 $C_{r\,w}$ — это нагрузка постоянной величины и направления, при которой достаточно большое количество одинаковых подшипников-роликов достигают номинальной долговечности в один миллион оборотов;

эквивалентная динамическая нагрузка (радиальная нагрузка);

гоказатель степени в формуле долговечности: p=3 для направляющих роликов и роликов с цапфой на шариках, $p={}^{10}/_3$ для опорных роликов и роликов с цапфой с цилиндрическими и игольчатыми роликами в качестве тел качения;

 $\mathrm{M}\mathrm{U}\mathrm{H}^{-1}$

рабочая частота вращения;

D

наружный диаметр ролика;

длина хода в одну сторону при осциллирующих движениях;

 $\mathrm{M}\mathrm{U}\mathrm{H}^{-1}$

количество двойных ходов в минуту;

м/мин средняя скорость перемещения.



Срок службы

Срок службы — это долговечность, достигнутая подшипником при его эксплуатации. Он может заметно отличаться от расчетной номинальной долговечности.

Возможными причинами являются износ и/или усталость вследствие:

- отклонения режимов эксплуатации;
- перекоса ролика и дорожки качения сопряженной детали;
- слишком малого или слишком большого рабочего зазора;
- загрязнения ролика;
- недостаточного смазывания;
- слишком высокой рабочей температуры;
- осциллирующих движений подшипника с очень малым углом поворота, ведущих к образованию рифлений;
- износа образующей поверхности наружного кольца и дорожки качения сопряженной конструкции;
- вибрационных нагрузок и образования рифлений;
- чрезмерных ударных нагрузок, статических перегрузок;
- повреждений при монтаже.

Из-за множественности возможных условий при монтаже и эксплуатации подшипника срок службы не может быть рассчитан точно. Наиболее достоверно он может быть определен путем сравнения с подобными случаями применения.

Запас статической грузоподъемности

Мерой статического нагружения является запас статической грузоподъемности S_0 . Он подразумевает запас грузоподъемности до возникновения недопустимых остаточных деформаций в подшипнике:

$$S_0 = \frac{C_{0rw}}{F_{0r}}$$

запас статической грузоподъемности;

Н

эффективная статическая радиальная грузоподъемность, см. табл. размеров;

 F_{0r} Н

максимальная статическая радиальная нагрузка на ролик.

Ролики считаются высоко нагруженными при запасе статической грузоподъемности $S_0 < 8$.



Запас статической грузоподъемности $\mathsf{S}_0 < \mathsf{1}$ приводит к пластическим деформациям тел качения и дорожек качения, которые могут негативно повлиять на плавность хода. Он допустим только для подшипников с редкими вращательными движениями или для второстепенных применений.

При запасе статической грузоподъемности $S_0 < 2$, пожалуйста, проконсультируйтесь с нашими специалистами.

Требуемая минимальная нагрузка

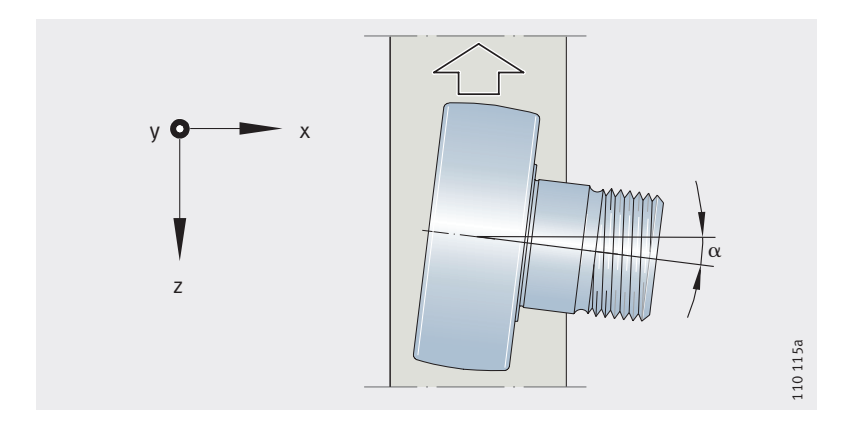
Для того, чтобы наружное кольцо вращалось, не возникало проскальзываний, и ролик не терял контакт с дорожкой качения сопряженной детали, при динамическом нагружении для ролика нужна нагрузка не ниже требуемой минимальной. Как правило, для требуемой минимальной нагрузки действительно соотношение: $C_{0rw}/F_r < 60$.

Вращение под углом к направлению движения

Вращение с курсовым перекосом приводит к дополнительной осевой нагрузке на подшипник качения и осевому проскальзыванию в месте контакта наружного кольца и дорожки качения сопряженной детали, $puc.\ 7$. В зависимости от курсового перекоса α и качества смазки это может привести к износу.



Полная потеря сцепления наружного кольца с дорожкой качения и соответствующий интенсивный износ возникает при угле курсового перекоса $\alpha \ge 1,4 \cdot 10^{-4} \cdot p_H$ (°) или $\alpha \ge 2,5 \cdot 10^{-3} \cdot p_H$ (мрад).



 α = угол курсового перекоса

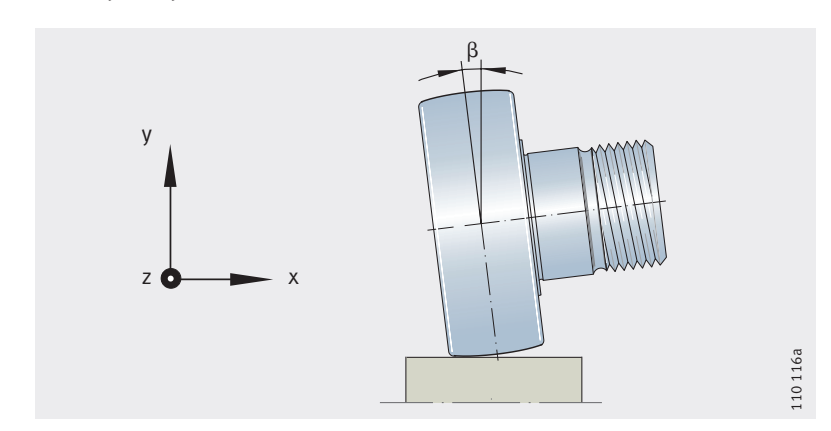
Рисунок 7 Вращение под углом к направлению движения

Перекос

При движении в наклонном положении, в особенности у роликов с цилиндрическим профилем наружного кольца, возникают высокие напряжения на кромке кольца.

Ролики с выпуклой образующей поверхностью наружного кольца менее чувствительны к перекосу и, поэтому, более предпочтительны в применении.

На практике, для роликов с цилиндрическим профилем наружного кольца повреждения наступают, если угол перекоса $\beta>0,1^\circ$ (1,7 мрад), а для роликов с выпуклой образующей поверхностью наружного кольца, – если угол перекоса $\beta>0,25^\circ$ (4,4 мрад), *puc. 8*.



β = угол перекоса

Рисунок 8 Перекос

Частоты вращения

Максимальная частота вращения подшипников-роликов главным образом определяется допустимой рабочей температурой подшипника качения.

Таким образом, частота вращения зависит от типа подшипника, нагрузки, условий смазывания и условий охлаждения.

Частота вращения при длительном режиме эксплуатации

Указанные в таблицах размеров частоты вращения n_{D G} являются ориентировочными значениями. Они были определены для следующих условий:

- консистентная смазка;
- \blacksquare нагрузки при длительной работе $< 0.05 \cdot C_{0rw}$;
- \blacksquare угол курсового перекоса $\alpha < 0.03^{\circ}$ (< 0.5 мрад);
- температура окружающей среды +20 °C;
- температура наружных колец +70 °C;
- смазанные дорожки качения сопряженной детали;
- отсутствие внешней осевой нагрузки.

Частоты вращения должны быть уменьшены при:

- \blacksquare нагрузках $> 0,05 \cdot C_{0rw}$;
- паличии дополнительных осевых сил (вращение под углом к направлению движения);
- недостаточном теплоотводе.

Более высокие частоты вращения могут быть достигнуты при вращении с перерывами и импульсном смазывании маслом.

Частота вращения для контактных уплотнений

Частота вращения роликов с контактными уплотнениями дополнительно ограничивается допустимой скоростью скольжения уплотняющей кромки.

Момент трения

Момент трения M_R подшипника-ролика зависит от таких факторов, как нагрузка, частота вращения и конструкция ролика, а также от состояния смазки и трения уплотнений. Ввиду разнообразия влияющих факторов момент трения может быть рассчитан только приближенно.

Для роликов с бесконтактными уплотнениями момент трения при нормальных условиях эксплуатации и среднем диапазоне частот вращения может быть рассчитан по следующей формуле:

$$M_R = f \cdot F_r \cdot \frac{d_M}{2}$$

момент трения ролика; коэффициент момента трения, см. табл., стр. 949; радиальная нагрузка; средний диаметр подшипника-ролика (d + D)/2.



Значения, приводимые в таблице «Коэффициент момента трения f» действительны для роликов без уплотнений, находящихся под радиальной нагрузкой.

При применении роликов с уплотнениями следует учитывать более высокие значения коэффициента.

Дополнительные осевые силы, возникающие, например, при больших углах курсового перекоса могут привести, в особенности у подшипников-роликов с игольчатыми роликами в качестве тел качения, к значительному возрастанию значений коэффициента. Подшипники-ролики с шариками в качестве тел качения воспринимают осевые силы без сколь-нибудь заметного изменения трения.

Коэффициент момента трения f

| Конструкция подшипника-ролика | Коэффицие f | ЭНТ |
|--|----------------|----------|
| Шарикоподшипники, однорядные | от 0,0015 | до 0,002 |
| Шарикоподшипники, двухрядные | от 0,002 | до 0,003 |
| Радиальные цилиндрические роликоподшипники без сепаратора | от 0,002 | до 0,003 |
| Игольчатые подшипники с сепаратором | от 0,003 | до 0,004 |
| Игольчатые подшипники без сепаратора | от 0,005 | до 0,007 |



Сопротивление качению

При качении подшипника-ролика по дорожке качения наряду с трением внутри подшипника нужно преодолевать трение качения наружного кольца по дорожке качения.

Сопротивление качению ролика F_{v} определяется по следующей формуле:

$$F_{v} = \frac{2 \cdot (f_{R} \cdot F_{r} + M_{R})}{D}$$

1

сопротивление качению ролика;

. MM

коэффициент трения качения для дорожек качения из закаленной стали:

 $f_R = 0.05 \text{ MM};$

 F_R

радиальная нагрузка;

 M_{R} Нмм момент трения внутри ролика;

наружный диаметр ролика.

Две зоны контакта подшипников-роликов

У подшипников-роликов подлежат смазыванию и раздельному рассмотрению две зоны контакта:

- тела качения и их дорожка качения;
- образующая поверхность ролика и дорожка качения сопряженной конструкции.

В главе «Основные технические положения», раздел «Смазывание» рассматривается зона контакта тел качения и дорожки качения.

Смазывание подшипника

Направляющие ролики с цапфой и без цапфы с шариками в качестве тел качения заполнены литиевой консистентной смазкой на минеральной основе согласно GA13.

Для опорных роликов и опорных роликов с цапфой применяется консистентная смазка согласно GAO8 с противозадирными (EP) присадками на основе комплексного литиевого мыла в качестве загустителя и минерального масла. Консистентные смазки для первичного смазывания приведены в главе «Смазывание», стр. 76.

Консистентные смазки семейства Arcanol для повторного смазывания

| Смазка Arcanol | Обозначение по DIN 51825 | Тип консистентной смазки | Подшипник-ролик |
|-------------------|-----------------------------|--|--|
| LOAD150 | KP2N-20 | Литиевая смазка на основе минерального масла | Опорные ролики с цапфой и без цапфы |
| LOAD220 | KP2N-20 | Литиево-кальциевая смазка на основе минерального масла | Опорные ролики с цапфой и без цапфы |
| MULTI3 | KP3K-30 | Литиевая смазка на основе минерального масла | Направляющие ролики с цапфой и без цапфы с шариками в качестве тел качения |

Смазывание дорожки качения сопряженной детали

Для смазывания дорожки качения могут использоваться все применяемые для подшипников качения смазочные материалы. Существуют, однако, применения, в которых дорожка качения сопряженной детали должна оставаться несмазанной.



Если смазывание места контакта невозможно, следует учитывать присутствие износа, в особенности при высоких нагрузках и скоростях.

Смазочные масла

При смазывании маслом рекомендуется применять масла CLP согласно DIN 51517.

Консистентные смазки

При смазывании консистентными смазками следует применять литиевые смазки согласно DIN 51825. Интервалы повторных смазываний могут быть определены только в условиях реальной эксплуатации.

Повторное смазывание следует производить не позднее появления первых признаков трибокоррозии, распознаваемой по красноватой окраске дорожки качения сопряженной детали или наружного кольца.

Твердые смазки, смазочные лаки

Данные смазочные материалы пригодны для смазывания. Однако, при высоких скоростях перемещения ролика или высоких частотах вращения их срок службы существенно ниже, чем у масел и консистентных смазок.

Адаптер для подключения опорных роликов с цапфой к централизованной системе смазки

Если предполагается подключение к централизованной системе смазки, для серийно изготавливаемых цапф опорных роликов, имеющих внутренний шестигранник с обеих сторон, можно применять защищенный патентом адаптер для подключения к централизованной системе смазки, рис. 9. Этот адаптер состоит из присоединительного переходника с шестигранником и цанги быстрого присоединения трубки.

Адаптер присоединяется к цапфе с одной стороны через цилиндрический переходник вместо пресс-масленки. Шестигранник фиксирует адаптер от проворачивания. Выход смазочного канала с другой стороны цапфы закрывает прилагаемая к ролику пресс-масленка, рис. 9.

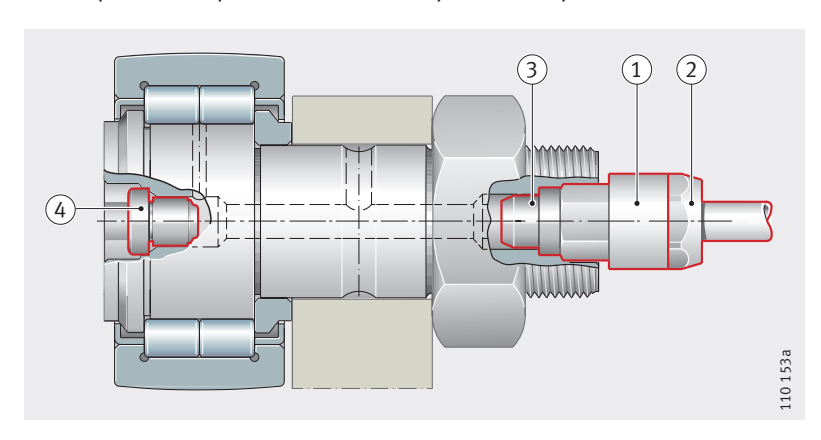
Адаптер имеет внутреннюю резьбу $M10 \times 1$. В нее ввернута и герметизирована цанга быстрого присоединения трубки. Цанга надежно удерживает и пластмассовую трубку. Таким образом, трубку и адаптер не нужно соединять с помощью резьбы.

Размеры адаптера см. в табл. и на рис. 10, стр. 952.



- ① адаптер с внутренней резьбой $M10 \times 1$
- (2) цанга быстрого присоединения (3) цилиндрический переходник
 - ④ пресс-масленка

Рисунок 9 Адаптер подключения к централизованной системе смазки и пресс-масленка



Размеры адаптера

| Адаптер подключения к централизованной системе смазки Условное обозначение | W | L | l ₁ | l ₂ | l ₃ | Для полиамидных трубок DIN 73 378 $d_1 \times s_{\text{номинальный}}^{1)}$ |
|--|----|----|----------------|----------------|----------------|--|
| AP8 | 8 | 27 | 16 | 22 | 4 | 4×0,75 |
| AP10 | 10 | 27 | 15 | 22 | 5 | 4×0,75 |
| AP14 | 14 | 25 | 8 | 20 | 6 | 4×0,75 |

¹⁾ Предпочтительно применение трубок из жесткого полиамида. Следует учитывать диапазон применения согласно DIN 73 378 и данные производителя.

Максимальное избыточное давление для трубок из PA 11/12 при +23 °C:

от 31 бар до 62 бар.

Максимальное избыточное давление при использовании других ввертываемых соединений: 80 бар.

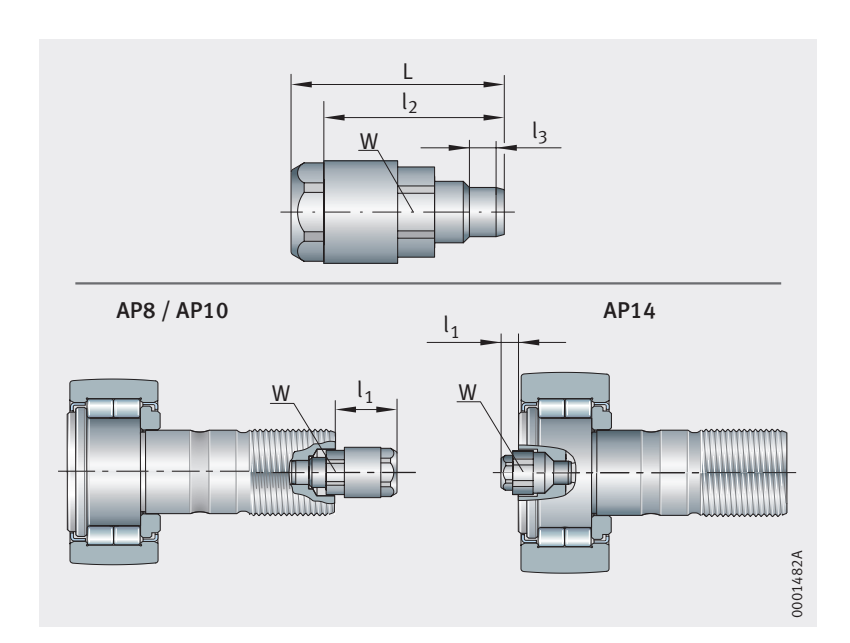


Рисунок 10 Размеры адаптера для подключения к централизованной системе смазки

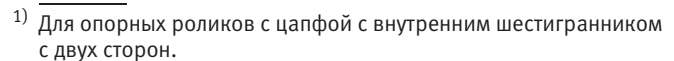
Упрощенный расчет интервала до повторного смазывания

В таблице «Количество смазки для повторного смазывания опорных роликов с цапфой» приведено количество полужидкого смазочного материала, подаваемого в ролик при централизованном смазывании и его пересчет в количество смазочных импульсов для дозирующих пресс-масленок стандартных типоразмеров.

Данные действительны для литиевой полужидкой смазки с противозадирными (EP) присадками на основе минерального масла с вязкостью от ISO-VG 100 до ISO-VG 220 классов консистентности NLGI 00 или 000.

Количество смазки для повторного смазывания опорных роликов с цапфой

| Конструктивный ряд ¹⁾ | Наружный диаметр | Адаптер подключения к централи- зованной системе смазки | Количество смазки для повторного смазывания | Число смазочн импульо для дозирук пресс-м размера | сов ощей асленки |
|----------------------------------|---------------------|--|---|---|------------------------|
| | D mm | Условное обозначение | Γ ²⁾ | 30 mm ³ | 50 мм ³ |
| NUKR, NUKRE | 35 и 40 | AP8 | 1,1 | 40 | 24 |
| | 47 и 52 | AP10 | 2,4 | 89 | 53 |
| | от 62 до 90 | AP14 | 7,3 | 271 | 163 |
| KR, KRE | 35 и 40 | AP8 | 1,2 | 44 | 27 |
| | 47 и 52 | AP10 | 1,6 | 60 | 36 |
| | от 62 до 90 | AP14 | 6 | 222 | 133 |
| KRV, KRVE | 35 и 40 | AP8 | 0,7 | 26 | 16 |
| | 47 и 52 | AP10 | 1 | 37 | 22 |
| | от 62 до 90 | AP14 | 3,2 | 120 | 72 |



²⁾ Количество смазочного материала и интервалы повторных смазываний при централизованной подаче полужидкой смазки для большинства применений. Следует учитывать емкость подводящего трубопровода!



Периодичность смазывания

Приблизительную периодичность смазывания при односменной эксплуатации для большинства нагрузок демонстрирует табл. «Периодичность смазывания, интервал до повторного смазывания». Данные действительны при односменной эксплуатации, количество смазки при повторном смазывании и интервалы — для большинства случаев применения. Данные основываются на приблизительном расчетном определении периодичности смазывания $t_{\rm fR}$. О периодичности смазывания см. главу «Смазывание», стр. 76.

В пределах этих временных интервалов следует равномерно распределить определенное по табл. «Количество смазки для повторного смазывания опорных роликов с цапфой», стр. 953, число смазочных импульсов.

Периодичность смазывания, интервал до повторного смазывания

| Соотношение нагрузок | Максимальная частота вращения при эксплуатации n_{max} в % от n_{D} G | | | |
|--------------------------|---|-----------|------------|---------|
| C_{0rw}/P_r | 10 | 25 | 50 | 100 |
| $5 > C_{0rw}/P_r \ge 3$ | ¹ / ₂ -года | _ | - | - |
| $10 > C_{0rw}/P_r \ge 5$ | ежегодно | 4 месяца | ежемесячно | ı |
| $C_{0rw}/P_r \ge 10$ | ежегодно | 8 месяцев | 2 месяца | 14 дней |

Периодичность при односменной эксплуатации

| Месяцы | Недели | Рабочие дни | Рабочие часы |
|--------|--------|-------------|--------------|
| 1/2 | 2 | 10 | 80 |
| 1 | 4 | 20 | 160 |
| 2 | 8 | 40 | 320 |
| 4 | 16 | 80 | 640 |
| 6 | 24 | 120 | 960 |
| 8 | 32 | 160 | 1 280 |
| 12 | 48 | 240 | 1 920 |

Монтаж адаптера подключения к централизованной системе смазки Монтаж адаптера производится на смонтированном ролике с цапфой. Неиспользуемое смазочное отверстие в цапфе следует заглушить прилагаемой к ролику пресс-масленкой.



Следует использовать только входящие в комплект поставки пресс-масленки.

Адаптер предпочтительнее запрессовать в свободное отверстие цапфы с внутренним шестигранником небольшим равномерным усилием с помощью ручного рычажного пресса, или осторожно легкими ударами, используя молоток с пластмассовым бойком. При этом следует соблюдать глубину запрессовки l_3 и положение шестигранника, рис. 10 и табл. «Размеры адаптера», стр. 952.

Пластмассовую трубку следует обрезать под прямым углом и вставить в цангу до упора.

Допускается использование только полиамидной трубки согласно DIN 73 378. Следует проконтролировать посадку трубки. Следует соблюдать требования по максимальному давлению, максимальной температуре и минимальному радиусу изгиба трубки. Длина трубки до распределителя не должна быть более 1 м.

Сопрягаемая конструкция для опорных роликов

Для опорных роликов без внутреннего кольца дорожка качения на оси должна быть закалена и обработана шлифованием, см. табл. Твердость поверхности должна составлять 670 HV + 170 HV при достаточной глубине закалки CHD или SHD.

Допуски и качество обработки поверхности дорожки качения на оси

| Допуск диаметра оси | | Допуск шероховатости | Допуск круглости | Допуск параллельности |
|------------------------------|-----------------------------------|---------------------------------------|----------------------------|----------------------------|
| Без внутреннего кольца | С внутренним кольцом | макс. | макс. | макс. |
| k5 | g6 (при местном нагружении) | R _a 0,4 (R _z 2) | 25% допуска диаметра | 50% допуска диаметра |

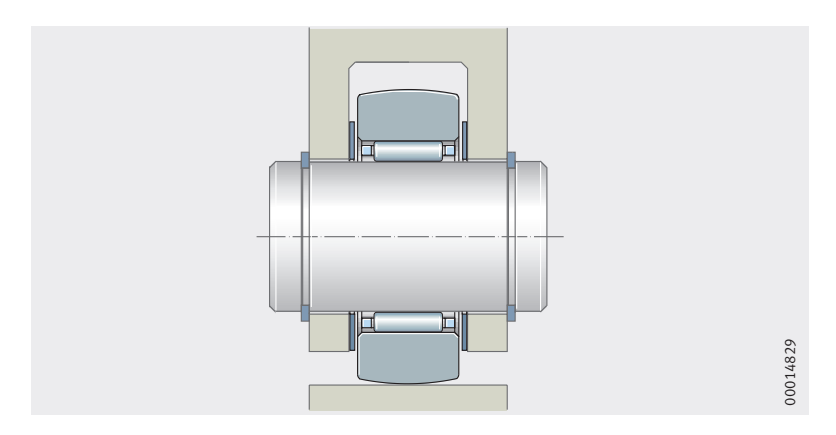
Закрепление опорных роликов без осевого центрирования

У подшипников-роликов без осевого центрирования наружное кольцо и комплект роликов с сепаратором следует центрировать по боковым поверхностям, рис. 11.

Боковые упорные поверхности для центрирования наружных колец должны иметь тонкую обработку, выполняться износостойкими и смазываться (рекомендуется R_a2).

Опорные ролики без осевого центрирования являются разъемными.

Наружное кольцо и комплект игольчатых роликов с сепаратором подобраны друг к другу, замена их аналогичными деталями подшипников равного размера при монтаже не допускается. Размеры внутренних колец согласованы с допуском диаметра прилегающей окружности F6 и в пределах своего класса точности взаимозаменяемы.



RSTO

Рисунок 11 Осевое центрирование наружного кольца и сепаратора с игольчатыми роликами



Закрепление опорных роликов с осевым центрированием

Опорные ролики с осевым центрированием должны быть жестко зафиксированы в осевом направлении.

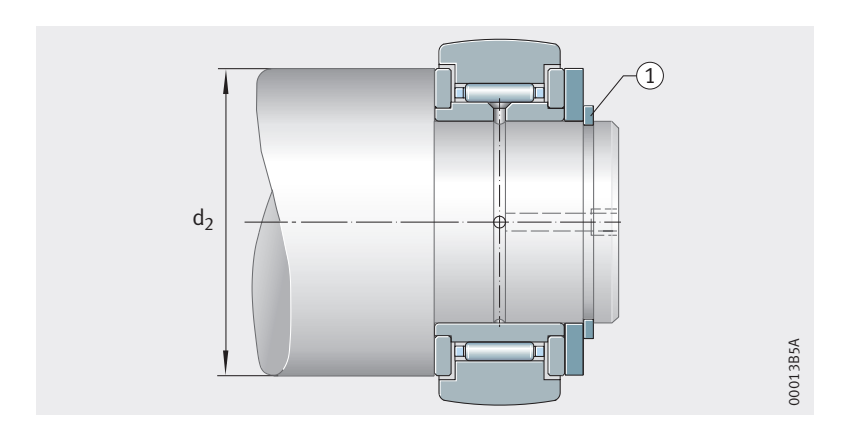
При осевых нагрузках необходимо обеспечить опору в осевом направлении для упорных шайб. При этом следует соблюдать размер d_2 , указанный в таблицах размеров, рис. 12.

Опорные ролики NATR и NATV могут быть зафиксированы такими стандартными крепежными элементами, как пружинные стопорные кольца, рис. 12.

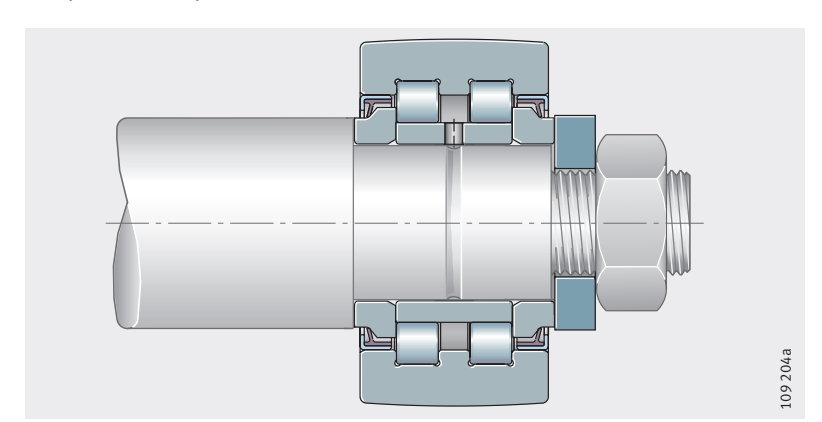
NATR

① пружинное стопорное кольцо d₂ = диаметр опорной поверхности

> Рисунок 12 Закрепление пружинным стопорным кольцом



У роликов NNTR..-2ZL, NUTR, PWTR..-2RS внутренние кольца и кольца с бортами следует жестко фиксировать в осевом направлении, рис. 13.



PWTR..-2RS

Рисунок 13 Закрепление внутреннего кольца, а также колец с бортами

Сопрягаемая конструкция для опорных роликов с цапфой

Допуск отверстия H7 обеспечивает посадку с зазором, поскольку допуск диаметра хвостовика цапфы без эксцентрика h7, с эксцентриком – h9.

Боковые опорные поверхности для опорных роликов с цапфой должны быть плоскими, перпендикулярными и достаточно высокими. Прочность опорной поверхности гайки должна быть достаточно высокой. Выполнять опорные поверхности меньшими размера d_2 , приведенного в таблицах размеров, не допускается. Монтажная фаска на установочном отверстии не должна превышать $0.5 \times 45^\circ$.

Осевое закрепление

Опорные ролики с цапфой должны быть зафиксированы в осевом направлении с помощью шестигранной гайки. Гайки класса прочности 8 по ISO 4 032 (М6, М8), ISO 8 673 не входят в объем поставки. Их следует заказывать отдельно.

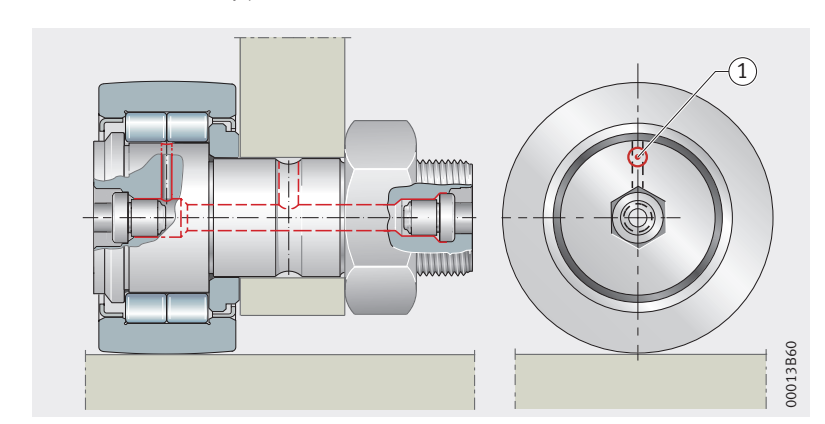
При сильных вибрациях для фиксации опорных роликов с цапфами могут применяться самостопорящиеся гайки по DIN 985 или специальные рифленые стопорные шайбы.



В случае самостопорящихся гаек следует учитывать увеличенный момент затяжки. Следует придерживаться указаний производителя гаек.

Положение смазочного отверстия

Положение радиального смазочного отверстия обозначено на торце цапфы со стороны ролика, *puc. 14*. Отверстие не должно находиться в нагруженной зоне.



NUKR

(1) метка

Рисунок 14 Положение смазочного отверстия

Проектирование дорожки качения сопрягаемой детали

При проектировании дорожки качения сопрягаемой детали (материал и прочность, термообработка, качество обработки поверхности) следует учитывать контактное напряжение рн. Оно зависит от нагрузки, геометрии контакта (точечный или линейный контакт) и модулей упругости материалов.

Номограмма

Контактное напряжение по Герцу можно определить или рассчитать по номограмме, рис. 16, стр. 959. Номограмма действительна для дорожек качения из стали. В случае других материалов следует учитывать поправочный коэффициент k, см. табл. «Поправочный коэффициент k», стр. 960.

Также предполагаются:

- точечный контакт;
- радиус профиля наружного кольца R = 500; для R > 500 см. стр. 960;
- профиль дорожки качения сопряженной детали в направлении оси ролика прямой;
- знак (плюс, минус) в соответствии с рис. 15.

Пример

- Опорный ролик с цапфой NUKR35 с оптимизированным профилем INA, D = 35 мм;
- ширина наружного кольца С = 18 мм;
- **п** радиальная нагрузка $F_r = 2500 \text{ H}$;
- \blacksquare дисковый кулачок с радиусом $r_1 = 80$ мм.

Эквивалентная кривизна

$$\frac{1}{r_1} + \frac{2}{D} = \frac{1}{80} + \frac{2}{35} = 0.07 \,\text{mm}^{-1}$$

p_{H500}

$$= 1250 \text{ H/mm}^2$$

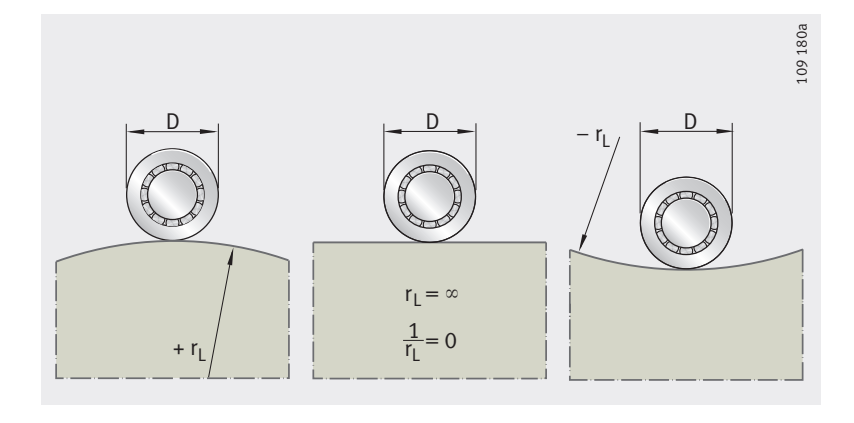
 $p_{H \, \text{ont.} \, \text{профиль INA}} \approx 1250 \, \, \text{H/mm}^2 \cdot k_{\text{pH}}$

 $= 1250 \,\mathrm{H/mm^2 \cdot 0.85}$

 $= 1063 \, \text{H/mm}^2$ $(1.025 \text{ H/мм}^2 \text{ согласно расчету в Bearinx}^{\text{®}}),$ k_{PH} см. на стр. 960.

D = наружный диаметр ролика r_I = радиус дорожки качения

> Рисунок 15 Радиусы дорожек качения и их знаки



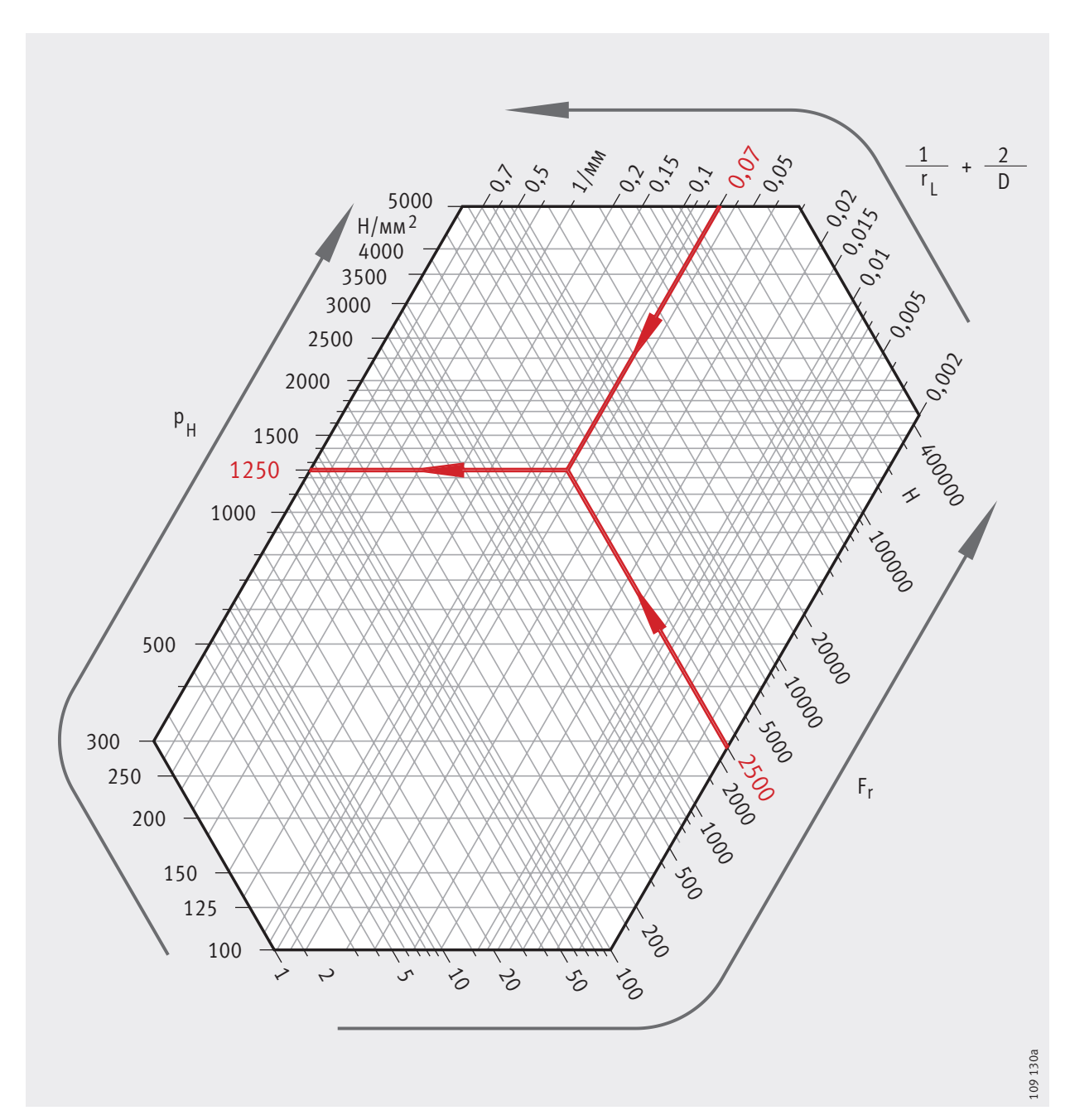


Рисунок 16 Номограмма для определения контактных напряжений; пример расчета показан красным цветом



Ролики с оптимизированным профилем INA

Для оптимизированного профиля INA обеспечивается нахождение достаточно точных значений контактных напряжений при расчете по нижеследующей формуле, k_{pH} – см. по табл.:

$$p_{H \text{ опт. профили INA}} \approx k_{pH} \cdot p_{H500}$$

Коэффициент контактного напряжения k_{pH}

| Ширина наружного кольца С мм | Коэффициент контактного напряжения ${\sf k}_{\sf pH}$ |
|------------------------------------|---|
| от 10 до 15 | 1 |
| свыше 15 до 20 | 0,85 |
| свыше 20 до 30 | 0,83 |
| свыше 30 до 35 | 0,8 |

Радиус профиля R > 500

Для R > 500 мм действительно:

$$p_{HR} = p_{H500} \cdot \left(\frac{500}{R}\right)^{0,185}$$

Материалы дорожек качения

Дорожка на сопряженной детали при качении ролика подвергается высоким нагрузкам.

Вследствие этого возникают высокие контактные напряжения. Прочность и поверхностная твердость материала должны быть согласованы с этой нагрузкой.

Для изготовления высоко нагружаемых дорожек качения рекомендуется использовать стали сквозной закалки, цементируемые стали и стали для газопламенной или индукционной закалки. Для низко нагруженных дорожек качения могут применяться конструкционные стали, стальное литье или литье из серого чугуна, см. табл.

$$p_H = k \cdot p_H (сталь / сталь)$$

Поправочный коэффициент k

| Материал | Номер материала | Поправочный коэффициент для дорожки качения сопряженной детали при | | |
|----------|--------------------|--|-------------------|--|
| | | точечном контакте | линейном контакте | |
| GG-20 | 0.6020 | 0,74 | 0,8 | |
| GG-30 | 0.6030 | 0,81 | 0,85 | |
| GG-40 | _ | 0,85 | 0,88 | |
| GGG-40 | 0.7040 | 0,92 | 0,94 | |
| GGG-60 | 0.7060 | 0,94 | 0,96 | |
| GGG-80 | 0.7080 | 0,96 | 0,97 | |

Ориентировочные значения допустимых контактных напряжений по Герцу

В таблице «Материалы и ориентировочные значения допустимых контактных напряжений по Герцу» содержится перечень материалов с характерными для них значениями допустимых контактных напряжений. Значения были определены на опытных образцах сталей, при этом было достигнуто 10⁷ циклов нагружений.

По аналогии с расчетом грузоподъемности подшипников качения действительно:

- р_{Н stat} при преимущественной статической нагрузке;
- р_{Н dyn} при преимущественной динамической нагрузке.

Материалы и ориентировочные значения допустимых контактных напряжений по Герцу

| Материал | | Номер материала | Контактное напряжение по Герцу | | Предел текучести материала |
|---|-------------|--------------------|--|---|--|
| | | | p _{H stat} H/mm ² | p _{H dyn} H/mm ² | R _{p0,2} H/mm ² |
| Серый чугун | GG-15 | 0.6015 | 850 | 340 | 120 |
| | GG-20 | 0.6020 | 1 050 | 420 | 150 |
| | GG-25 | 0.6025 | 1 200 | 480 | 190 |
| | GG-30 | 0.6030 | 1 350 | 540 | 220 |
| | GG-35 | 0.6035 | 1 450 | 580 | 250 |
| | GG-40 | _ | 1 500 | 600 | 280 |
| Модифициро- ванный чугун с шаровидным графитом | GGG-40 | 0.7040 | 1 000 | 490 | 250 |
| | GGG-50 | 0.7050 | 1150 | 560 | 320 |
| | GGG-60 | 0.7060 | 1 400 | 680 | 380 |
| | GGG-70 | 0.7070 | 1 5 5 0 | 750 | 440 |
| | GGG-80 | 0.7080 | 1 650 | 800 | 500 |
| Стальное литье | GS-38 | 1.0420 | 780 | 380 | 200 |
| | GS-45 | 1.0446 | 920 | 450 | 230 |
| | GS-52 | 1.0552 | 1 050 | 510 | 260 |
| | GS-60 | 1.0558 | 1 250 | 600 | 300 |
| | GS-62 | _ | 1 300 | 630 | 350 |
| | GS-70 | _ | 1 450 | 700 | 420 |
| Конструкционная сталь | St 37-2 | 1.0037 | 690 | 340 | 235 |
| | St 44-2 | 1.0044 | 860 | 420 | 275 |
| | St 52-3 | 1.0570 | 980 | 480 | 355 |
| Улучшенная сталь | C 45 V | 1.0503 | 1 400 | 670 | 500 |
| | Cf 53 V | 1.1213 | 1 450 | 710 | 520 |
| | Cf 56 V | - | 1 550 | 760 | 550 |
| | C 60 V | 1.0601 | 1 600 | 780 | 580 |
| | 46 Cr 2 V | 1.7006 | 1 750 | 850 | 650 |
| | 42 CrMo 4 V | 1.7225 | 2 000 | 980 | 900 |
| | 50 CrV 4 V | 1.8159 | 2 000 | 980 | 900 |
| Закаленная сталь | 100 Cr 6 H | 1.3505 | 4 000 | 1 500 | 1 900 |
| | 16 MnCr 5 E | 1.7131 | 4 000 | 1 500 | 770 |
| | Cf 53 Hl | 1.1213 | 4 000 | 1 500 | 730 |
| | Cf 56 Hl | _ | 4 000 | 1 500 | 760 |



Закаляемые материалы

Могут применяться следующие материалы со степенью чистоты, соответствующей высокосортным конструкционным сталям:

- стали сквозной закалки согласно ISO 683-17, например 100Cr6. В особых случаях для них возможна также закалка поверхностного слоя;
- цементируемые стали согласно ISO 683-17, такие, как 17MnCr5 или EN 10 084 – 16MnCr5. В данном случае наряду с закаливаемостью следует учитывать прочность зерна. При закалке цементацией требуется мелкокристаллическая закаливаемая структура и глубина цементации CHD согласно приведенной ниже формуле;
- стали для газопламенной или индукционной закалки согласно ISO 683-17, такие, как Cf54 или по DIN 17 212 - Cf53. В случае газопламенной и индукционной закалки должны быть подвержены закалке только части машин, находящиеся под нагрузкой в качестве дорожек качения. Улучшение материала должно быть произведено еще до закалки. Глубина закалки SHD определяется по приведенной ниже формуле.

Термообработка дорожки качения сопрягаемой детали Для закаленных дорожек качения действительны требования:

- твердость поверхностного слоя 670 HV + 170 HV;
- CHD, SHD согласно формулам, стр. 962,
 - согласно DIN 50 190 это глубина закаленного поверхностного слоя, в котором твердость материала не ниже 550 HV;
- графики твердости по рис. 17 и рис. 18, стр. 963;
- глубина закалки ≥ 0,3 мм.

За базу для приводимых формул взяты закономерности изменения твердости, достигаемые при квалифицированно выполненной термообработке в обычных условиях.

Цементация:

CHD
$$\geq$$
 2,73·10⁻⁵ · $\frac{p_H}{\left(\frac{1}{r_L} + \frac{2}{D}\right)}$

Индукционная и газопламенная закалка:

$$SHD \ge 10^{-5} \cdot \underbrace{\left(4, 4 \cdot \frac{p_H^2}{R_{p0,2}} - 3, 5 \cdot p_H\right)}_{\left(\frac{1}{r_L} + \frac{2}{D}\right)}$$

 H/MM^2 p_H

максимальное контактное напряжение по Герцу;

CHD

глубина закалки цементацией; SHD

глубина закалки;

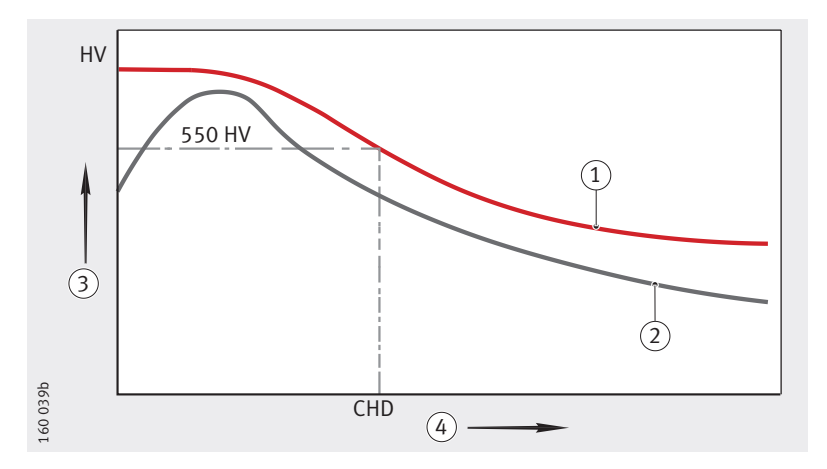
D

наружный диаметр подшипника-ролика;

 H/MM^2

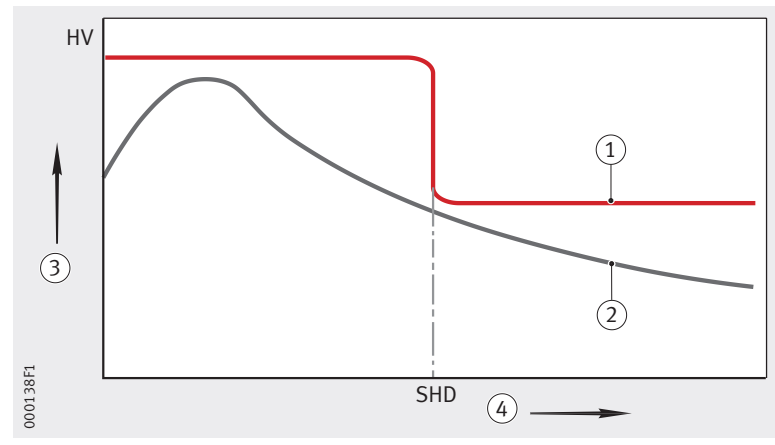
предел текучести материала сопряжен. дорожки качения, см табл., стр. 961;

радиус дорожки качения сопряженной детали; профиль дорожки качения в направлении оси опорного ролика – прямой, рис. 15, стр. 958.



(1) закалка цементацией ② требуемая твердость ③ твердость (4) расстояние от поверхности CHD = глубина цементации с твердостью 550 HV

Рисунок 17 Глубина цементации CHD, график твердости



(1) газопламенная или индукционная закалка ② требуемая твердость (3) твердость (4) расстояние от поверхности SHD = глубина закалки

Рисунок 18 Глубина закалки SHD, график твердости

Накладные направляющие INA в качестве дорожки качения сопрягаемой детали

Накладные направляющие представляют собой готовые к монтажу детали из программы INA для линейных перемещений.

Они имеют адаптированный к направляющим роликам и опорным роликам с цапфой и без цапфы класс точности Q20 и соответствующие размеры стандартного профиля:

- допуск параллельности 20 мкм/м;
- шероховатость поверхности R_a0,8;
- твердость от 58 HRC до 62 HRC;
- перекос (непараллельность) между дорожками качения не более 1 мрад (1 мкм/мм);
- предельные отклонения поперечного сечения направляющей +0,015/+0,05;
- допуск длины цельного рельса +1 мм/м.

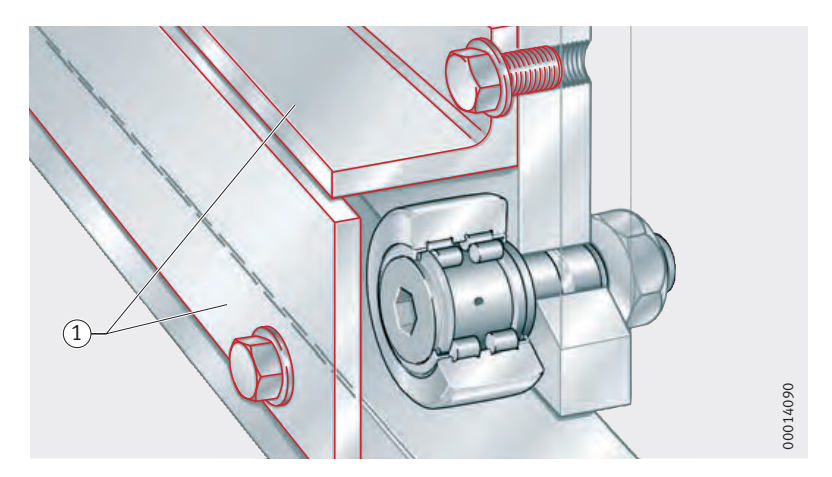


Опорные ролики Опорные ролики с цапфой

Защита дорожки качения сопрягаемой детали



Дорожку качения сопрягаемой детали следует защищать от загрязнений. В случае необходимости, перед роликом следует разместить щитки и скребки, например, из войлока, *puc.* 19.



(1) щитки

Рисунок 19 Защита дорожки качения сопрягаемой детали от загрязнений

Монтаж

Подшипники-ролики являются прецизионными деталями машин и механизмов. Эти изделия требуют бережного обращения перед монтажом и в процессе монтажа. Их безотказное вращение зависит, в том числе, и от тщательности монтажа.



Ролики должны быть защищены от пыли, грязи и влаги. Загрязнения негативно отражаются на качестве работы и сроке службы подшипников.

Не следует подвергать подшипники воздействию низких температур. Конденсат может привести к возникновению коррозии внутри подшипника и на посадочных поверхностях.

Опорные ролики RSTO и STO являются разъемными. Наружное кольцо и сепаратор с игольчатыми роликами подобраны друг к другу, замена их аналогичными деталями от других подшипников равного размера при монтаже не допускается.

Место монтажа должно быть чистым и свободным от пыли.

Посадочную поверхность на оси следует проверить на точность размеров, формы и расположения, при необходимости, удалить загрязнения.

Посадочные поверхности колец подшипника следует слегка смазать маслом или нанести на них твердую смазку.

После монтажа подшипники нужно смазать. В завершение, следует провести проверку работоспособности подшипниковой опоры.

Инструменты для монтажа

В зависимости от области применения для монтажа применяются:

- индукционные нагревательные приборы; следует соблюдать указания производителя в отношении консистентной смазки и уплотнений;
- регулируемые термостатом нагревательные и конвекционные шкафы; нагрев до +80 °С;
- механические или гидравлические прессы; следует использовать монтажные оправки, прилегающие к торцовой поверхности колец подшипника по всей окружности;
- молотки и оправки; наносить удары следует только по центру оправки.



Не допускается передача монтажных усилий через тела качения. Следует категорически избегать ударов непосредственно по кольцам подшипника, не допускать повреждения уплотнений.

Указания по демонтажу

Возможность будущего демонтажа следует предусмотреть уже при проектировании подшипниковой опоры.

В том случае, если предполагается дальнейшее использование подшипника, следует:

- избегать прямых ударов по кольцам подшипника;
- избегать передачи усилий через тела качения;
- промывку подшипника производить после демонтажа;
- не применять открытое пламя.

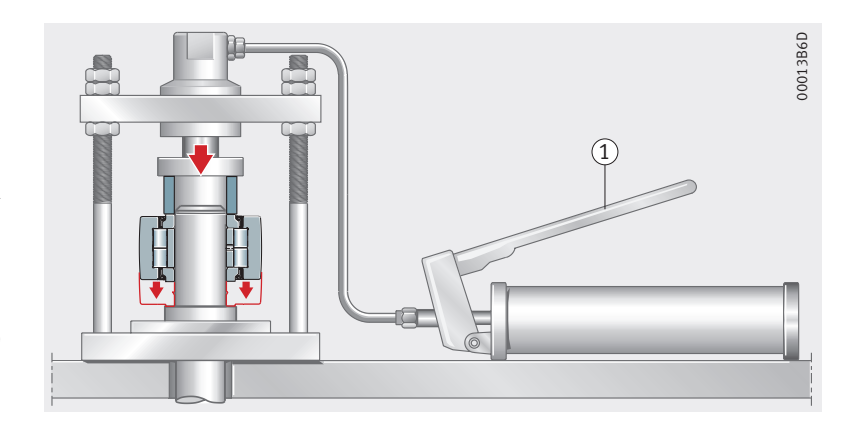


Опорные ролики Опорные ролики с цапфой

Монтаж и демонтаж опорных роликов При неблагоприятном расположении полей допусков опорный ролик следует напрессовывать на ось с помощью монтажного пресса, рис. 20. При этом внутреннее кольцо монтируется таким образом, чтобы усилие запрессовки равномерно распределялось по торцовой поверхности внутреннего кольца.

Смазочное отверстие

Следует устанавливать подшипник таким образом, чтобы смазочное отверстие находилось в ненагруженной зоне. Для опорных роликов PWTR и NNTR не требуется соблюдение строго определенного положения смазочного отверстия.



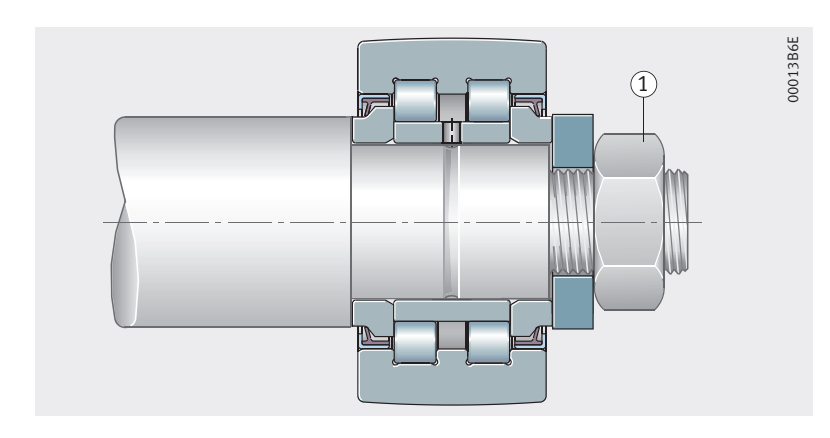
NUTR

(1) пресс для монтажа

Рисунок 20 Монтаж опорного ролика при помощи пресса

Осевое закрепление

Опорные ролики NUTR, PWTR и NNTR следует фиксировать в осевом направлении, рис. 21.



PWTR..-2RS

① шестигранная гайка

Рисунок 21 Осевое закрепление

Монтаж и демонтаж опорных роликов с цапфой

По возможности, опорные ролики с цапфой следует монтировать при помощи пресса для монтажа (аналогично *puc. 20*, стр. 966).



Следует категорически избегать ударов по упорной шайбе цапфы.

Положение радиального смазочного отверстия обозначено на торце цапфы со стороны ролика. Отверстие не должно располагаться в нагруженной зоне, *puc.* 14, стр. 957.

Пресс-масленка для опорных роликов с цапфой

К опорным роликам с цапфой в комплекте прилагаются пресс-масленки, которые до монтажа подшипника-ролика должны быть квалифицированно запрессованы в цапфу, рис. 22.

Касательно смазывания опорных роликов с цапфой с помощью адаптера подключения к централизованной системе смазки см. *puc. 9*, стр. 951.



Разрешается применять только пресс-масленки, прилагаемые к ролику в комплекте, см. табл.

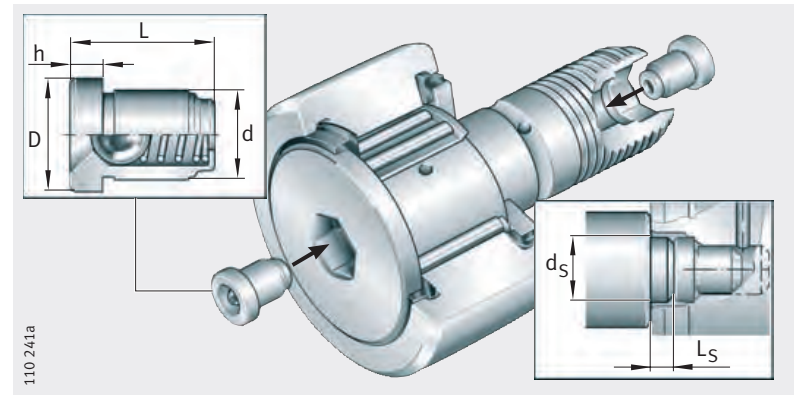
Если предусматривается подвод смазки через установочное отверстие корпуса, то осевые смазочные каналы в цапфе перед монтажом следует заглушить пресс-масленками, *puc.* 22.



KR..-PP

Рисунок 22 Опорный ролик с цапфой с размерами под оправку для запрессовки пресс-масленки

Пресс-масленка



| Пресс- | Размеј | ры в мм | ı | | | | Применимы |
|-----------|--------|---------|-----|-------------------|------------------------|----------------|--|
| масленка | D | d | L | h | d _s ±0,1 | L _s | для роликов с наружным диаметром D |
| NIPA1 | 6 | 4 | 6 | 1,5 ¹⁾ | _ | _ | 16 и 19 |
| NIPA1×4,5 | 4,7 | 4 | 4,5 | 1 | 4,5 | 5 | от 22 до 32 |
| NIPA2×7,5 | 7,5 | 6 | 7,5 | 2 | 7,5 | 6 | от 35 до 52 |
| NIPA3×9,5 | 10 | 8 | 9,5 | 3 | 10 | 9 | от 62 до 90 |

¹⁾ Выступание пресс-масленки, см. табл. размеров.

Опорные ролики Опорные ролики с цапфой

Осевое закрепление опорных роликов с цапфой

Опорные ролики с цапфой должны быть зафиксированы в осевом направлении с помощью шестигранной гайки.

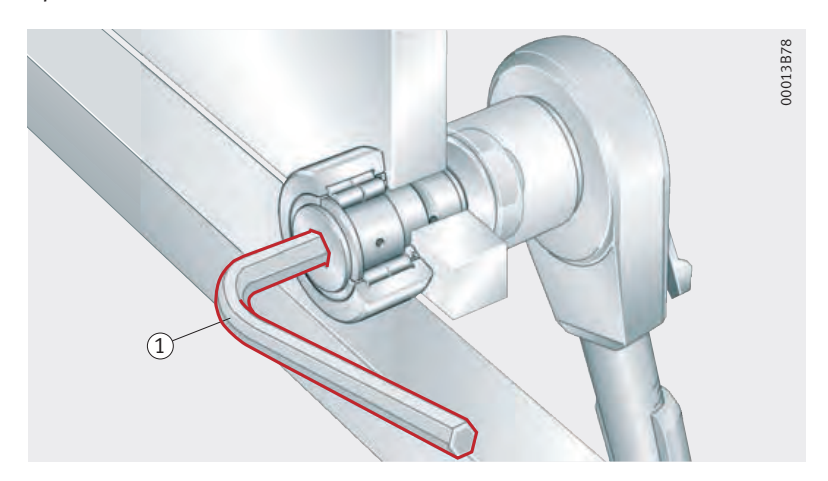
Благодаря наличию шлица или внутреннего шестигранника на торце цапфы, подшипник может быть зафиксирован во время затягивания крепежной гайки при помощи ключа, так же может быть отрегулировано положение эксцентрика, *puc. 23*.

При сильных вибрациях могут применяться самостопорящиеся гайки согласно DIN 985 или специальные рифленые стопорные шайбы.



Следует строго соблюдать моменты затяжки крепежных гаек, указанные в таблицах размеров. Только в этом случае обеспечивается передача допустимой радиальной нагрузки. Если соблюсти моменты затяжки невозможно, необходима прессовая посадка.

В случае применения самостопорящихся гаек следует учитывать увеличенный момент затяжки. Следует придерживаться указаний производителя гайки.



① торцовый шестигранный ключ

Рисунок 23 Фиксирование подшипника ключом

Опорные ролики с цапфой с эксцентриком Место самого высокого положения эксцентрика обозначено на торце цапфы со стороны ролика, *puc. 14*, стр. 957.

Ввод в эксплуатацию и повторное смазывание

Для повторного смазывания у опорных роликов с цапфой имеется по одному смазочному отверстию:

- на торце цапфы со стороны ролика;
- на торце цапфы со стороны резьбы, начиная от наружного диаметра 22 мм;
- на хвостовике цапфы;
 начиная от наружного диаметра 30 мм с дополнительной кольцевой смазочной канавкой.



Опорные ролики с цапфой с эксцентриком не могут смазываться через хвостовик цапфы. Эксцентриковое кольцо перекрывает смазочное отверстие.

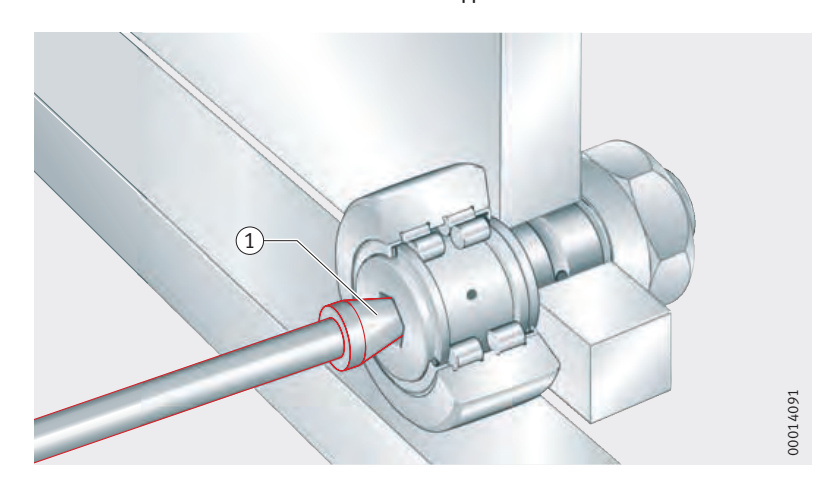
Для смазывания следует использовать только ручные шприцы с коническими наконечниками, имеющими угол конуса $\leq 60^{\circ}$, рис. 24.

Перед вводом в эксплуатацию смазочные отверстия и подводящие трубки следует заполнить консистентной смазкой для защиты от коррозии, при этом одновременно может производиться смазывание.

Смазывание затруднено, если радиальное смазочное отверстие прикрыто телом качения. Поэтому смазывание следует производить на вращающемся подшипнике, достигшем рабочей температуры, остановкой и перед длительными перерывами в эксплуатации.

Для повторного смазывания следует использовать тот же сорт консистентной смазки, что и при первичном смазывании. Если это невозможно, следует проверить консистентные смазки на смешиваемость и на совместимость, см. стр. 950.

Смазывание производят до тех пор, пока в зазоре уплотнения не выступит свежая смазка. Старая смазка при этом должна иметь возможность без помех выйти из подшипника.



① конический наконечник, угол конуса $\leq 60^{\circ}$

Рисунок 24 Смазывание с помощью шприца для консистентной смазки



Опорные ролики Опорные ролики с цапфой

Защита от коррозии с помощью покрытия Corrotect[®]

Ролики зачастую подвержены воздействию агрессивных сред. В таких случаях решающим фактором для длительного срока службы подшипника является антикоррозионная защита.

В принципе, для изготовления подшипников-роликов могут использоваться коррозионностойкие стали. Но во многих случаях экономически более предпочтительным все же является использование специального покрытия Corrotect® Подробное описание покрытия приводится в главе «Защита от коррозии», стр. 119.

Corrotect[®]

Corrotect® – это предельно тонкое покрытие с толщиной слоя от 0,5 мкм до 3 мкм, наносимое на поверхность гальваническим способом.

Покрытие эффективно в условиях воздействия влажности, производственно-бытовых сточных вод, солевого тумана, слабых щелочных и слабых кислотных чистящих средств.

На опорные ролики PWTR и опорные ролики с цапфой PWKR с дополнительным обозначением RR серийно наносится не содержащее шестивалентного хрома покрытие $\operatorname{Corrotect}^{\otimes}$. Другие опорные ролики с цапфой и без цапфы с покрытием Corrotect® являются специальными исполнениями.

На рис. 25 показаны ролики с цапфой с защитным покрытием и без покрытия после испытания в солевом тумане.

Монтаж роликов, имеющих покрытие

Для уменьшения усилия запрессовки следует слегка смазать поверхности деталей. Допуски увеличены на толщину покрытия.

Перед монтажом роликов, покрытых Corrotect[®], следует проверить стойкость покрытия к агрессивным субстанциям рабочей среды.



Рисунок 25 Опорный ролик с цапфой с защитным покрытием и без после испытания в солевом тумане

Точность

Допуски размеров и точности вращения соответствуют классу точности PN согласно DIN 620, у роликов KR(E) и KRV- согласно ISO 7063.

Отличными от DIN 620 являются:

- допуск диаметра профилированной образующей поверхности 0/−0,05 мм;
- у NNTR допуск диаметра h10;
- У NATR, NATV, NUTR, PWTR..-2RS допуск ширины В h12;
- у NATR, NATV допуск круглости внутреннего кольца;
- у опорных роликов с цапфой допуск диаметра хвостовика h7, а диаметра эксцентрика h9.

У роликов PWTR..-2RS-RR и PWKR..-2RS-RR допуски увеличены на толщину специального покрытия $\operatorname{Corrotect}^{\otimes}$.

Радиальный зазор

Радиальный зазор приблизительно соответствует группе зазоров C2; у роликов STO и NA22..-2RSR – группе зазоров CN согласно DIN 620-4.

Радиальный зазор

| Отверст | ие | Радиал | ьный за | зор | | | | | |
|---------|-----|--------|---------|------|-------|------|-------|------|-------|
| d MM | | С2 | | CN | | С3 | | С4 | |
| свыше | до | мин. | макс. | мин. | макс. | мин. | макс. | мин. | макс. |
| _ | 24 | 0 | 25 | 20 | 45 | 35 | 60 | 50 | 75 |
| 24 | 30 | 0 | 25 | 20 | 45 | 35 | 60 | 50 | 75 |
| 30 | 40 | 5 | 30 | 25 | 50 | 45 | 70 | 60 | 85 |
| 40 | 50 | 5 | 35 | 30 | 60 | 50 | 80 | 70 | 100 |
| 50 | 65 | 10 | 40 | 40 | 70 | 60 | 90 | 80 | 110 |
| 65 | 80 | 10 | 45 | 40 | 75 | 65 | 100 | 90 | 125 |
| 80 | 100 | 15 | 50 | 50 | 85 | 75 | 110 | 105 | 140 |
| 100 | 120 | 15 | 55 | 50 | 90 | 85 | 125 | 125 | 165 |
| 120 | 140 | 15 | 60 | 60 | 105 | 100 | 145 | 145 | 190 |

Диаметр прилегающей окружности

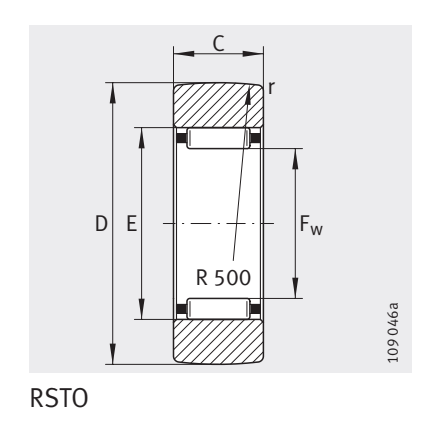
У роликов RSTO и RNA22..-2RSR диаметр прилегающей окружности по игольчатым роликам F_W имеет допуск F6.

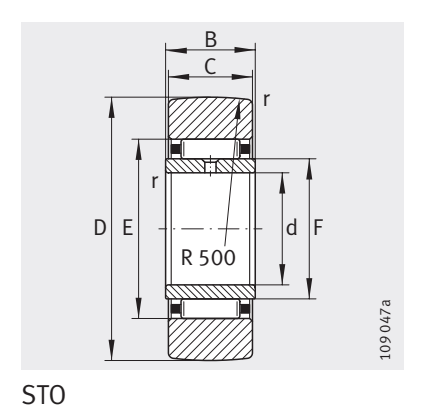
Прилегающая окружность — это окружность максимального диаметра, вписанная в реальный профиль внутренней поверхности подшипника по игольчатым роликам при их беззазорном прилегании к дорожке качения сопрягаемой конструкции.



Опорные ролики

без осевого центрирования открытые



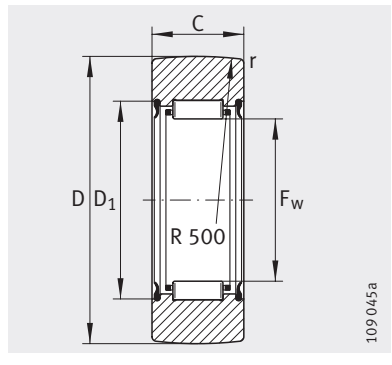


| Таблица разм | еров • Р | азмеры в мм | | | | | | | | | | | | |
|------------------------------|-----------------|-------------------------|-------|----|----|------|----|-----------------------------------|----|------|--------------------------|----------------------------|----------------------------------|---------------------|
| Без внутреннего кольца | Macca | С внутренним кольцом | Macca | | | | | | | | Грузопод | ъемность | Нагрузка предела усталости | Частота вращения |
| Условное | m | Условное | m | D | d | С | В | F ¹⁾ F _w | Ε | r | дин. С _{г w} | стат. С _{0r w} | C _{urw} | n _{D G} |
| обозначение | ≈г | обозначение | ≈г | | | | | 'w | | мин. | H | H | Н | $мин^{-1}$ |
| RSTO5-TV | 8,5 | _ | - | 16 | _ | 7,8 | _ | 7 | 10 | 0,3 | 2 5 5 0 | 2 600 | 330 | 16 000 |
| RSTO6-TV | 12,5 | STO6-TV | 17 | 19 | 6 | 9,8 | 10 | 10 | 13 | 0,3 | 3 7 5 0 | 4 5 5 0 | 650 | 10 000 |
| RSTO8-TV | 21 | STO8-TV | 26 | 24 | 8 | 9,8 | 10 | 12 | 15 | 0,3 | 4 200 | 5 500 | 780 | 8 000 |
| RSTO10 | 42 | ST010 | 49 | 30 | 10 | 11,8 | 12 | 14 | 20 | 0,3 | 8 400 | 9 300 | 1370 | 5 500 |
| RSTO12 | 49 | ST012 | 57 | 32 | 12 | 11,8 | 12 | 16 | 22 | 0,3 | 9 000 | 10 300 | 1530 | 4 500 |
| RSTO15 | 50 | ST015 | 63 | 35 | 15 | 11,8 | 12 | 20 | 26 | 0,3 | 9 1 0 0 | 10 900 | 1 640 | 3 300 |
| RSTO17 | 88 | ST017 | 107 | 40 | 17 | 15,8 | 16 | 22 | 29 | 0,3 | 14 200 | 17 900 | 2550 | 2800 |
| RSTO20 | 130 | ST020 | 152 | 47 | 20 | 15,8 | 16 | 25 | 32 | 0,3 | 16 100 | 21 700 | 3 0 5 0 | 2 400 |
| RSTO25 | 150 | ST025 | 177 | 52 | 25 | 15,8 | 16 | 30 | 37 | 0,3 | 16 400 | 23 200 | 3 300 | 1800 |
| RSTO30 | 255 | ST030 | 308 | 62 | 30 | 19,8 | 20 | 38 | 46 | 0,6 | 23 100 | 35 000 | 4700 | 1 300 |
| RSTO35 | 375 | ST035 | 441 | 72 | 35 | 19,8 | 20 | 42 | 50 | 0,6 | 25 000 | 40 500 | 5 400 | 1 100 |
| RSTO40 | 420 | STO40 | 530 | 80 | 40 | 19,8 | 20 | 50 | 58 | 1 | 23 700 | 39 500 | 5 900 | 850 |
| RSTO45 | 453 | ST045 | 576 | 85 | 45 | 19,8 | 20 | 55 | 63 | 1 | 25 000 | 43 500 | 5 900 | 750 |
| RSTO50 | 481 | ST050 | 617 | 90 | 50 | 19,8 | 20 | 60 | 68 | 1 | 25 500 | 46 000 | 6300 | 650 |

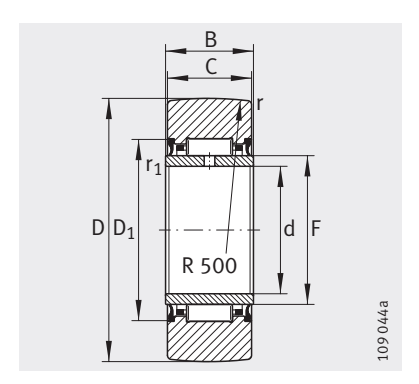
 $[\]overline{F}_{\rm W} = {\rm ди}$ аметр дорожки качения внутреннего кольца. $F_{\rm W} = {\rm ди}$ аметр прилегающей окружности с допуском F6.

Опорные ролики

без осевого центрирования







NA22..-2RSR

| Таблица размеров | • Размер | ы в мм | | | | | | | | |
|---------------------------|----------|---------|------|------------------------------|----------------|------|--------------------------|----------------------------|----------------------------------|---------------------|
| Без внутреннего кольца | Macca | Размеры | | | | | Грузопод | ьемность | Нагрузка предела усталости | Частота вращения |
| Условное обозначение | m | D | С | F _w ¹⁾ | D ₁ | r | дин. С _{г w} | стат. С _{0r w} | C _{ur w} | n _{D G} |
| | ≈r | | | | мин. | мин. | Н | Н | Н | $мин^{-1}$ |
| RNA22/6-2RSR | 18 | 19 | 11,8 | 10 | 16 | 0,3 | 3 900 | 3 700 | 485 | 9 000 |
| RNA22/8-2RSR | 29 | 24 | 11,8 | 12 | 18 | 0,3 | 4800 | 4 300 | 630 | 7 000 |
| RNA2200-2RSR | 52 | 30 | 13,8 | 14 | 20 | 0,6 | 7 000 | 6 900 | 1 090 | 5 500 |
| RNA2201-2RSR | 57 | 32 | 13,8 | 16 | 22 | 0,6 | 7 500 | 8 300 | 1 270 | 4 700 |
| RNA2202-2RSR | 60 | 35 | 13,8 | 20 | 26 | 0,6 | 7 600 | 9800 | 1 370 | 3 400 |
| RNA2203-2RSR | 94 | 40 | 15,8 | 22 | 28 | 1 | 9 900 | 14 000 | 1840 | 3 000 |
| RNA2204-2RSR | 152 | 47 | 17,8 | 25 | 33 | 1 | 14000 | 19100 | 2 650 | 2 300 |
| RNA2205-2RSR | 179 | 52 | 17,8 | 30 | 38 | 1 | 14400 | 20 800 | 2 900 | 1 800 |
| RNA2206-2RSR | 284 | 62 | 19,8 | 35 | 43 | 1 | 17 100 | 26 000 | 3 5 5 0 | 1 400 |
| RNA2207-2RSR | 432 | 72 | 22,7 | 42 | 50 | 1,1 | 21 500 | 36 000 | 5 200 | 1 100 |
| RNA2208-2RSR | 530 | 80 | 22,7 | 48 | 57 | 1,1 | 26 000 | 41 000 | 5 300 | 850 |

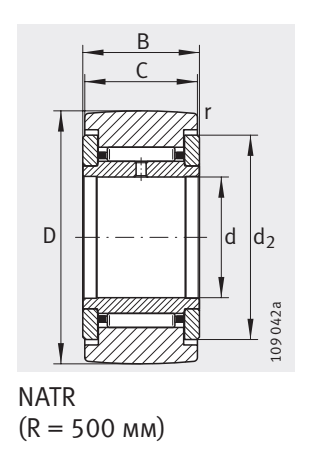
| Таблица размеров | Таблица размеров · Размеры в мм | | | | | | | | | | | | | |
|-------------------------|--|--|---|------|----|----|----|-----|-------|------------------|------------------|----------------------------------|---------------------|--|
| С внутренним кольцом | Macca | Разм | иеры | | | | | | | Грузопод | ъемность | Нагрузка предела усталости | Частота вращения | |
| Условное обозначение | m | $egin{array}{ c c c c c c c c c c c c c c c c c c c$ | | | | | | | | C _{urw} | n _{D G} | | | |
| | ≈r | | мин. мин. Н Н 19 6 11,8 12 10 16 0,3 0,3 3 900 3 | | | | | | | | Н | Н | мин ⁻¹ | |
| NA22/6-2RSR | 22 | 19 | 6 | 11,8 | 12 | 10 | 16 | 0,3 | 3 900 | 3 700 | 485 | 9 000 | | |
| NA22/8-2RSR | 34 | 24 | 8 | 11,8 | 12 | 12 | 18 | 0,3 | 0,3 | 4 800 | 4 300 | 630 | 7 000 | |
| NA2200-2RSR | 60 | 30 | 10 | 13,8 | 14 | 14 | 20 | 0,6 | 0,3 | 7 000 | 6 900 | 1 090 | 5 500 | |
| NA2201-2RSR | 67 | 32 | 12 | 13,8 | 14 | 16 | 22 | 0,6 | 0,3 | 7 500 | 8 300 | 1 270 | 4 700 | |
| NA2202-2RSR | 75 | 35 | 15 | 13,8 | 14 | 20 | 26 | 0,6 | 0,3 | 7 600 | 9 800 | 1 370 | 3 400 | |
| NA2203-2RSR | 112 | 40 | 17 | 15,8 | 16 | 22 | 28 | 1 | 0,3 | 9 900 | 14 000 | 1 840 | 3 000 | |
| NA2204-2RSR | 177 | 47 | 20 | 17,8 | 18 | 25 | 33 | 1 | 0,3 | 14 000 | 19 100 | 2 650 | 2 300 | |
| NA2205-2RSR | 209 | 52 | 25 | 17,8 | 18 | 30 | 38 | 1 | 0,3 | 14 400 | 20 800 | 2 900 | 1 800 | |
| NA2206-2RSR | 324 | 62 | 30 | 19,8 | 20 | 35 | 43 | 1 | 0,3 | 17 100 | 26 000 | 3 550 | 1 400 | |
| NA2207-2RSR | 505 | 72 | 35 | 22,7 | 23 | 42 | 50 | 1,1 | 0,6 | 21 500 | 36 000 | 5 200 | 1 100 | |
| NA2208-2RSR | 628 | 80 | 40 | 22,7 | 23 | 48 | 57 | 1,1 | 0,6 | 26 000 | 41 000 | 5 300 | 850 | |
| NA2210-2RSR | 690 | 90 | 50 | 22,7 | 23 | 58 | 68 | 1,1 | 0,6 | 26 000 | 43 000 | 5 600 | 650 | |

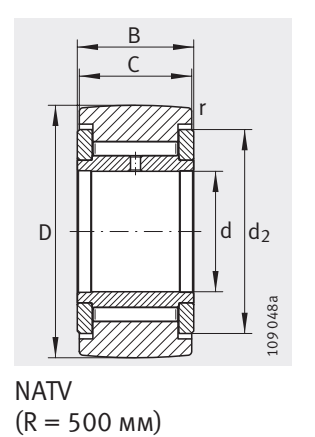
 $[\]overline{F_{W}} = \overline{\mu}_{A}$ метр дорожки качения внутреннего кольца. $F_{W} = \overline{\mu}_{A}$ диаметр прилегающей окружности с допуском F6.

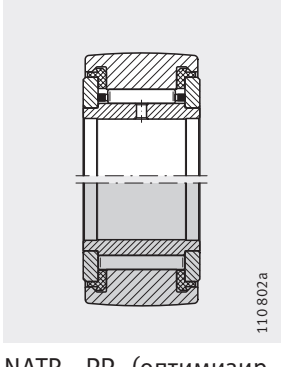


Опорные ролики

с осевым центрированием щелевые уплотнения или упорные шайбы







<u>NATR..-PP</u> (оптимизир. NATV..-PP профиль INA)

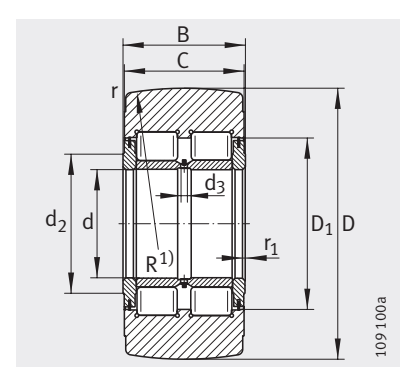
| Таблица разме | | | l I | | | | | | | | | | ı |
|---------------------------------------|-------|---------------------------------------|-------|------|------|----|----|----------------|------|-----------------|-------------------|----------------------------------|---------------------|
| Условное обозначение ¹⁾ | Macca | Условное обозначение ²⁾ | Macca | Рази | иеры | | | | | Грузопод | ъемность | Нагрузка предела усталости | Частота вращения |
| | m | | m | D | d | В | С | d ₂ | r | дин. | стат. | C _{ur w} | n _{D G} |
| | | | | | | | | | | C _{rw} | C _{Or w} | | мин ⁻¹ |
| NATR5 | ≈Γ | NATES DE | ≈Γ | 16 | 5 | 12 | 11 | 12.5 | мин. | H | H | H 450 | |
| | 14 | NATR5-PP | 14 | | _ | 12 | 11 | 12,5 | 0,15 | 3 150 | 3 3 5 0 | 450 | 14 000 |
| NATV5 | 15 | NATV5-PP | 15 | 16 | 5 | 12 | 11 | 12,5 | | 4 900 | 6 6 0 0 | 950 | 3 8 0 0 |
| NATR6 | 20 | NATR6-PP | 19 | 19 | 6 | 12 | 11 | 15 | 0,15 | 3 500 | 4000 | 540 | 11 000 |
| NATV6 | 21 | NATV6-PP | 21 | 19 | 6 | 12 | 11 | 15 | 0,15 | 5 400 | 8 000 | 1 170 | 3 100 |
| NATR8 | 41 | NATR8-PP | 38 | 24 | 8 | 15 | 14 | 19 | 0,3 | 5 500 | 6 6 0 0 | 930 | 7 5 0 0 |
| NATV8 | 42 | NATV8-PP | 41 | 24 | 8 | 15 | 14 | 19 | 0,3 | 7 800 | 11600 | 1 590 | 2 500 |
| NATR10 | 64 | NATR10-PP | 61 | 30 | 10 | 15 | 14 | 23 | 0,6 | 6 800 | 8 600 | 1 220 | 5 500 |
| NATV10 | 65 | NATV10-PP | 64 | 30 | 10 | 15 | 14 | 23 | 0,6 | 9 500 | 14900 | 2 050 | 2 100 |
| NATR12 | 71 | NATR12-PP | 66 | 32 | 12 | 15 | 14 | 25 | 0,6 | 7 000 | 9 0 0 0 | 1 290 | 4 500 |
| NATV12 | 72 | NATV12-PP | 69 | 32 | 12 | 15 | 14 | 25 | 0,6 | 9 700 | 15 700 | 2 170 | 1 800 |
| NATR15 | 104 | NATR15-PP | 95 | 35 | 15 | 19 | 18 | 27,6 | 0,6 | 9 700 | 14300 | 1 830 | 3 600 |
| NATV15 | 109 | NATV15-PP | 101 | 35 | 15 | 19 | 18 | 27,6 | 0,6 | 12 600 | 23 100 | 3 200 | 1 600 |
| NATR17 | 144 | NATR17-PP | 139 | 40 | 17 | 21 | 20 | 31,5 | 1 | 10 900 | 15800 | 2 090 | 2 900 |
| NATV17 | 152 | NATV17-PP | 147 | 40 | 17 | 21 | 20 | 31,5 | 1 | 14700 | 26 500 | 3 500 | 1 400 |
| NATR20 | 246 | NATR20-PP | 236 | 47 | 20 | 25 | 24 | 36,5 | 1 | 15 400 | 26 000 | 3 400 | 2 400 |
| NATV20 | 254 | NATV20-PP | 245 | 47 | 20 | 25 | 24 | 36,5 | 1 | 20 300 | 42 000 | 5 900 | 1 300 |
| NATR25 | 275 | NATR25-PP | 271 | 52 | 25 | 25 | 24 | 41,5 | 1 | 15 300 | 27 000 | 3 550 | 1 800 |
| NATV25 | 285 | NATV25-PP | 281 | 52 | 25 | 25 | 24 | 41,5 | 1 | 20 200 | 44 000 | 6 200 | 1 000 |
| NATR30 | 470 | NATR30-PP | 444 | 62 | 30 | 29 | 28 | 51 | 1 | 23 200 | 39 000 | 5 200 | 1 300 |
| NATV30 | 481 | NATV30-PP | 468 | 62 | 30 | 29 | 28 | 51 | 1 | 30 000 | 62 000 | 8 800 | 850 |
| _ | _ | NATR35-PP | 547 | 72 | 35 | 29 | 28 | 58 | 1,1 | 24 800 | 44 500 | 5 900 | 1 000 |
| - | _ | NATV35-PP | 630 | 72 | 35 | 29 | 28 | 58 | 1,1 | 32 500 | 71 000 | 10 100 | 750 |
| _ | _ | NATR40-PP | 795 | 80 | 40 | 32 | 30 | 66 | 1,1 | 32 000 | 58 000 | 8 300 | 850 |
| _ | _ | NATV40-PP | 832 | 80 | 40 | 32 | 30 | 66 | 1,1 | 40 000 | 88 000 | 13 000 | 650 |
| _ | _ | NATR50-PP | 867 | 90 | 50 | 32 | 30 | 76 | 1,1 | 31 000 | 59000 | 8 400 | 650 |
| _ | _ | NATV50-PP | 969 | 90 | 50 | 32 | 30 | 76 | 1,1 | 39 000 | 92 000 | 13 600 | 550 |

 $^{^{1)}}$ Подшипники с щелевым уплотнением и радиусом профиля наружного кольца $R=500\,\mathrm{mm}$.

²⁾ Подшипники с пластмассовыми упорными шайбами и оптимизированным профилем INA. Допустимая рабочая температура: от –30 °C до +100 °C (в длительном режиме).

Опорные ролики

с осевым центрированием с уплотнениями



NNTR..-2ZL

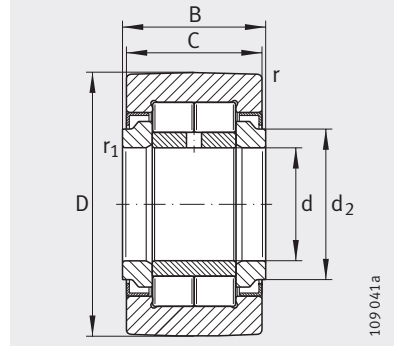
| Таблица размеров · Разм | иеры в ми | 1 | | | | | | | | | |
|---------------------------------------|-----------|--------|-----|-----|-----|------|----------------|----------------|----------------|-------|-------------------------|
| Условное обозначение ¹⁾ | Macca | Размер | Ы | | | | | Присое | единител Эы | ьные | Количество смазочных |
| | m | D | d | В | С | r | r ₁ | d ₂ | D ₁ | d_3 | отверстий |
| | ≈кг | h10 | | | | мин. | мин. | | | | |
| NNTR50X130X65-2ZL | 5,2 | 130 | 50 | 65 | 63 | 3 | 2 | 63 | 80 | 3 | 3 |
| NNTR55X140X70-2ZL | 6,4 | 140 | 55 | 70 | 68 | 3 | 2 | 73 | 91 | 4 | 3 |
| NNTR60X150X75-2ZL | 7,8 | 150 | 60 | 75 | 73 | 3 | 2 | 78 | 97 | 4 | 3 |
| NNTR65X160X75-2ZL | 8,8 | 160 | 65 | 75 | 73 | 3 | 2 | 82 | 103 | 5 | 3 |
| NNTR70X180X85-2ZL | 13 | 180 | 70 | 85 | 83 | 3 | 2 | 92 | 115 | 5 | 3 |
| NNTR80X200X90-2ZL | 16,8 | 200 | 80 | 90 | 88 | 4 | 2 | 102 | 127 | 5 | 3 |
| NNTR90X220X100-2ZL | 22,5 | 220 | 90 | 100 | 98 | 4 | 2,5 | 119 | 146 | 5 | 3 |
| NNTR100X240X105-2ZL | 28 | 240 | 100 | 105 | 103 | 4 | 2,5 | 132 | 160 | 6 | 6 |
| NNTR110X260X115-2ZL | 35,6 | 260 | 110 | 115 | 113 | 4 | 2,5 | 143 | 174 | 6 | 6 |
| NNTR120X290X135-2ZL | 52,8 | 290 | 120 | 135 | 133 | 4 | 3 | 155 | 191 | 8 | 6 |
| NNTR130X310X146-2ZL | 65,2 | 310 | 130 | 146 | 144 | 5 | 3 | 165 | 204 | 8 | 6 |



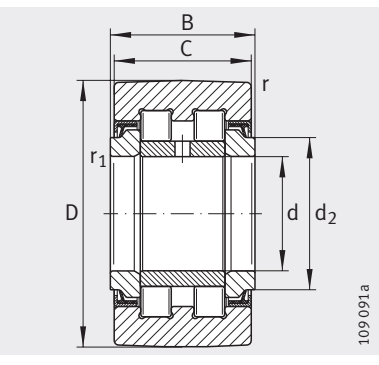
| Таблица размеров (продолжение) | | | | | | | | | | | | | |
|---------------------------------------|------------------|-------------------|--------------------|---------------------|----------------------------------|---------------------|--|--|--|--|--|--|--|
| Условное обозначение ¹⁾ | Грузоподъемно | ОСТЬ | | | Нагрузка предела усталости | Частота вращения | | | | | | | |
| | дин. | стат. | дин. | стат. | C _{urw} | n _{D G} | | | | | | | |
| | C _{r w} | C _{Or w} | F _{r per} | F _{Or per} | | | | | | | | | |
| | Н | Н | Н | Н | Н | мин ⁻¹ | | | | | | | |
| NNTR50X130X65-2ZL | 193 000 | 265 000 | 265 000 | 37 000 | 1 100 | | | | | | | | |
| NNTR55X140X70-2ZL | 226 000 | 315 000 | 315 000 | 44 500 | 850 | | | | | | | | |
| NNTR60X150X75-2ZL | 255 000 | 365 000 | 330 000 | 365 000 | 53 000 | 800 | | | | | | | |
| NNTR65X160X75-2ZL | 280 000 | 395 000 | 350 000 | 395 000 | 56 000 | 700 | | | | | | | |
| NNTR70X180X85-2ZL | 355 000 | 510 000 | 465 000 | 510 000 | 75 000 | 600 | | | | | | | |
| NNTR80X200X90-2ZL | 415 000 | 610 000 | 550 000 | 610 000 | 87 000 | 500 | | | | | | | |
| NNTR90X220X100-2ZL | 500 000 | 750 000 | 600 000 | 750 000 | 104 000 | 400 | | | | | | | |
| NNTR100X240X105-2ZL | 560 000 | 870 000 | 710 000 | 870 000 | 118 000 | 340 | | | | | | | |
| NNTR110X260X115-2ZL | 670 000 | 1 050 000 | 1 050 000 | 143 000 | 300 | | | | | | | | |
| NNTR120X290X135-2ZL | 880 000 | 1 400 000 | 1 110 000 | 1 400 000 | 260 | | | | | | | | |
| NNTR130X310X146-2ZL | 1010000 | 1 630 000 | 1 280 000 | 1 630 000 | 216 000 | 240 | | | | | | | |

Опорные ролики

с осевым центрированием с уплотнениями



NUTR (с оптимизированным профилем INA)



PWTR..-2RS (с оптимизированным профилем INA)

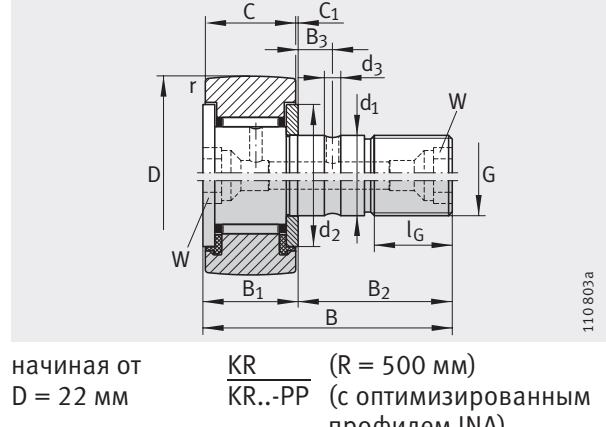
| Таблица размер | ов • Р | азмеры | в мм | | | | | | | | | | | | |
|-------------------------|---------------|--------|------|------|----|----|----------------|------|----------------|--------------------------|----------------------------|----------------------------|------------------------------|----------------------------------|--------------------------|
| Условное обозначение | | Macca | Разі | иеры | | | | | | Грузопо | одъемно | СТЬ | | Нагрузка предела усталости | Частота вра- щения |
| | X-life | m | D | d | В | С | d ₂ | r | r ₁ | дин. С _{г w} | стат. С _{0r w} | дин. F _{r per} | стат. F _{Or per} | C _{urw} | n _{D G} |
| | × | ≈Γ | | | | | | мин. | мин. | Н | Н | Н | Н | Н | мин ⁻¹ |
| NUTR15 | _ | 99 | 35 | 15 | 19 | 18 | 20 | 0,6 | 0,3 | 15 300 | 18 700 | 8 500 | 16800 | 2 430 | 6 500 |
| PWTR15-2RS | XL | 99 | 35 | 15 | 19 | 18 | 20 | 0,6 | 0,3 | 12 600 | 14 600 | 10700 | 14 600 | 1760 | 6 000 |
| NUTR17 | _ | 147 | 40 | 17 | 21 | 20 | 22 | 1 | 0,5 | 18 700 | 24 900 | 13 000 | 24 900 | 3 1 5 0 | 5 500 |
| PWTR17-2RS | XL | 147 | 40 | 17 | 21 | 20 | 22 | 1 | 0,5 | 14 300 | 17 900 | 16 500 | 17 900 | 2160 | 5 000 |
| NUTR1542 | _ | 158 | 42 | 15 | 19 | 18 | 20 | 0,6 | 0,3 | 18 300 | 24 300 | 24 300 | 24 300 | 3 100 | 6 5 0 0 |
| PWTR1542-2RS | XL | 158 | 42 | 15 | 19 | 18 | 20 | 0,6 | 0,3 | 14700 | 16 200 | 16 200 | 16 200 | 2140 | 6 0 0 0 |
| NUTR1747 | _ | 220 | 47 | 17 | 21 | 20 | 22 | 1 | 0,5 | 21 600 | 30 500 | 30 500 | 30 500 | 3 850 | 5 500 |
| PWTR1747-2RS | XL | 220 | 47 | 17 | 21 | 20 | 22 | 1 | 0,5 | 15 900 | 18 400 | 18 400 | 18 400 | 2 440 | 5 000 |
| NUTR20 | _ | 245 | 47 | 20 | 25 | 24 | 27 | 1 | 0,5 | 28 500 | 37 500 | 16 200 | 32 500 | 4850 | 4 200 |
| PWTR20-2RS | XL | 245 | 47 | 20 | 25 | 24 | 27 | 1 | 0,5 | 24 500 | 30 500 | 20 700 | 30 500 | 3 7 5 0 | 3 800 |
| NUTR2052 | _ | 321 | 52 | 20 | 25 | 24 | 27 | 1 | 0,5 | 32 000 | 44 000 | 38 000 | 44 000 | 5 700 | 4 200 |
| PWTR2052-2RS | XL | 321 | 52 | 20 | 25 | 24 | 27 | 1 | 0,5 | 27 000 | 35 000 | 31 000 | 35 000 | 4 250 | 3 800 |
| NUTR25 | _ | 281 | 52 | 25 | 25 | 24 | 31 | 1 | 0,5 | 29 000 | 40 500 | 17 100 | 34 000 | 5 300 | 4 200 |
| PWTR25-2RS | XL | 281 | 52 | 25 | 25 | 24 | 31 | 1 | 0,5 | 25 000 | 33 000 | 21800 | 33 000 | 4 100 | 3 800 |
| NUTR2562 | _ | 450 | 62 | 25 | 25 | 24 | 31 | 1 | 0,5 | 35 500 | 54 000 | 54 000 | 54 000 | 6 900 | 4 200 |
| PWTR2562-2RS | XL | 450 | 62 | 25 | 25 | 24 | 31 | 1 | 0,5 | 30 000 | 42 500 | 42 500 | 42 500 | 5 200 | 3 800 |
| NUTR30 | _ | 465 | 62 | 30 | 29 | 28 | 38 | 1 | 0,5 | 40 000 | 55 000 | 23 400 | 46 000 | 7 300 | 2 600 |
| PWTR30-2RS | XL | 465 | 62 | 30 | 29 | 28 | 38 | 1 | 0,5 | 35 000 | 45 500 | 29 000 | 45 500 | 5 800 | 2 200 |

| Таблица размеро | Габлица размеров (продолжение) · Размеры в мм /словное Масса Размеры Грузоподъемность Нагрузка Частота | | | | | | | | | | | | | | |
|-------------------------|--|-------|------|-----|----|----|----------------|------|----------------|--------------------------|----------------------------|-------------------------|--------------------------|----------------------------------|--------------------------|
| Условное обозначение | | Macca | Разм | еры | | | | | | Грузопо | дъемност | Ъ | | Нагрузка предела усталости | Частота вра- щения |
| | 0 | m | D | d | В | С | d ₂ | r | r ₁ | дин. С _{г w} | стат. С _{0r w} | дин. | стат. | C _{urw} | n _{D G} |
| | X-life | ≈r | | | | | | мин. | мин. | H | H | F _{r per} H | F _{Or per} H | Н | мин ⁻¹ |
| NUTR3072 | _ | 697 | 72 | 30 | 29 | 28 | 38 | 1 | 0,5 | 48 000 | 70 000 | 68 000 | 70 000 | 9 200 | 2 600 |
| PWTR3072-2RS | XL | 697 | 72 | 30 | 29 | 28 | 38 | 1 | 0,5 | 41 000 | 56 000 | 54 000 | 56 000 | 7 200 | 2 200 |
| NUTR35 | _ | 630 | 72 | 35 | 29 | 28 | 44 | 1,1 | 0,6 | 45 000 | 65 000 | 31 500 | 63 000 | 8 700 | 2 100 |
| PWTR35-2RS | XL | 630 | 72 | 35 | 29 | 28 | 44 | 1,1 | 0,6 | 38 500 | 54 000 | 39 000 | 54000 | 6 900 | 1800 |
| NUTR3580 | _ | 836 | 80 | 35 | 29 | 28 | 44 | 1,1 | 0,6 | 51 000 | 78 000 | 76 000 | 78 000 | 10300 | 2 100 |
| PWTR3580-2RS | XL | 836 | 80 | 35 | 29 | 28 | 44 | 1,1 | 0,6 | 43 500 | 63 000 | 59 000 | 63 000 | 8 100 | 1 800 |
| NUTR40 | - | 816 | 80 | 40 | 32 | 30 | 50,5 | 1,1 | 0,6 | 56 000 | 80 000 | 31 000 | 60 000 | 11 000 | 1 600 |
| PWTR40-2RS | XL | 816 | 80 | 40 | 32 | 30 | 50,5 | 1,1 | 0,6 | 45 000 | 61 000 | 39 500 | 61 000 | 7 900 | 1 500 |
| NUTR45 | - | 883 | 85 | 45 | 32 | 30 | 55,2 | 1,1 | 0,6 | 56 000 | 83 000 | 32 000 | 62 000 | 11 500 | 1 400 |
| PWTR45-2RS | XL | 883 | 85 | 45 | 32 | 30 | 55,2 | 1,1 | 0,6 | 45 500 | 63 000 | 41 000 | 63 000 | 8 200 | 1 300 |
| NUTR4090 | _ | 1129 | 90 | 40 | 32 | 30 | 50,5 | 1,1 | 0,6 | 66 000 | 101 000 | 84 000 | 101 000 | 13 900 | 1 600 |
| PWTR4090-2RS | XL | 1129 | 90 | 40 | 32 | 30 | 50,5 | 1,1 | 0,6 | 52 000 | 75 000 | 67 000 | 75 000 | 9 600 | 1 500 |
| NUTR50 | _ | 950 | 90 | 50 | 32 | 30 | 59,8 | 1,1 | 0,6 | 56 000 | 86 000 | 32 500 | 63 000 | 11 900 | 1 300 |
| PWTR50-2RS | XL | 950 | 90 | 50 | 32 | 30 | 59,8 | 1,1 | 0,6 | 46 000 | 66 000 | 42 000 | 66 000 | 8 500 | 1 100 |
| NUTR45100 | - | 1 396 | 100 | 45 | 32 | 30 | 55,2 | 1,1 | 0,6 | 72 000 | 115 000 | 106 000 | 115 000 | 15 800 | 1 400 |
| PWTR45100-2RS | XL | 1 396 | 100 | 45 | 32 | 30 | 55,2 | 1,1 | 0,6 | 56 000 | 85 000 | 85 000 | 85 000 | 10 900 | 1 300 |
| NUTR50110 | - | 1 690 | 110 | 50 | 32 | 30 | 59,8 | 1,1 | 0,6 | 76 000 | 128 000 | 128 000 | 128 000 | 17 600 | 1 300 |
| PWTR50110-2RS | XL | 1 690 | 110 | 50 | 32 | 30 | 59,8 | 1,1 | 0,6 | 59 000 | 94 000 | 94 000 | 94 000 | 12 100 | 1 100 |



Игольчатые опорные ролики с цапфой

с осевым центрированием открытые или с уплотнениями



| П | ٦Ч | ипс | אתג |
|---|----|-----|-----|
| D | = | 22 | MM |

профилем INA)

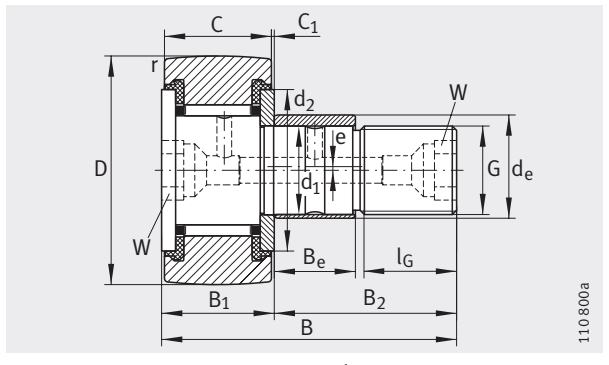
| Таблица пазме | Таблица размеров · Размеры в мм | | | | | | | | | | | | | |
|--------------------------|---|------------------------|-------|------|----------------|----|----------------|----------------|----------------|----|----------------|------|----------------|----------------|
| таолица разме | Условное Масса С эксцентриком Масса Размеры | | | | | | | | | | | | | |
| | Macca | С эксцентриком | Macca | Разм | еры | | | | | | | | | |
| обозначение | | Условное | | | | | | | | | | | | |
| | l m | обозначение | m | D | d_1 | В | B ₁ | B ₂ | B ₃ | С | C ₁ | r | d_2 | d ₃ |
| | | | ''' | | u ₁ | | | 152 | 3 | | | l' | u ₂ | u3 |
| | ≈r | | ≈Γ | | h7 | | макс. | | | | | мин. | | |
| KR16 ³⁾ | 19 | _ | - | 16 | 6 | 28 | 12,2 | 16 | _ | 11 | 0,6 | 0,15 | 12,5 | _ |
| KR16-PP ³⁾ | 18 | KRE16-PP ³⁾ | 20 | 16 | 6 | 28 | 12,2 | 16 | _ | 11 | 0,6 | 0,15 | 12,5 | _ |
| KR16-SK-PP ⁴⁾ | 19 | - | _ | 16 | 6 | 28 | 12,2 | 16 | _ | 11 | 0,6 | 0,15 | 12,5 | - |
| KRV16-PP ³⁾ | 19 | - | - | 16 | 6 | 28 | 12,2 | 16 | _ | 11 | 0,6 | 0,15 | 12,5 | - |
| KR19 ³⁾ | 29 | _ | _ | 19 | 8 | 32 | 12,2 | 20 | _ | 11 | 0,6 | 0,15 | 15 | _ |
| KR19-PP ³⁾ | 29 | KRE19-PP ³⁾ | 32 | 19 | 8 | 32 | 12,2 | 20 | - | 11 | 0,6 | 0,15 | 15 | - |
| KR19-SK-PP ⁴⁾ | 29 | _ | _ | 19 | 8 | 32 | 12,2 | 20 | - | 11 | 0,6 | 0,15 | 15 | _ |
| KRV19-PP ³⁾ | 31 | - | - | 19 | 8 | 32 | 12,2 | 20 | - | 11 | 0,6 | 0,15 | 15 | - |
| KR22 | 45 | _ | _ | 22 | 10 | 36 | 13,2 | 23 | - | 12 | 0,6 | 0,3 | 17,5 | _ |
| KR22-PP | 43 | KRE22-PP | 47 | 22 | 10 | 36 | 13,2 | 23 | - | 12 | 0,6 | 0,3 | 17,5 | _ |
| KRV22-PP | 45 | _ | _ | 22 | 10 | 36 | 13,2 | 23 | _ | 12 | 0,6 | 0,3 | 17,5 | _ |
| KR26 | 59 | - | - | 26 | 10 | 36 | 13,2 | 23 | _ | 12 | 0,6 | 0,3 | 17,5 | - |
| KR26-PP | 57 | KRE26-PP | 62 | 26 | 10 | 36 | 13,2 | 23 | _ | 12 | 0,6 | 0,3 | 17,5 | - |
| KRV26-PP | 59 | - | - | 26 | 10 | 36 | 13,2 | 23 | - | 12 | 0,6 | 0,3 | 17,5 | - |
| KR30 | 92 | _ | _ | 30 | 12 | 40 | 15,2 | 25 | 6 | 14 | 0,6 | 0,6 | 23 | 3 |
| KR30-PP | 88 | KRE30-PP | 93 | 30 | 12 | 40 | 15,2 | 25 | 6 | 14 | 0,6 | 0,6 | 23 | 3 |
| KRV30-PP | 91 | _ | _ | 30 | 12 | 40 | 15,2 | 25 | 6 | 14 | 0,6 | 0,6 | 23 | 3 |
| KR32 | 103 | _ | - | 32 | 12 | 40 | 15,2 | 25 | 6 | 14 | 0,6 | 0,6 | 23 | 3 |
| KR32-PP | 98 | KRE32-PP | 104 | 32 | 12 | 40 | 15,2 | 25 | 6 | 14 | 0,6 | 0,6 | 23 | 3 |
| KRV32-PP | 101 | - | - | 32 | 12 | 40 | 15,2 | 25 | 6 | 14 | 0,6 | 0,6 | 23 | 3 |

 $[\]overline{\ }$ Пресс-масленки поставляются в комплекте и не смонтированы на ролик. Допускается использовать только прилагаемые пресс-масленки.

 $^{^{2)}}$ Номинальный размер внутреннего шестигранника.

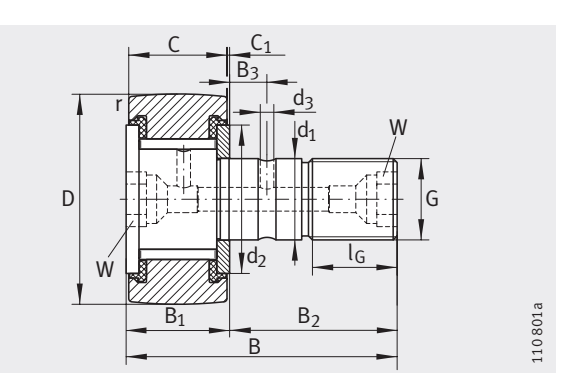
 $^{^{3)}\,}$ Смазочное отверстие на торце цапфы только со стороны ролика, на торце имеется шлиц для удерживания подшипника при монтаже.

⁴⁾ Внутренний шестигранник только на торце цапфы со стороны ролика. Без возможности повторного смазывания.



начиная от D = 22 мм

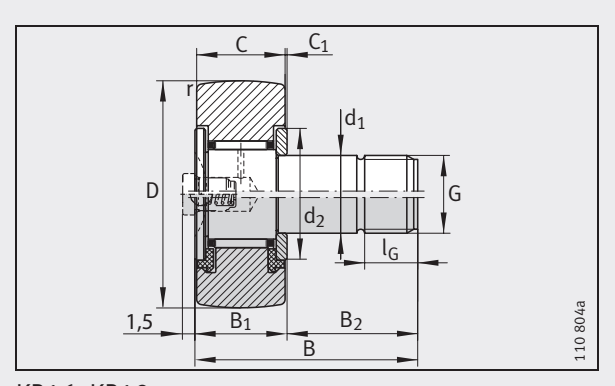
KRE..-PP (с оптимизированным профилем INA)



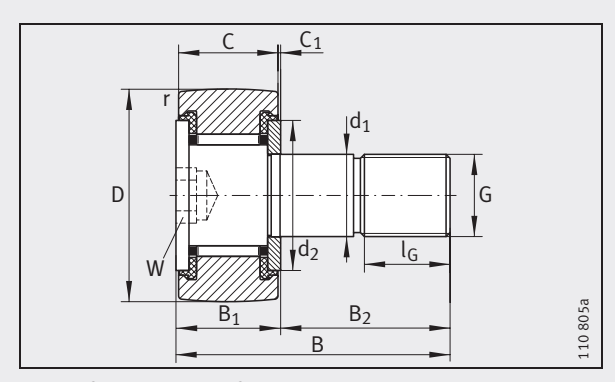
начиная от D = 22 мм

KRV..-PP (с оптимизированным профилем INA)

| | | | | | | Пресс- масленка ¹⁾ | Момент затяжки гайки | Грузоподт | ьемность | Нагрузка предела усталости | Частота вращения |
|-----------|---------|-----------------|----------------------|----------------|-----|----------------------------------|----------------------------|------------------|-------------------|----------------------------------|---------------------|
| G | l_{G} | W ²⁾ | Эксцеі | нтрик | | | M _A | дин. | стат. | C _{urw} | n _{D G} |
| | | | d _e h9 | B _e | е | | Нм | C _{r w} | C _{Or w} | Н | мин ⁻¹ |
| M6(X1) | 8 | - | - | _ | - | NIPA1 | 3 | 3 150 | 3 350 | 450 | 14 000 |
| M6(X1) | 8 | - | 9 | 7 | 0,5 | NIPA1 | 3 | 3 150 | 3 350 | 450 | 14 000 |
| M6(X1) | 8 | 4 | _ | _ | _ | _ | 3 | 3 150 | 3 350 | 450 | 14 000 |
| M6(X1) | 8 | - | - | - | - | NIPA1 | 3 | 4 900 | 6 600 | 950 | 3 800 |
| M8(X1,25) | 10 | _ | - | _ | _ | NIPA1 | 8 | 3 500 | 4 000 | 540 | 11 000 |
| M8(X1,25) | 10 | _ | 11 | 9 | 0,5 | NIPA1 | 8 | 3 500 | 4 000 | 540 | 11 000 |
| M8(X1,25) | 10 | 4 | _ | _ | _ | - | 8 | 3 500 | 4 000 | 540 | 11 000 |
| M8(X1,25) | 10 | - | - | - | - | NIPA1 | 8 | 5 400 | 8 000 | 1 170 | 3 100 |
| M10X1 | 12 | 5 | - | - | _ | NIPA1X4,5 | 15 | 4 5 5 0 | 5 300 | 730 | 8 000 |
| M10X1 | 12 | 5 | 13 | 10 | 0,5 | NIPA1X4,5 | 15 | 4 5 5 0 | 5 300 | 730 | 8 000 |
| M10X1 | 12 | 5 | _ | _ | _ | NIPA1X4,5 | 15 | 6 200 | 9 200 | 1 210 | 2 600 |
| M10X1 | 12 | 5 | _ | _ | - | NIPA1X4,5 | 15 | 5 100 | 6 400 | 840 | 8 000 |
| M10X1 | 12 | 5 | 13 | 10 | 0,5 | NIPA1X4,5 | 15 | 5 100 | 6 400 | 840 | 8 000 |
| M10X1 | 12 | 5 | - | - | - | NIPA1X4,5 | 15 | 7 300 | 11 500 | 1 500 | 2 600 |
| M12X1,5 | 13 | 6 | - | _ | - | NIPA1X4,5 | 22 | 6 800 | 8 600 | 1 220 | 5 500 |
| M12X1,5 | 13 | 6 | 15 | 11 | 0,5 | NIPA1X4,5 | 22 | 6 800 | 8 600 | 1 220 | 5 500 |
| M12X1,5 | 13 | 6 | _ | _ | _ | NIPA1X4,5 | 22 | 9 500 | 14900 | 2 0 5 0 | 2 100 |
| M12X1,5 | 13 | 6 | _ | _ | _ | NIPA1X4,5 | 22 | 7 100 | 9 200 | 1 290 | 5 500 |
| M12X1,5 | 13 | 6 | 15 | 11 | 0,5 | NIPA1X4,5 | 22 | 7 100 | 9 200 | 1 290 | 5 500 |
| M12X1,5 | 13 | 6 | - | - | - | NIPA1X4,5 | 22 | 10 000 | 16 100 | 2 200 | 2 100 |



KR16, KR19 KR16-PP, KR19-PP (KRV16-PP, KRV19-PP)

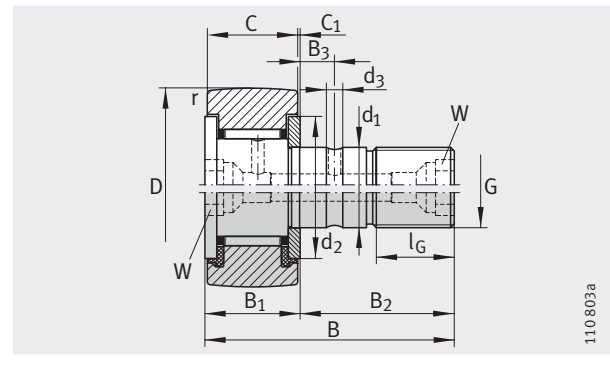


KR16-SK-PP, KR19-SK-PP



Игольчатые опорные ролики с цапфой

с осевым центрированием открытые или с уплотнениями

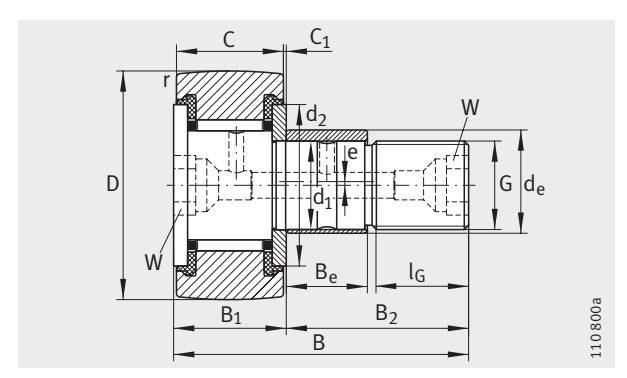


<u>KR</u> (R = 500 мм) (с оптимизированным профилем INA)

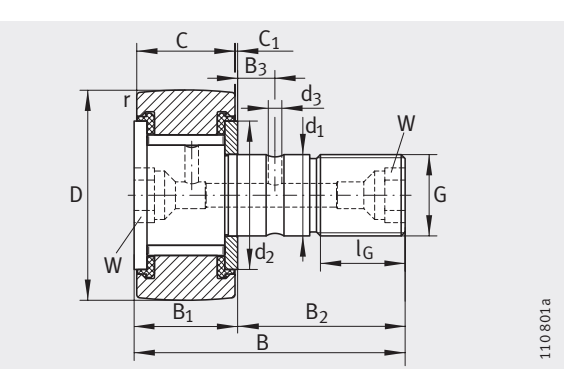
| Таблица размо | еров (про | должение) · Разме | | | | | | | | | | | | |
|---------------|------------------|-------------------|-------|-------|----------------|-----|----------------|----------------|----------------|----|----------------|------|---------------------------------------|----------------|
| Условное | Macca | С эксцентриком | Macca | Разме | еры | | | | | | | | | |
| обозначение | | Условное | | | | | | | | | | | | |
| | m | обозначение | m | D | d ₁ | В | B ₁ | B ₂ | B ₃ | С | C ₁ | r | d ₂ | d ₃ |
| | | | | | ω ₁ | | | 2 | 3 | | | ľ | \ \ \ \ \ \ \ \ \ \ \ \ \ \ \ \ \ \ \ | 43 |
| | ≈Γ | | ≈г | | h7 | | макс. | | | | | мин. | | |
| KR35 | 173 | - | _ | 35 | 16 | 52 | 19,6 | 32,5 | 8 | 18 | 0,8 | 0,6 | 27,6 | 3 |
| KR35-PP | 164 | KRE35-PP | 177 | 35 | 16 | 52 | 19,6 | 32,5 | 8 | 18 | 0,8 | 0,6 | 27,6 | 3 |
| KRV35-PP | 166 | _ | _ | 35 | 16 | 52 | 19,6 | 32,5 | 8 | 18 | 0,8 | 0,6 | 27,6 | 3 |
| KR40 | 247 | - | _ | 40 | 18 | 58 | 21,6 | 36,5 | 8 | 20 | 0,8 | 1 | 31,5 | 3 |
| KR40-PP | 239 | KRE40-PP | 255 | 40 | 18 | 58 | 21,6 | 36,5 | 8 | 20 | 0,8 | 1 | 31,5 | 3 |
| KRV40-PP | 247 | _ | _ | 40 | 18 | 58 | 21,6 | 36,5 | 8 | 20 | 0,8 | 1 | 31,5 | 3 |
| KR47-PP | 381 | KRE47-PP | 400 | 47 | 20 | 66 | 25,6 | 40,5 | 9 | 24 | 0,8 | 1 | 36,5 | 4 |
| KRV47-PP | 390 | _ | _ | 47 | 20 | 66 | 25,6 | 40,5 | 9 | 24 | 0,8 | 1 | 36,5 | 4 |
| KR52-PP | 454 | KRE52-PP | 473 | 52 | 20 | 66 | 25,6 | 40,5 | 9 | 24 | 0,8 | 1 | 36,5 | 4 |
| KRV52-PP | 463 | _ | _ | 52 | 20 | 66 | 25,6 | 40,5 | 9 | 24 | 0,8 | 1 | 36,5 | 4 |
| KR62-PP | 770 | KRE62-PP | 798 | 62 | 24 | 80 | 30,6 | 49,5 | 11 | 29 | 0,8 | 1 | 44 | 4 |
| KRV62-PP | 787 | - | _ | 62 | 24 | 80 | 30,6 | 49,5 | 11 | 29 | 0,8 | 1 | 44 | 4 |
| KR72-PP | 1010 | KRE72-PP | 1 038 | 72 | 24 | 80 | 30,6 | 49,5 | 11 | 29 | 0,8 | 1,1 | 44 | 4 |
| KRV72-PP | 1 027 | - | _ | 72 | 24 | 80 | 30,6 | 49,5 | 11 | 29 | 0,8 | 1,1 | 44 | 4 |
| KR80-PP | 1 608 | KRE80-PP | 1 665 | 80 | 30 | 100 | 37 | 63 | 15 | 35 | 1 | 1,1 | 53 | 4 |
| KRV80-PP | 1 636 | _ | _ | 80 | 30 | 100 | 37 | 63 | 15 | 35 | 1 | 1,1 | 53 | 4 |
| KR90-PP | 1 975 | KRE90-PP | 2 032 | 90 | 30 | 100 | 37 | 63 | 15 | 35 | 1 | 1,1 | 53 | 4 |
| KRV90-PP | 2 003 | _ | - | 90 | 30 | 100 | 37 | 63 | 15 | 35 | 1 | 1,1 | 53 | 4 |
| | | | | | | | | | | | | | | |

¹⁾ Пресс-масленки поставляются в комплекте и не смонтированы на ролик. Допускается использовать только прилагаемые пресс-масленки.

²⁾ Номинальный размер внутреннего шестигранника. Применяемый адаптер для подключения к централизованной системе смазки см. на стр. 951.



KRE..-PP (с оптимизированным профилем INA)



KRV..-PP (с оптимизированным профилем INA)

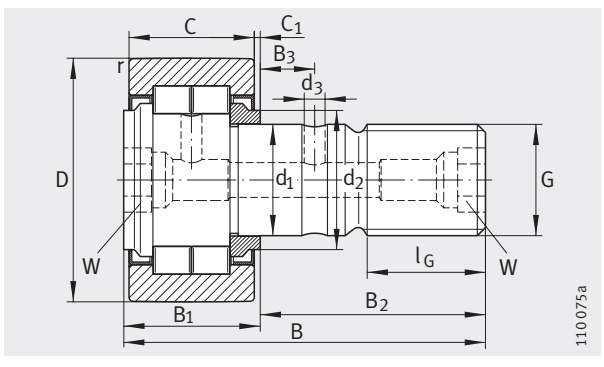
| | | | | | | | Пресс- масленка ¹⁾ | Момент затяжки гайки | Грузоподъ | емность | Нагрузка предела усталости | Частота вращения |
|---|---------|----------------|-----------------|----------------------|----------------|-----|----------------------------------|----------------------------|-----------------------|------------------|----------------------------------|---------------------|
| | G | l _G | W ²⁾ | Эксцен | нтрик | | | M _A | дин. | стат. | C _{urw} | n _{D G} |
| | | | | d _e h9 | B _e | е | | Нм | C _{r w} H | C _{Orw} | Н | MUH^{-1} |
| | M16X1,5 | 17 | 8 | - | - | _ | NIPA2X7,5 | 58 | 9 700 | 14 300 | 1830 | 3 600 |
| | M16X1,5 | 17 | 8 | 20 | 14 | 1 | NIPA2X7,5 | 58 | 9 700 | 14 300 | 1830 | 3 600 |
| | M16X1,5 | 17 | 8 | - | - | - | NIPA2X7,5 | 58 | 12600 | 23 100 | 3 200 | 1 600 |
| | M18X1,5 | 19 | 8 | _ | - | - | NIPA2X7,5 | 87 | 10 900 | 15 800 | 2 0 9 0 | 2 900 |
| | M18X1,5 | 19 | 8 | 22 | 16 | 1 | NIPA2X7,5 | 87 | 10 900 | 15 800 | 2 090 | 2 900 |
| | M18X1,5 | 19 | 8 | - | - | - | NIPA2X7,5 | 87 | 14700 | 26 500 | 3 500 | 1 400 |
| | M20X1,5 | 21 | 10 | 24 | 18 | 1 | NIPA2X7,5 | 120 | 15 400 | 26 000 | 3 400 | 2 400 |
| | M20X1,5 | 21 | 10 | _ | - | - | NIPA2X7,5 | 120 | 20 300 | 42 000 | 5 900 | 1 300 |
| | M20X1,5 | 21 | 10 | 24 | 18 | 1 | NIPA2X7,5 | 120 | 16 600 | 29 000 | 3 800 | 2 400 |
| | M20X1,5 | 21 | 10 | _ | _ | _ | NIPA2X7,5 | 120 | 22 300 | 48 000 | 6700 | 1 300 |
| | M24X1,5 | 25 | 14 | 28 | 22 | 1 | NIPA3X9,5 | 220 | 26 000 | 48 000 | 6800 | 1 900 |
| | M24X1,5 | 25 | 14 | _ | _ | - | NIPA3X9,5 | 220 | 33 500 | 75 000 | 11 200 | 1 100 |
| | M24X1,5 | 25 | 14 | 28 | 22 | 1 | NIPA3X9,5 | 220 | 28 000 | 53 000 | 7 200 | 1 900 |
| | M24X1,5 | 25 | 14 | _ | _ | - | NIPA3X9,5 | 220 | 36 500 | 85 000 | 12600 | 1 100 |
| | M30X1,5 | 32 | 14 | 35 | 29 | 1,5 | NIPA3X9,5 | 450 | 38 500 | 77 000 | 11 000 | 1 300 |
| | M30X1,5 | 32 | 14 | - | - | - | NIPA3X9,5 | 450 | 48 500 | 117 000 | 17 400 | 850 |
| · | M30X1,5 | 32 | 14 | 35 | 29 | 1,5 | NIPA3X9,5 | 450 | 40 500 | 83 000 | 11 700 | 1 300 |
| | M30X1,5 | 32 | 14 | - | - | - | NIPA3X9,5 | 450 | 52 000 | 129 000 | 19 000 | 850 |



Опорные ролики с цилиндрическими роликами с цапфой

с осевым центрированием



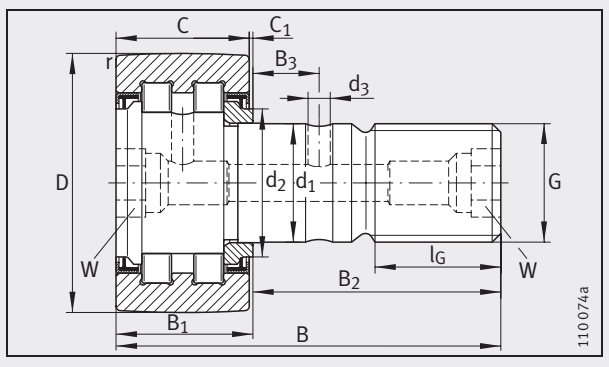


NUKR (с оптимизированным профилем INA)

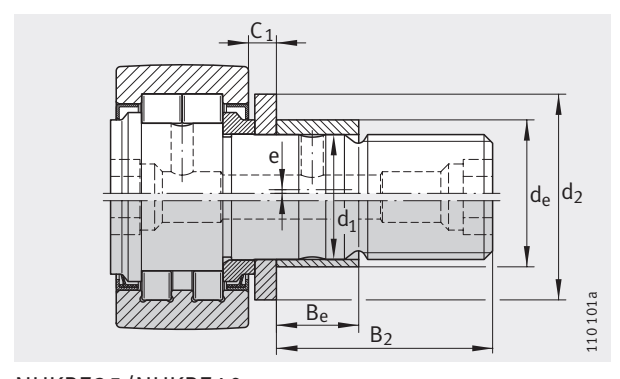
| Таблица размеров · Размеры в мм | | | | | | | | | | | | | | | |
|--|-------|-------------------------|---------|--------|------|-------|-----|----------------|----------------|----------------|----|----------------|------|----------------|-------|
| Без эксцентрика | Macca | С эксцентриком | Macca | | Разі | иеры | | | | | | | | | |
| Условное обозначение | | Условное обозначение | | | | | | 1 | 1 | 1 | | 1 | 1 | 1 | |
| ооозначение | m | ооозначение | m | d) | D | d_1 | В | B ₁ | B ₂ | B ₃ | С | C ₁ | r | d ₂ | d_3 |
| | ≈Γ | | ≈Γ | X-life | | h7 | | макс. | | | | | мин. | | |
| NUKR35 | 164 | _ | - | - | 35 | 16 | 52 | 19,6 | 32,5 | 7,8 | 18 | 0,8 | 0,6 | 20 | 3 |
| - | - | NUKRE35 | 177 | - | 35 | 16 | 52 | 22,6 | 29,5 | - | 18 | 3,8 | 0,6 | 27,6 | - |
| PWKR35-2RS | 164 | _ | _ | XL | 35 | 16 | 52 | 19,6 | 32,5 | 7,8 | 18 | 0,8 | 0,6 | 20 | 3 |
| - | - | PWKRE35-2RS | 177 | XL | 35 | 16 | 52 | 22,6 | 29,5 | _ | 18 | 3,8 | 0,6 | 27,6 | _ |
| NUKR40 | 242 | _ | _ | - | 40 | 18 | 58 | 21,6 | 36,5 | 8 | 20 | 0,8 | 1 | 22 | 3 |
| - | - | NUKRE40 | 258 | - | 40 | 18 | 58 | 24,6 | 33,5 | - | 20 | 3,8 | 1 | 30 | _ |
| PWKR40-2RS | 242 | _ | _ | XL | 40 | 18 | 58 | 21,6 | 36,5 | 8 | 20 | 0,8 | 1 | 22 | 3 |
| - | - | PWKRE40-2RS | 258 | XL | 40 | 18 | 58 | 24,6 | 33,5 | _ | 20 | 3,8 | 1 | 30 | _ |
| NUKR47 | 380 | NUKRE47 | 400 | - | 47 | 20 | 66 | 25,6 | 40,5 | 9 | 24 | 0,8 | 1 | 27 | 4 |
| PWKR47-2RS | 380 | PWKRE47-2RS | 400 | XL | 47 | 20 | 66 | 25,6 | 40,5 | 9 | 24 | 0,8 | 1 | 27 | 4 |
| NUKR52 | 450 | NUKRE52 | 470 | - | 52 | 20 | 66 | 25,6 | 40,5 | 9 | 24 | 0,8 | 1 | 31 | 4 |
| PWKR52-2RS | 450 | PWKRE52-2RS | 470 | XL | 52 | 20 | 66 | 25,6 | 40,5 | 9 | 24 | 0,8 | 1 | 31 | 4 |
| NUKR62 | 795 | NUKRE62 | 824 | - | 62 | 24 | 80 | 30,6 | 49,5 | 11 | 28 | 1,3 | 1 | 38 | 4 |
| PWKR62-2RS | 795 | PWKRE62-2RS | 824 | XL | 62 | 24 | 80 | 30,6 | 49,5 | 11 | 28 | 1,3 | 1 | 38 | 4 |
| NUKR72 | 1 020 | NUKRE72 | 1 050 | - | 72 | 24 | 80 | 30,6 | 49,5 | 11 | 28 | 1,3 | 1,1 | 44 | 4 |
| PWKR72-2RS | 1 020 | PWKRE72-2RS | 1 050 | XL | 72 | 24 | 80 | 30,6 | 49,5 | 11 | 28 | 1,3 | 1,1 | 44 | 4 |
| NUKR80 | 1 600 | NUKRE80 | 1 670 | - | 80 | 30 | 100 | 37 | 63 | 15 | 35 | 1 | 1,1 | 47 | 4 |
| PWKR80-2RS | 1 600 | PWKRE80-2RS | 1 670 | XL | 80 | 30 | 100 | 37 | 63 | 15 | 35 | 1 | 1,1 | 47 | 4 |
| NUKR90 | 1 960 | NUKRE90 | 2 0 2 0 | - | 90 | 30 | 100 | 37 | 63 | 15 | 35 | 1 | 1,1 | 47 | 4 |
| PWKR90-2RS | 1 960 | PWKRE90-2RS | 2 0 2 0 | XL | 90 | 30 | 100 | 37 | 63 | 15 | 35 | 1 | 1,1 | 47 | 4 |

 $[\]overline{\ }$ Пресс-масленки поставляются в комплекте и не смонтированы на ролик Допускается использовать только прилагаемые пресс-масленки.

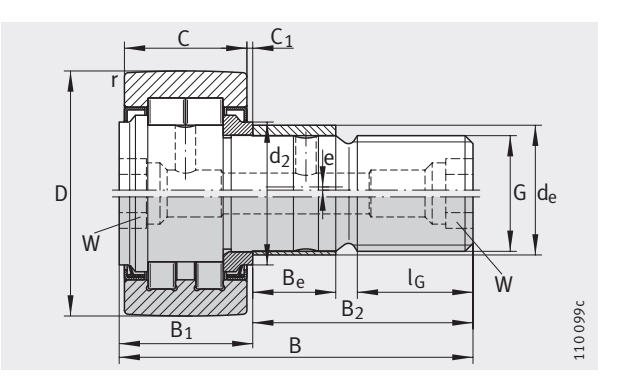
 $^{^{2)}}$ Номинальный размер внутреннего шестигранника. Применяемый адаптер для подключения к централизованной системе смазки см. на стр. 951.



PWKR..-2RS (с оптимизированным профилем INA)



NUKRE35/NUKRE40 PWKRE35-2RS/PWKRE40-2RS (с оптимизированным профилем INA)

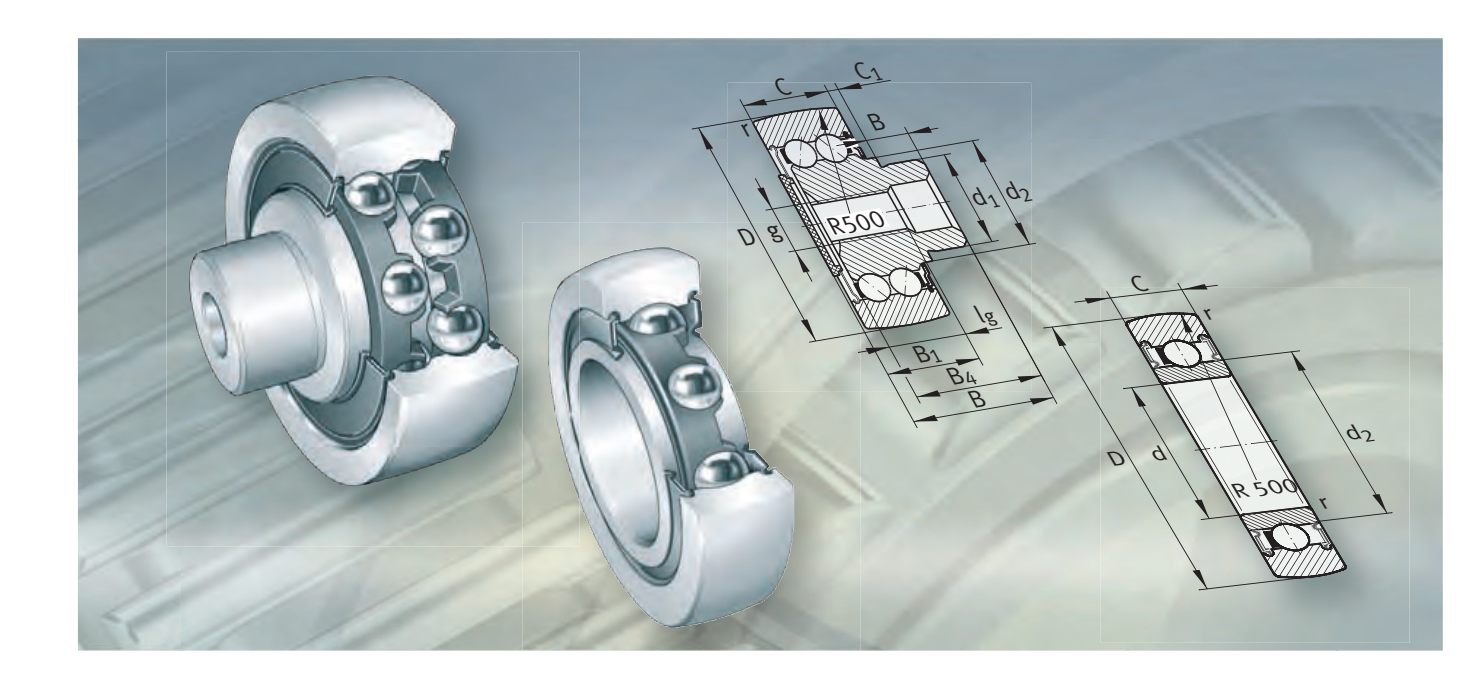


NUKRE PWKRE..-2RS (с оптимизированным профилем INA)

| | | | | | | Пресс- масленка ¹⁾ | Момент затяжки гайки | Грузопод | ъемность | | | Нагрузка предела усталости | Частота вращения |
|---------|---------|-----------------|----------------------|----------------|-----|----------------------------------|----------------------------|----------------------|------------------------|-------------------------|--------------------------|----------------------------------|---------------------|
| G | l_{G} | W ²⁾ | Эксь | центрі | ик | | M _A | дин. | стат. | дин. | стат. | C _{urw} | n _{D G} |
| | | | d _e h9 | B _e | е | | Нм | C _{rw} H | C _{Or w} H | F _{r per} H | F _{0r per} H | Н | мин ⁻¹ |
| M16X1,5 | 17 | 8 | - | - | - | NIPA2X7,5 | 58 | 15 300 | 18 700 | 8 500 | 16 800 | 2 430 | 6 500 |
| M16X1,5 | 17 | 8 | 20 | 12 | 1 | NIPA2X7,5 | 58 | 15 300 | 18 700 | 8 500 | 16 800 | 2 430 | 6 500 |
| M16X1,5 | 17 | 8 | _ | _ | _ | NIPA2X7,5 | 58 | 12600 | 14 600 | 10 700 | 14 600 | 1760 | 6 000 |
| M16X1,5 | 17 | 8 | 20 | 12 | 1 | NIPA2X7,5 | 58 | 12600 | 14 600 | 10 700 | 14 600 | 1760 | 6 000 |
| M18X1,5 | 19 | 8 | _ | _ | _ | NIPA2X7,5 | 87 | 18 700 | 24 900 | 13 000 | 24 900 | 3 150 | 5 500 |
| M18X1,5 | 19 | 8 | 22 | 14 | 1 | NIPA2X7,5 | 87 | 18 700 | 24 900 | 13 000 | 24 900 | 3 150 | 5 500 |
| M18X1,5 | 19 | 8 | _ | _ | _ | NIPA2X7,5 | 87 | 14 300 | 17 900 | 16 500 | 17 900 | 2160 | 5 000 |
| M18X1,5 | 19 | 8 | 22 | 14 | 1 | NIPA2X7,5 | 87 | 14 300 | 17 900 | 16 500 | 17 900 | 2160 | 5 000 |
| M20X1,5 | 21 | 10 | 24 | 18 | 1 | NIPA2X7,5 | 120 | 28 500 | 37 500 | 16 200 | 32 500 | 4850 | 4 200 |
| M20X1,5 | 21 | 10 | 24 | 18 | 1 | NIPA2X7,5 | 120 | 24 500 | 30 500 | 20 700 | 30 500 | 3 750 | 3 800 |
| M20X1,5 | 21 | 10 | 24 | 18 | 1 | NIPA2X7,5 | 120 | 29 000 | 40 500 | 17 100 | 34 000 | 5 300 | 4 200 |
| M20X1,5 | 21 | 10 | 24 | 18 | 1 | NIPA2X7,5 | 120 | 25 000 | 33 000 | 21 800 | 33 000 | 4100 | 3 800 |
| M24X1,5 | 25 | 14 | 28 | 22 | 1 | NIPA3X9,5 | 220 | 40 000 | 55 000 | 23 400 | 46 000 | 7 300 | 2 600 |
| M24X1,5 | 25 | 14 | 28 | 22 | 1 | NIPA3X9,5 | 220 | 35 000 | 45 500 | 29 000 | 45 500 | 5 800 | 2 200 |
| M24X1,5 | 25 | 14 | 28 | 22 | 1 | NIPA3X9,5 | 220 | 45 000 | 65 000 | 31 500 | 63 000 | 8700 | 2 600 |
| M24X1,5 | 25 | 14 | 28 | 22 | 1 | NIPA3X9,5 | 220 | 38 500 | 54 000 | 39 000 | 54 000 | 6 900 | 2 200 |
| M30X1,5 | 32 | 14 | 35 | 29 | 1,5 | NIPA3X9,5 | 450 | 69 000 | 104 000 | 47 500 | 95 000 | 14 100 | 1 800 |
| M30X1,5 | 32 | 14 | 35 | 29 | 1,5 | NIPA3X9,5 | 450 | 56 000 | 79 000 | 60 000 | 79 000 | 10600 | 1 800 |
| M30X1,5 | 32 | 14 | 35 | 29 | 1,5 | NIPA3X9,5 | 450 | 78 000 | 123 000 | 76 000 | 123 000 | 16700 | 1800 |
| M30X1,5 | 32 | 14 | 35 | 29 | 1,5 | NIPA3X9,5 | 450 | 62 000 | 92 000 | 92 000 | 92 000 | 12 200 | 1 800 |







Общий обзор Направляющие ролики

Направляющие ролики

одно- или двухрядные контактные уплотнения или защитные шайбы

LR6, LR60, LR2



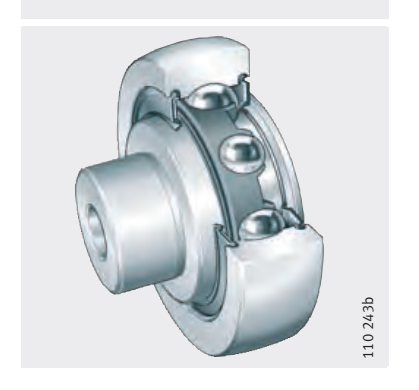
LR50, LR52, LR53



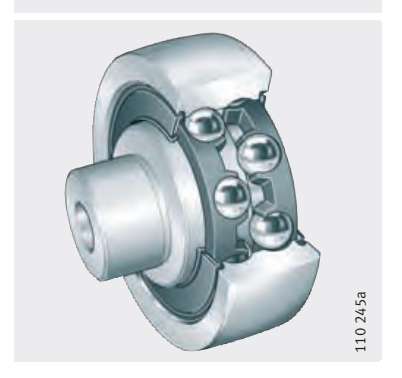
Направляющие ролики с цапфой

одно- или двухрядные контактные уплотнения или защитная шайба и крышка

ZL2..-DRS

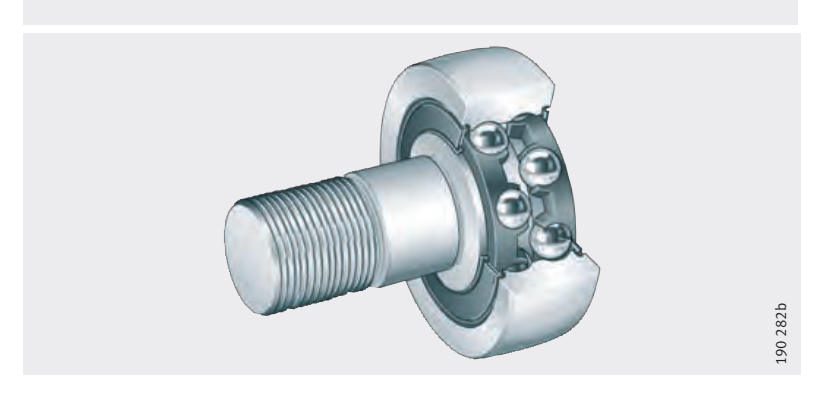


ZL52..-DRS



контактные уплотнения

KR52..-2RS



с эксцентриком защитные шайбы

ZLE52..-2Z



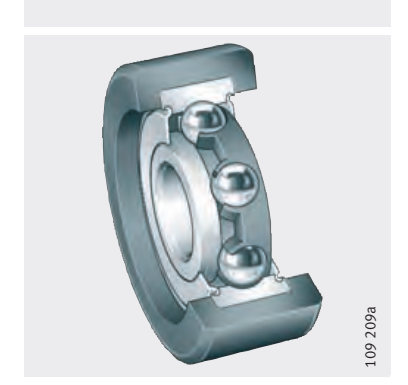
Направляющие ролики с оболочкой из пластмассы

Образующая поверхность наружного кольца выпуклая или цилиндрическая, контактные уплотнения или защитные шайбы

KLRU



KLRZ



Дальнейшая программа продукции

Направляющие ролики с профилированным наружным кольцом

LFR5





Основные свойства

Направляющие ролики – неразъемные одно- или двухрядные шарикоподшипники с наружным кольцом, имеющим увеличенную толщину стенок. Эти подшипники наряду с радиальными нагрузками воспринимают также и осевые силы в обоих направлениях.

Образующая поверхность наружного кольца имеет выпуклый или цилиндрический профиль. Направляющие ролики с выпуклой образующей поверхностью используются, чтобы избежать напряжений на кромках ролика, вызванных его перекосом относительно дорожки качения.

Выпускаются направляющие ролики с внутренним кольцом, с цапфой и с оболочкой из пластмассы на наружном кольце.

Профиль образующей поверхности наружного кольца

Направляющие ролики с выпуклой образующей поверхностью наружного кольца и направляющие ролики с цапфой имеют радиус профиля R = 500 мм.

Направляющие ролики с цилиндрической образующей поверхностью наружного кольца имеют дополнительное обозначение Х.

Направляющие ролики

Направляющие ролики имеют наружные кольца с выпуклой или цилиндрической образующей поверхностью, внутренние кольца и пластмассовые сепараторы с шариками. По своей конструкции они схожи с радиальными или радиально-упорными шарикоподшипниками и монтируются на ось.

Направляющие ролики LR6, LR60 и LR2 – однорядные; LR50, LR52 и LR53 – двухрядные.

Защита от коррозии

Если требуется усиленная защита от коррозии, то в качестве специального исполнения и по заказу возможна поставка направляющих роликов, имеющих специальное покрытие ${\sf Corrotect}^{\$}$, см. раздел «Защита от коррозии с помощью покрытия ${\sf Corrotect}^{\$}$ », стр. 970.

Уплотнения

Направляющие ролики с дополнительным обозначением 2RSR имеют контактные уплотнения с двух сторон. В некоторых типоразмерах для компактности установлены уплотнения RS.

Двухрядные направляющие ролики с дополнительным обозначением 2Z с двух сторон оснащены защитными шайбами, подшипники с дополнительным обозначением 2RS – с двух сторон контактными уплотнениями.

Смазывание

Направляющие ролики заполнены литиевой смазкой согласно GA13. Двухрядные направляющие ролики, отчасти, допускают смазывание через внутреннее кольцо.

Направляющие ролики с цапфой

Направляющие ролики с цапфой имеют наружные кольца с выпуклой образующей поверхностью, массивные цапфы и пластмассовые сепараторы с шариками. Они выпускаются с эксцентриком и без эксцентрика.

Для удобства монтажа цапфа имеет резьбу или резьбовое отверстие. Для удерживания подшипника при монтаже служит шлиц, внутренний шестигранник или место под ключ на наружной резьбе.

Направляющие ролики ZL2 – однорядные; ZL52, ZLE52 и KR52 – двухрядные.

Без эксцентрика

Направляющие ролики с цапфой без эксцентрика предназначены для применений, где не требуется регулирование положения образующей поверхности наружного кольца относительно дорожки качения сопрягаемой конструкции.

С эксцентриком

Направляющие ролики с цапфой ZLE52 оснащены эксцентриком. С помощью эксцентрика может быть отрегулировано положение образующей поверхности наружного кольца без зазора по отношению к дорожке качения. Это создает оптимальное геометрическое замыкание между направляющим роликом и дорожкой качения. Дополнительно это позволяет изготовить сопрягаемую конструкцию с более грубыми допусками. Кроме того, нагрузка при использовании нескольких направляющих роликов распределяется более равномерно. Для удерживания во время монтажа этот конструктивный ряд имеет место под ключ с обеих сторон цапфы.

Уплотнения

Направляющие ролики с цапфой ZL2 и ZL52 имеют контактные уплотнения со стороны цапфы и дополнительное обозначение DRS. Противоположная сторона может быть защищена прилагаемой пластмассовой крышкой.

Конструктивный ряд KR52 имеет контактные уплотнения с двух сторон и дополнительное обозначение 2RS.

Направляющие ролики с цапфой ZLE52 с двух сторон оснащены защитными шайбами и имеют дополнительное обозначение 22.

Смазывание

Направляющие ролики с цапфой заполнены консистентной смазкой на основе комплексного литиевого загустителя согласно GA13. Ролики ZLE52 могут смазываться через цапфу.

Направляющие ролики с оболочкой из пластмассы

Направляющие ролики KLRU и KLRZ состоят из однорядных радиальных шарикоподшипников с термоусаженным наружным кольцом из полиамида (РА). Полиамид выдерживает более высокие контактные напряжения, чем эластомер и относительно стоек к истиранию.

Такие ролики монтируются на ось и применяются в тех случаях, когда имеют место низкие нагрузки и особые требования к уровню шума.

Профиль образующей поверхности наружного кольца

Направляющие ролики KLRU имеют выпуклую образующую поверхность наружного кольца. Радиус профиля приведен в таблице размеров.

Конструктивный ряд KLRZ производится с цилиндрической образующей поверхностью.

Максимальная радиальная нагрузка



Максимальная радиальная нагрузка определяется допустимым контактным напряжением.

Превышать значение $F_{r per}$ не допускается.

Уплотнения

Направляющие ролики с двух сторон оснащены бесконтактными (дополнительное обозначение 2Z) или контактными (дополнительное обозначение 2RSR) уплотнениями.

Смазывание

Они заполнены литиевой консистентной смазкой согласно GA13 и повторно не смызываются.



Рабочая температура

Направляющие ролики предназначены для рабочих температур от −20 °C до +120 °C, ограниченных термическими характеристиками консистентной смазки, материала сепаратора и материала уплотнений. Следует учитывать данные касательно температур эксплуатации, приведенные в главе «Смазывание», стр. 76.



Направляющие ролики с оболочкой из пластмассы KLRU и KLRZ предназначены для рабочих температур от -20 °C до +80 °C, ограниченных термическими характеристиками консистентной смазки, материала сепаратора, уплотнений и пластмассовой оболочки.

Дополнительные обозначения

Дополнительные обозначения поставляемых исполнений приведены в табл.

Поставляемые исполнения

| Дополнительное обозначение | Описание | Исполнение |
|-------------------------------|---|---------------------------|
| DRS | Контактное уплотнение со стороны цапфы | Стандартное |
| RR | Специальное антикоррозионное покрытие Corrotect® | Специальное, по заказу |
| Χ | Цилиндрическая образующая поверхность | Стандартное |
| 2RS | Контактные уплотнения с осевым прилеганием с двух сторон | |
| 2RSR | Контактные уплотнения с радиальным прилеганием с двух сторон | |
| 2Z | Защитные шайбы с двух сторон | |

Дальнейшая программа продукции

Компания Schaeffler поставляет также направляющие ролики LFR5 с наружным кольцом, имеющим профиль готической (стреловидной) арки.

Такие направляющие ролики предпочтительнее всего использовать для качения по цилиндрическим линейным направляющим или по сопряженным деталям с дорожками качения круглого профиля.

Рекомендации конструктору и обеспечение надежности



Для надежной и безотказной эксплуатации направляющих роликов непременно должны быть учтены данные разделов:

- особенности функционирования опорных роликов и роликов с цапфой, см. стр. 944;
- допустимая радиальная нагрузка при динамическом и при статическом нагружении, см. стр. 944;
- грузоподъемность и долговечность, см. стр. 944;
- срок службы, см. стр. 946;
- требуемая минимальная нагрузка, см. стр. 946;
- вращение под углом к направлению движения и с перекосом, см. стр. 947;
- частоты вращения, см. стр. 948;
- смазывание, см. стр. 950.

Сопрягаемая конструкция для направляющих роликов

Опорные поверхности для подшипников должны быть плоскими и перпендикулярными. Из-за контактных напряжений они не должны иметь размер меньше, чем d_2 , см. табл. размеров.

Направляющие ролики LR могут быть жестко закреплены в осевом направлении или фиксироваться такими стандартными элементами, как пружинные стопорные кольца.

Допуск оси

Внутреннее кольцо направляющих роликов, как правило, испытывает местное нагружение. Для обеспечения достаточной опоры и исключения посадочной коррозии, допуск оси выбирается h6.

Сопрягаемая конструкция для направляющих роликов с цапфой

Опорные поверхности для направляющих роликов должны быть плоскими и перпендикулярными. Из-за контактных напряжений они не должны иметь размер меньше, чем d_2 , см. табл. размеров.

Монтажная фаска установочного отверстия не должна быть больше $0.5 \times 45^{\circ}$.



Направляющие ролики с цапфой ZL и KR должны быть жестко зафиксированы в осевом направлении.

Опорная поверхность крепежной гайки должна иметь достаточную прочность. Момент затяжки М_А крепежной гайки должен быть выдержан в соответствие с данными табл. размеров. Только в случае соблюдения момента затяжки цапфа способна передавать допустимую радиальную нагрузку.

Если соблюсти момент затяжки гайки не представляется возможным, необходима прессовая посадка цапфы.

Допуск отверстия

Возможные допуски хвостовика и отверстия см. по табл.

Допуски хвостовика и отверстия

| Направляющие ролики | Допуск | |
|---------------------|-----------|------------------------------|
| Конструктивный ряд | Хвостовик | Отверстие (рекомендуется) |
| ZL2 | r6 | H7 |
| ZL52 | r6 | |
| KR52 | h7 | |
| ZLE52 | h9 | |



Монтаж

Направляющие ролики

При неблагоприятном расположении полей допусков направляющий ролик следует напрессовывать на ось с помощью монтажного пресса, рис. 1.

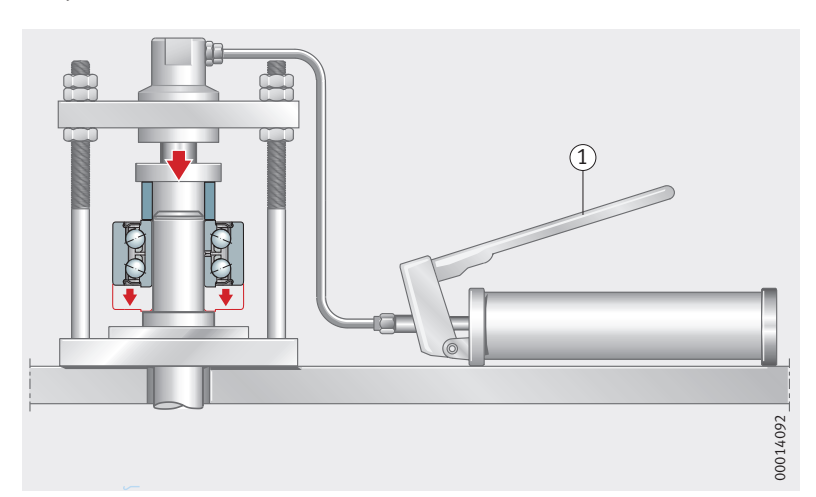
При этом внутреннее кольцо монтируется таким образом, чтобы усилие запрессовки равномерно распределялось по торцовой поверхности внутреннего кольца.



Следует категорически исключить передачу усилия запрессовки через тела качения.

Следует не допускать повреждения уплотнений.

Следует фиксировать направляющий ролик в осевом направлении.



LR50, LR52, LR53

(1) пресс для монтажа

Рисунок 1 Монтаж направляющего ролика при помощи пресса

Направляющие ролики с цапфой

Монтаж и демонтаж направляющих роликов с цапфой следует производить в соответствии с указаниями для направляющих роликов, рис. 2.



Следует строго соблюдать моменты затяжки, указанные в таблицах размеров. Только в этом случае обеспечивается передача допустимой радиальной нагрузки.

Следует применять винты и гайки класса прочности 8.8 или более высокого класса прочности.

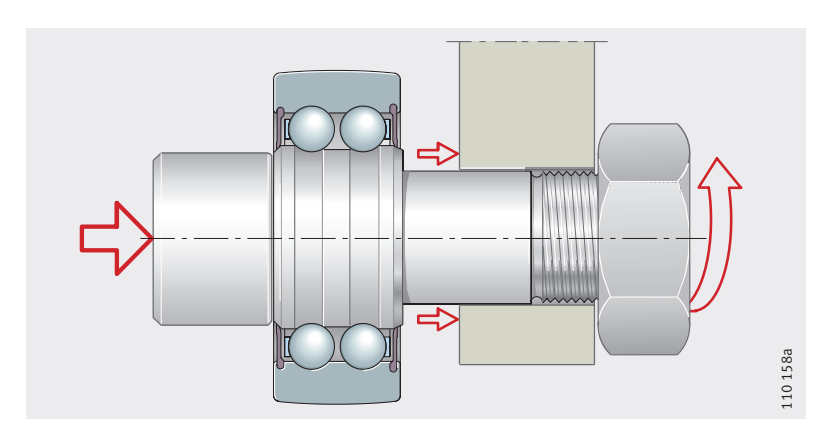


Рисунок 2 Монтаж направляющего ролика с цапфой

Точность

Допуски размеров и точности вращения соответствуют классу точности PN согласно DIN 620.

В отличие от предписаний DIN 620, допуск диаметра профилированного наружного кольца равен 0/-0.05 мм.

Допуск хвостовика направляющего ролика с цапфой и допуски отверстия приведены в табл., стр. 991.

Радиальный зазор

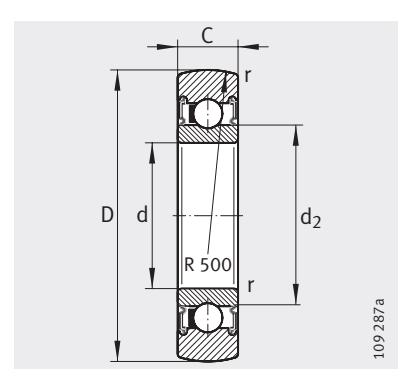
Радиальный зазор в подшипниках соответствует группе радиальных зазоров CN согласно DIN 620-4.

Радиальный зазор

| Отверс | гие | Радиа | альный | зазор | 1 | | | | | | |
|---------|-----|-----------|--------|-----------|-------|-----------|-------|-----------|-------|-----------|-------|
| d mm | | С2 мкм | | CN MKM | | С3 мкм | | С4 мкм | | С5 мкм | |
| свыше | до | мин. | макс. | мин. | макс. | мин. | макс. | мин. | макс. | мин. | макс. |
| 2,5 | 10 | 0 | 7 | 2 | 13 | 8 | 23 | 14 | 29 | 20 | 37 |
| 10 | 18 | 0 | 9 | 3 | 18 | 11 | 25 | 18 | 33 | 25 | 45 |
| 18 | 24 | 0 | 10 | 5 | 20 | 13 | 28 | 20 | 36 | 28 | 48 |
| 24 | 30 | 1 | 11 | 5 | 20 | 13 | 28 | 23 | 41 | 30 | 53 |
| 30 | 40 | 1 | 11 | 6 | 20 | 15 | 33 | 28 | 46 | 40 | 64 |
| 40 | 50 | 1 | 11 | 6 | 23 | 18 | 36 | 30 | 51 | 45 | 73 |
| 50 | 65 | 1 | 15 | 8 | 28 | 23 | 43 | 38 | 61 | 55 | 90 |



однорядные с уплотнениями

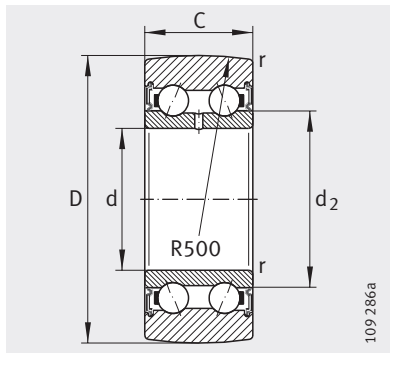


LR6..-2RSR, LR2..-2RSR, LR2..-X-2RSR¹⁾

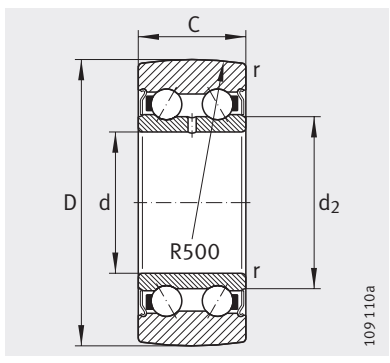
| Таблица размеров | • Размеры в | з мм | | | | | | | | |
|----------------------------|-------------|-------|----|----|----------------|------|--------------------------|---------------------------|----------------------------------|---------------------|
| Условное обозначение | Macca | Разме | ры | | | | Грузоподъ | емность | Нагрузка предела усталости | Частота вращения |
| | m | D | d | С | d ₂ | r | дин. С _{r w} | стат. С _{Orw} | C _{urw} | n _{D G} |
| | ≈Γ | | | | | мин. | Н | Н | Н | $MИH^{-1}$ |
| LR604-2RSR | 10 | 13 | 4 | 4 | 6,1 | 0,2 | 870 | 350 | 18,1 | 24 000 |
| LR605-2RSR | 10 | 16 | 5 | 5 | 7,5 | 0,2 | 1 220 | 510 | 25,5 | 23 000 |
| LR606-2RSR | 10 | 19 | 6 | 6 | 8,7 | 0,3 | 1 840 | 790 | 39,5 | 22 000 |
| LR607-2RSR | 10 | 22 | 7 | 6 | 9 | 0,3 | 2 1 2 0 | 880 | 42,5 | 20 000 |
| LR608-2RSR | 20 | 24 | 8 | 7 | 10 | 0,3 | 2 750 | 1 240 | 63 | 19 000 |
| LR6000-2RSR | 20 | 28 | 10 | 8 | 14,6 | 0,3 | 4 5 5 0 | 2 500 | 128 | 16 000 |
| LR6001-2RSR | 30 | 30 | 12 | 8 | 16,6 | 0,3 | 4 750 | 2800 | 144 | 15 000 |
| LR200-2RS | 50 | 32 | 10 | 9 | 16,6 | 0,6 | 4 850 | 2 3 1 0 | 117 | 13 000 |
| LR200-X-2RS ¹⁾ | 50 | 32 | 10 | 9 | 16,6 | 0,6 | 4 850 | 2 3 1 0 | 117 | 13 000 |
| LR201-2RSR | 50 | 35 | 12 | 10 | 18,3 | 0,6 | 5 600 | 2750 | 137 | 12 000 |
| LR201-X-2RSR ¹⁾ | 50 | 35 | 12 | 10 | 18,3 | 0,6 | 5 600 | 2750 | 137 | 12 000 |
| LR202-2RSR | 70 | 40 | 15 | 11 | 21 | 0,6 | 6 600 | 3 3 5 0 | 170 | 11 000 |
| LR202-X-2RSR ¹⁾ | 70 | 40 | 15 | 11 | 21 | 0,6 | 6 600 | 3 3 5 0 | 170 | 11 000 |
| LR203-2RSR | 110 | 47 | 17 | 12 | 24 | 0,6 | 8 500 | 4 450 | 223 | 9 000 |
| LR203-X-2RSR ¹⁾ | 110 | 47 | 17 | 12 | 24 | 0,6 | 8 500 | 4 450 | 223 | 9 000 |
| LR204-2RSR | 150 | 52 | 20 | 14 | 29 | 1 | 10600 | 5 700 | 295 | 8 000 |
| LR204-X-2RSR ¹⁾ | 150 | 52 | 20 | 14 | 29 | 1 | 10600 | 5 700 | 295 | 8 000 |
| LR205-2RSR | 230 | 62 | 25 | 15 | 33,5 | 1 | 12500 | 7 100 | 360 | 7 000 |
| LR205-X-2RSR ¹⁾ | 230 | 62 | 25 | 15 | 33,5 | 1 | 12500 | 7 100 | 360 | 7 000 |
| LR206-2RS | 330 | 72 | 30 | 16 | 37,4 | 1 | 16600 | 9700 | 500 | 5 500 |
| LR206-X-2RS ¹⁾ | 330 | 72 | 30 | 16 | 37,4 | 1 | 16600 | 9700 | 500 | 5 500 |
| LR207-2RS | 400 | 80 | 35 | 17 | 42,4 | 1,1 | 20 400 | 12 100 | 640 | 4 500 |
| LR207-X-2RS ¹⁾ | 400 | 80 | 35 | 17 | 42,4 | 1,1 | 20 400 | 12 100 | 640 | 4 500 |
| LR209-2RS | 500 | 90 | 45 | 19 | 53,2 | 1,1 | 22 400 | 13 700 | 730 | 3 600 |
| LR209-X-2RS ¹⁾ | 500 | 90 | 45 | 19 | 53,2 | 1,1 | 22 400 | 13 700 | 730 | 3 600 |

¹⁾ Направляющие ролики с цилиндрической образующей поверхностью.

двухрядные с уплотнениями







LR52..-2Z, LR52..-X-2Z¹⁾

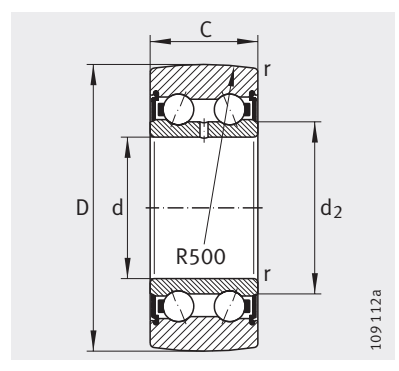
| Таблица размеров · Размеры в мм | | | | | | | | | | | | |
|--|-------|--------|----|------|----------------|------|--------------------------|----------------------------|----------------------------------|---------------------|--|--|
| Условное обозначение | Macca | Размер | Ы | | | | Грузоподъ | емность | Нагрузка предела усталости | Частота вращения | | |
| | m | D | d | С | d ₂ | r | дин. С _{г w} | стат. С _{Or w} | C _{ur w} | n _{D G} | | |
| | ≈Γ | | | | | мин. | Н | Н | Н | мин ⁻¹ | | |
| LR50/5-2RSR | 10 | 17 | 5 | 7 | 8,2 | 0,2 | 1 690 | 940 | 48,5 | 12 000 | | |
| LR50/6-2RSR | 20 | 19 | 6 | 9 | 9,3 | 0,3 | 2700 | 1 370 | 66 | 11 000 | | |
| LR50/7-2RSR | 20 | 22 | 7 | 10 | 10,5 | 0,3 | 3 300 | 1 700 | 81 | 10 000 | | |
| LR50/8-2RSR ²⁾ | 30 | 24 | 8 | 11 | 10,5 | 0,3 | 4 300 | 2 390 | 119 | 10 000 | | |
| LR5000-2RS | 30 | 28 | 10 | 12 | 13,5 | 0,3 | 4750 | 2 850 | 145 | 9 000 | | |
| LR5001-2RS | 30 | 30 | 12 | 12 | 15,5 | 0,3 | 5 100 | 3 100 | 161 | 8 500 | | |
| LR5200-2Z | 70 | 32 | 10 | 14 | 15,4 | 0,6 | 6 8 0 0 | 4 100 | 208 | 11 000 | | |
| LR5200-X-2Z ¹⁾ | 70 | 32 | 10 | 14 | 15,4 | 0,6 | 6 800 | 4 100 | 208 | 11 000 | | |
| LR5200-2RS | 70 | 32 | 10 | 14 | 15,4 | 0,6 | 6 800 | 4 100 | 208 | 8 000 | | |
| LR5002-2RS | 50 | 35 | 15 | 13 | 20,4 | 0,3 | 6 500 | 4 150 | 217 | 7 000 | | |
| LR5201-2Z | 80 | 35 | 12 | 15,9 | 17,1 | 0,6 | 8 700 | 5 200 | 260 | 10 000 | | |
| LR5201-X-2Z ¹⁾ | 80 | 35 | 12 | 15,9 | 17,1 | 0,6 | 8 700 | 5 200 | 260 | 10 000 | | |
| LR5201-2RS | 80 | 35 | 12 | 15,9 | 17,1 | 0,6 | 8 700 | 5 200 | 260 | 7 500 | | |
| LR5003-2RS | 70 | 40 | 17 | 14 | 21,6 | 0,3 | 7 800 | 5 300 | 270 | 6 000 | | |
| LR5202-2Z | 110 | 40 | 15 | 15,9 | 20 | 0,6 | 10 000 | 6 300 | 320 | 10 000 | | |
| LR5202-X-2Z ¹⁾ | 110 | 40 | 15 | 15,9 | 20 | 0,6 | 10 000 | 6 300 | 320 | 10 000 | | |
| LR5202-2RS | 110 | 40 | 15 | 15,9 | 20 | 0,6 | 10 000 | 6 300 | 320 | 7 000 | | |

 $[\]overline{\ \ }^{1)}$ $\overline{\ \ }^{1)}$ Направляющие ролики с цилиндрической образующей поверхностью.

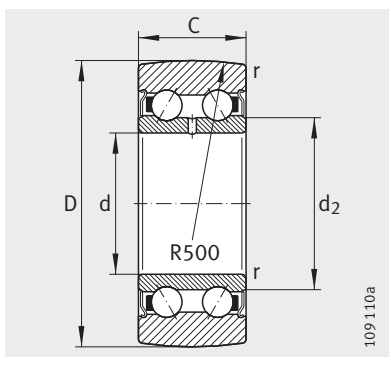


²⁾ Без смазочного отверстия.

двухрядные с уплотнениями



LR50..-2RS, LR52..-2RS, LR53..-2RS

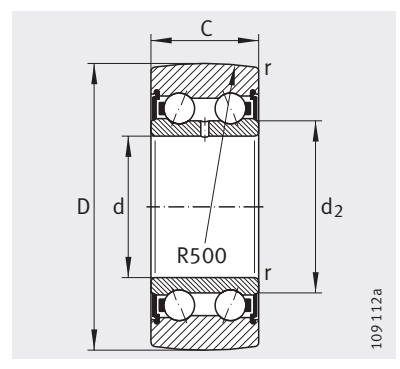


LR52..-2Z, LR53..-2Z, LR52..-X-2Z¹⁾

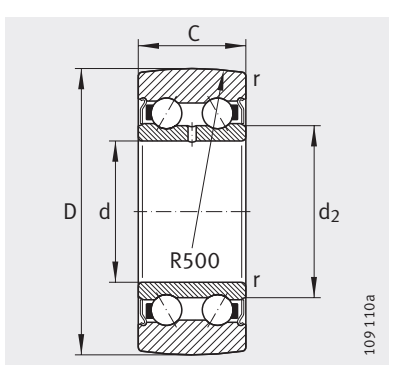
| Таблица размеров | Габлица размеров (продолжение) · Размеры в мм | | | | | | | | | | | | | |
|---------------------------|---|-------|----|------|----------------|------|--------------------------|----------------------------|----------------------------------|---------------------|--|--|--|--|
| Условное обозначение | Macca | Разме | ЭЫ | | | | Грузоподъег | МНОСТЬ | Нагрузка предела усталости | Частота вращения | | | | |
| | m | D | d | С | d ₂ | r | дин. С _{г w} | стат. С _{0r w} | C _{urw} | n _{D G} | | | | |
| | ≈г | | | | | мин. | Н | Н | Н | $MИH^{-1}$ | | | | |
| LR5004-2RS | 120 | 47 | 20 | 16 | 25,2 | 0,6 | 11700 | 7700 | 400 | 5 500 | | | | |
| LR5203-2Z | 170 | 47 | 17 | 17,5 | 22,5 | 0,6 | 12800 | 8 400 | 420 | 7 500 | | | | |
| LR5203-X-2Z ¹⁾ | 170 | 47 | 17 | 17,5 | 22,5 | 0,6 | 12800 | 8 400 | 420 | 7 500 | | | | |
| LR5203-2RS | 170 | 47 | 17 | 17,5 | 22,5 | 0,6 | 12800 | 8 400 | 420 | 5 500 | | | | |
| LR5005-2RS | 150 | 52 | 25 | 16 | 29,8 | 0,6 | 11800 | 8 200 | 440 | 4 700 | | | | |
| LR5204-2Z | 230 | 52 | 20 | 20,6 | 26,5 | 1 | 16100 | 10 700 | 550 | 7 000 | | | | |
| LR5204-X-2Z ¹⁾ | 230 | 52 | 20 | 20,6 | 26,5 | 1 | 16100 | 10 700 | 550 | 7 000 | | | | |
| LR5204-2RS | 230 | 52 | 20 | 20,6 | 26,5 | 1 | 16100 | 10 700 | 550 | 5 000 | | | | |
| LR5303-2RS | 210 | 52 | 17 | 22,2 | 23,5 | 1 | 17 500 | 11 300 | 560 | 4 700 | | | | |
| LR5006-2RS | 250 | 62 | 30 | 19 | 35,5 | 1 | 16100 | 11 900 | 630 | 4 000 | | | | |
| LR5205-2Z | 340 | 62 | 25 | 20,6 | 30,3 | 1 | 18800 | 13 200 | 670 | 6 500 | | | | |
| LR5205-X-2Z ¹⁾ | 340 | 62 | 25 | 20,6 | 30,3 | 1 | 18800 | 13 200 | 670 | 6 500 | | | | |
| LR5205-2RS | 340 | 62 | 25 | 20,6 | 30,3 | 1 | 18800 | 13 200 | 670 | 4 500 | | | | |
| LR5304-2Z | 340 | 62 | 20 | 22,2 | 29 | 1,1 | 21 500 | 14800 | 740 | 6 500 | | | | |
| LR5304-2RS | 340 | 62 | 20 | 22,2 | 29 | 1,1 | 21 500 | 14800 | 740 | 4 500 | | | | |
| LR5007-2RS | 300 | 68 | 35 | 20 | 41,7 | 1 | 17800 | 13 300 | 720 | 4 300 | | | | |

 $[\]overline{\ \ \ }^{1)}$ Направляющие ролики с цилиндрической образующей поверхностью.

двухрядные с уплотнениями



LR52..-2RS, LR53..-2RS



LR52..-2Z, LR53..-2Z, LR52..-X-2Z¹⁾

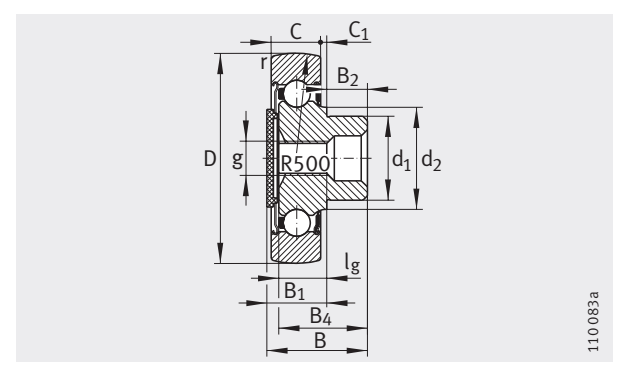
| Таблица размеро | Габлица размеров (продолжение) · Размеры в мм | | | | | | | | | | | | |
|---------------------------|---|-------|----|------|----------------|-----------|--------------------------|----------------------------|--------------------|----------------------------------|---------------------|--|--|
| Условное обозначение | Macca | Разме | ры | | | | Грузоподъ | емность | | Нагрузка предела усталости | Частота вращения | | |
| | m ≈Γ | D | d | С | d ₂ | r мин. | дин. С _{г w} | стат. С _{0r w} | F _{r per} | C _{ur w} | n _{D G} | | |
| LR5206-2Z | 510 | 72 | 30 | 23,8 | 37,4 | 1 | 25 000 | 18 000 | _ | 930 | 5 000 | | |
| LR5206-X-2Z ¹⁾ | 510 | 72 | 30 | 23,8 | 37,4 | 1 | 25 000 | 18 000 | _ | 930 | 5 000 | | |
| LR5206-2RS | 510 | 72 | 30 | 23,8 | 37,4 | 1 | 25 000 | 18 000 | _ | 930 | 3 500 | | |
| LR5305-2Z | 500 | 72 | 25 | 25,4 | 34,4 | 1,1 | 28 000 | 19 900 | _ | 1 000 | 5 500 | | |
| LR5305-2RS | 500 | 72 | 25 | 25,4 | 34,4 | 1,1 | 28 000 | 19 900 | _ | 1 000 | 3 900 | | |
| LR5207-2Z | 660 | 80 | 35 | 27 | 42,4 | 1,1 | 31 000 | 22 800 | _ | 1 200 | 3 900 | | |
| LR5207-X-2Z ¹⁾ | 660 | 80 | 35 | 27 | 42,4 | 1,1 | 31 000 | 22 800 | _ | 1 200 | 3 900 | | |
| LR5207-2RS | 660 | 80 | 35 | 27 | 42,4 | 1,1 | 31 000 | 22 800 | _ | 1 200 | 2 800 | | |
| LR5306-2Z | 670 | 80 | 30 | 30,2 | 41,4 | 1,1 | 35 500 | 25 500 | _ | 1 330 | 4 300 | | |
| LR5306-2RS | 670 | 80 | 30 | 30,2 | 41,4 | 1,1 | 35 500 | 25 500 | - | 1 330 | 3 100 | | |
| LR5208-2Z | 750 | 85 | 40 | 30,2 | 48,4 | 1,1 | 35 000 | 26 000 | 21 100 | 1 360 | 3 500 | | |
| LR5208-X-2Z ¹⁾ | 750 | 85 | 40 | 30,2 | 48,4 | 1,1 | 35 000 | 26 000 | 21 100 | 1 360 | 3 500 | | |
| LR5208-2RS | 750 | 85 | 40 | 30,2 | 48,4 | 1,1 | 35 000 | 26 000 | 21 100 | 1 360 | 2 500 | | |
| LR5307-2Z | 970 | 90 | 35 | 34,9 | 47,7 | 1,5 | 44 000 | 32 500 | - | 1 670 | 3 600 | | |
| LR5307-2RS | 970 | 90 | 35 | 34,9 | 47,7 | 1,5 | 44 000 | 32 500 | _ | 1 670 | 2 500 | | |
| LR5308-2Z | 1 200 | 100 | 40 | 36,5 | 52,4 | 1,5 | 54 000 | 40 500 | - | 2 100 | 3 300 | | |
| LR5308-2RS | 1 200 | 100 | 40 | 36,5 | 52,4 | 1,5 | 54 000 | 40 500 | - | 2 100 | 2 300 | | |

 $[\]overline{\ \ }$ Направляющие ролики с цилиндрической образующей поверхностью.



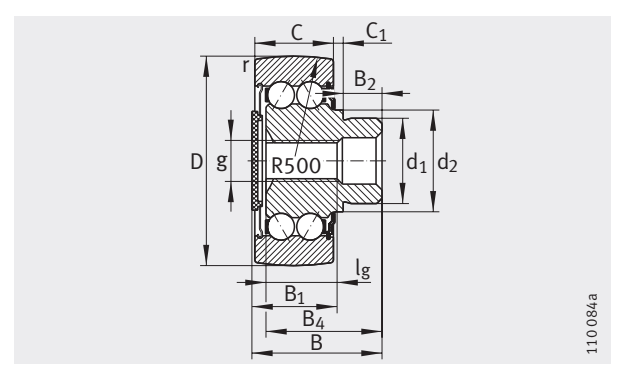
Направляющие ролики с цапфой

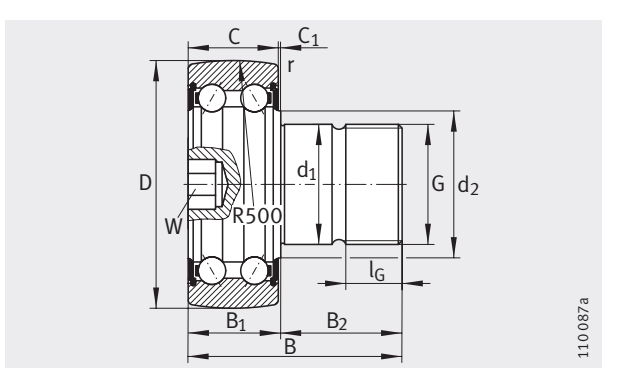
с уплотнениями



ZL2..-DRS

| Таблица размеров · Размеры в мм | | | | | | | | | | | | |
|--|-------|---------|----------------|------|----------------|----------------|----------------|------|----------------|----------------|------|---------|
| Условное обозначение | Macca | Размеры | | | | | | | | | | |
| | m | D | d ₁ | В | B ₁ | B ₂ | B ₄ | С | C ₁ | d ₂ | r | G |
| | ≈Γ | | | | макс. | | | | | | мин. | |
| ZL5201-DRS | 90 | 35 | 14 | 33,2 | 19,5 | 14 | 31 | 15,9 | 2,6 | 17,1 | 0,6 | _ |
| KR5201-2RS | 120 | 35 | 12 | 49,2 | 17 | 32,5 | _ | 15,9 | 0,8 | 17,1 | 0,6 | M12X1,5 |
| ZL202-DRS | 80 | 40 | 16 | 23,8 | 14 | 10 | 21,5 | 11 | 2 | 20 | 0,6 | - |
| ZL5202-DRS | 120 | 40 | 16 | 36,2 | 20,5 | 16 | 34 | 15,9 | 3,5 | 20 | 0,6 | - |
| KR5202-2RS | 190 | 40 | 16 | 53,2 | 17 | 36,5 | _ | 15,9 | 0,8 | 20 | 0,6 | M16X1,5 |
| ZL203-DRS | 120 | 47 | 18 | 26,5 | 14,5 | 12 | 24,5 | 12 | 2 | 22,9 | 0,6 | - |
| ZL5203-DRS | 190 | 47 | 18 | 39,5 | 21,5 | 18 | 37,5 | 17,5 | 3,5 | 22,9 | 0,6 | _ |
| KR5203-2RS | 290 | 47 | 18 | 58,8 | 18,5 | 40,5 | - | 17,5 | 0,8 | 22,9 | 0,6 | M18X1,5 |
| ZL204-DRS | 170 | 52 | 20 | 30,7 | 17 | 14 | 28,5 | 14 | 2 | 26,8 | 1 | - |
| ZL5204-DRS | 250 | 52 | 20 | 45,3 | 25,5 | 20 | 43 | 20,6 | 4 | 26,8 | 1 | - |
| KR5204-2RS | 380 | 52 | 20 | 63,6 | 22,5 | 41,5 | _ | 20,6 | 1,5 | 26,8 | 1 | M20X1,5 |
| ZL205-DRS | 250 | 62 | 25 | 33,8 | 18 | 16 | 31 | 15 | 2 | 30,3 | 1 | - |
| ZL5205-DRS | 380 | 62 | 25 | 50,4 | 25,5 | 25 | 47,5 | 20,6 | 4 | 30,3 | 1 | _ |
| KR5205-2RS | 580 | 62 | 24 | 70,9 | 21,5 | 49,5 | _ | 20,6 | 0,8 | 30,3 | 1 | M24X1,5 |
| ZL5206-DRS | 550 | 72 | 30 | 59 | 29 | 30 | 56,5 | 23,8 | 4,5 | 37,3 | 1 | - |
| KR5206-2RS | 800 | 72 | 24 | 74,1 | 25 | 49,5 | _ | 23,8 | 0,8 | 37,3 | 1 | M24X1,5 |
| ZL5207-DRS | 710 | 80 | 35 | 69,2 | 33,5 | 36 | 66,5 | 27 | 5,5 | 42,4 | 1,1 | - |
| KR5207-2RS | 1 200 | 80 | 30 | 91 | 28 | 63 | - | 27 | 1 | 42,4 | 1,1 | M30X1,5 |





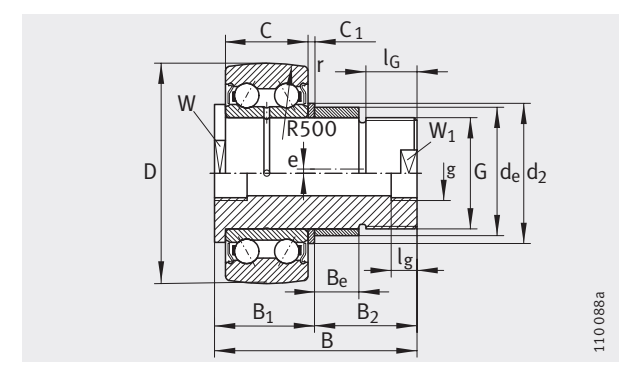
ZL52..-DRS KR52..-2RS

| | | | | Момент затяжки | Грузоподъемность | | Нагрузка предела усталости | Частота вращения | | | | |
|---------|-----|----|----|----------------|--------------------------|----------------------------|----------------------------------|---------------------|--|--|--|--|
| l_{G} | g | lg | W | M _A | дин. С _{г w} | стат. С _{0r w} | C _{ur w} | n _{D G} | | | | |
| | | | | Нм | Н | Н | Н | мин ⁻¹ | | | | |
| _ | M8 | 14 | - | _ | 8700 | 5 200 | 260 | 7 500 | | | | |
| 17 | - | _ | 6 | 45 | 8 700 | 5 200 | 260 | 7 500 | | | | |
| _ | M8 | 15 | _ | _ | 6600 | 3 350 | 170 | 8 500 | | | | |
| - | M8 | 15 | - | _ | 10 000 | 6 3 0 0 | 320 | 7 000 | | | | |
| 19 | - | _ | 8 | 70 | 10000 | 6 3 0 0 | 320 | 7 000 | | | | |
| - | M8 | 16 | - | - | 8 500 | 4 450 | 223 | 6 500 | | | | |
| _ | M8 | 15 | _ | _ | 12800 | 8 400 | 420 | 5 500 | | | | |
| 21 | - | _ | 8 | 115 | 12800 | 8 400 | 420 | 5 500 | | | | |
| _ | M10 | 18 | _ | _ | 10600 | 5 700 | 295 | 6 000 | | | | |
| - | M10 | 18 | - | _ | 16100 | 10 700 | 550 | 5 000 | | | | |
| 21 | - | _ | 10 | 160 | 16100 | 10 700 | 550 | 5 000 | | | | |
| - | M10 | 19 | _ | - | 12500 | 7 100 | 360 | 5 500 | | | | |
| _ | M10 | 18 | _ | _ | 18 800 | 13 200 | 670 | 4 500 | | | | |
| 25 | - | _ | 10 | 290 | 18800 | 13 200 | 670 | 4 500 | | | | |
| - | M16 | 20 | _ | _ | 25 000 | 18 000 | 930 | 3 500 | | | | |
| 25 | - | _ | 10 | 290 | 25 000 | 18 000 | 930 | 3 500 | | | | |
| - | M16 | 20 | _ | - | 31 000 | 22 800 | 1 200 | 2 800 | | | | |
| 32 | - | _ | 12 | 600 | 31 000 | 22 800 | 1 200 | 2 800 | | | | |



Направляющие ролики с цапфой

с эксцентриком с уплотнениями



ZLE52..-2Z

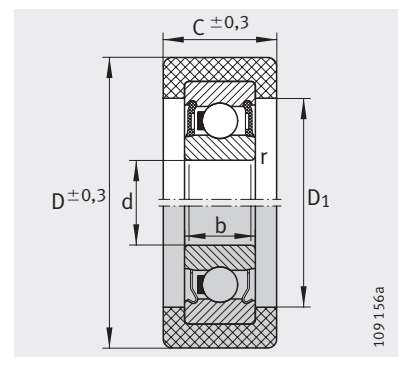
| Таблица размеро | Таблица размеров · Размеры в мм | | | | | | | | | | | | |
|-------------------------|--|---------|----------------|------|----------------|----------------|------|----------------|----------------|------|----|----------------|--|
| Условное обозначение | Macca | Размері | азмеры | | | | | | | | | | |
| | m | D | d _e | В | B ₁ | B ₂ | С | C ₁ | d ₂ | r | W | W ₁ | |
| | ≈Γ | | | | макс. | | | | | мин. | | | |
| ZLE5201-2Z | 250 | 35 | 18 | 65,5 | 20,5 | 45 | 15,9 | 2 | 25 | 0,6 | 15 | 9 | |
| ZLE5202-2Z | 350 | 40 | 22 | 66,5 | 21,5 | 45 | 15,9 | 2,5 | 27 | 0,6 | 17 | 10 | |
| ZLE5204-2Z | 460 | 52 | 24 | 76 | 26 | 50 | 20,6 | 2,5 | 30 | 1 | 22 | 17 | |
| ZLE5205-2Z | 640 | 62 | 24 | 88 | 32 | 56 | 20,6 | 8 | 30 | 1 | 22 | 17 | |
| ZLE5207-2Z | 1 300 | 80 | 35 | 99 | 35 | 64 | 27 | 3 | 45 | 1,1 | 40 | 27 | |
| | | | | | | | | | | | | | |

| | | | | | | Момент затяжки | Грузоподъе | МНОСТЬ | Нагрузка предела усталости | Частота вращения |
|-----|----------------|------|----|---------|----------------|----------------|--------------------------|----------------------------|----------------------------------|---------------------|
| e | B _e | g | lg | G | l _G | M _A | дин. С _{г w} | стат. С _{0r w} | C _{urw} | $n_{D\ G}$ |
| | | | | | мин. | Нм | Н | Н | Н | $MИH^{-1}$ |
| 1 | 18 | M6 | 6 | M12X1,5 | 24 | 30 | 8 700 | 5 200 | 260 | 10 000 |
| 1 | 16 | M8X1 | 8 | M14 | 25 | 40 | 10 000 | 6300 | 320 | 10 000 |
| 1 | 18 | M8X1 | 8 | M20X1,5 | 29 | 150 | 16 100 | 10700 | 550 | 7 000 |
| 1 | 25 | M8X1 | 8 | M20X1,5 | 28 | 150 | 18 800 | 13 200 | 670 | 6 500 |
| 1,5 | 29 | M8X1 | 8 | M30X1,5 | 32 | 540 | 31 000 | 22 800 | 1 200 | 3 900 |

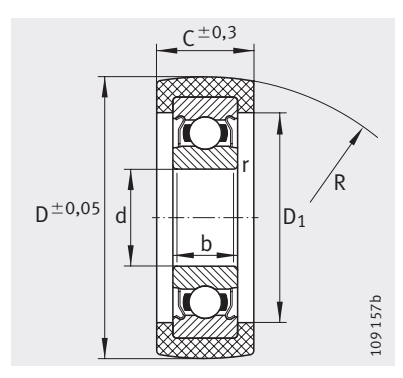


Направляющие ролики

с оболочкой из пластмассы с уплотнениями





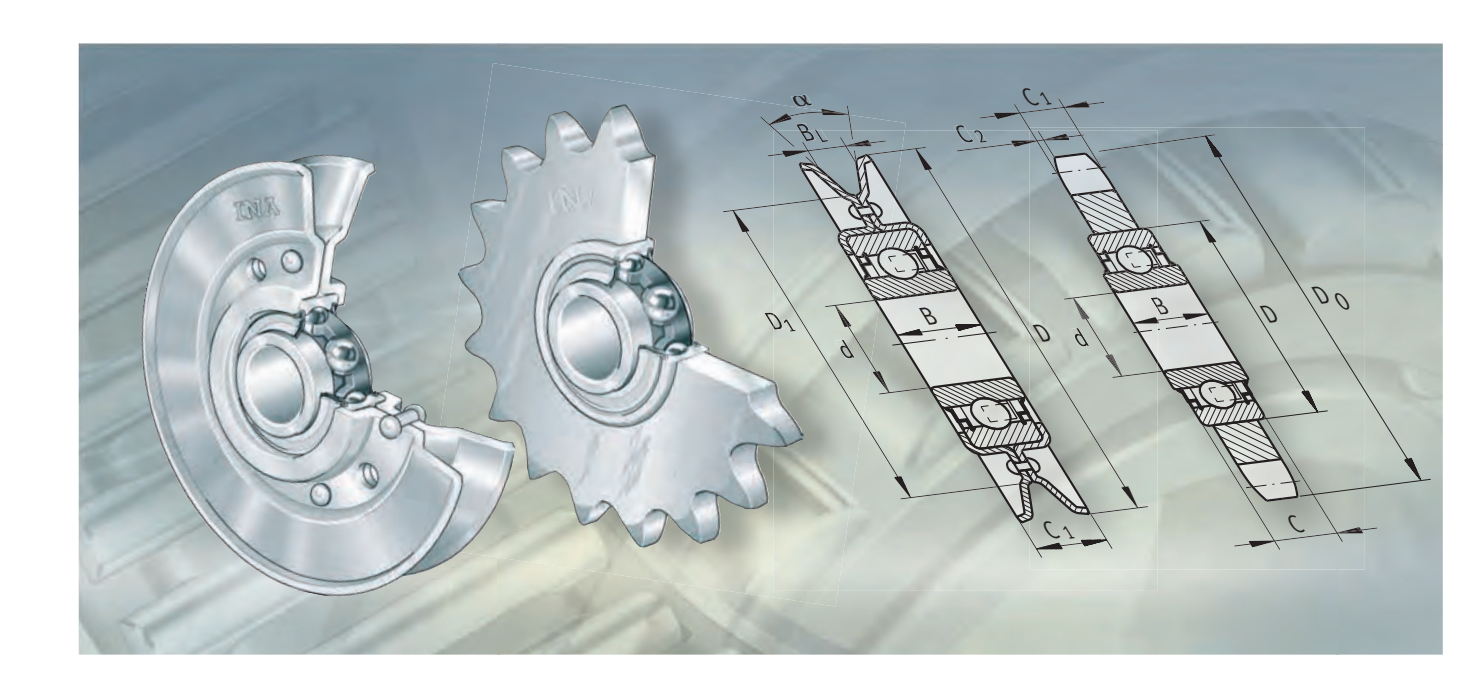


KLRU..-2Z

| Таблица размеров · Размеры в мм | | | | | | | | | | | | | |
|--|-------|------|-----|----|----|----------------|-----|------|--|--|------------------------|--------------------------|--|
| Условное обозначение | Macca | Разм | еры | | | | | | Грузоподъ- емность направляющих роликов ¹⁾ | Встроенный радиальный шарико- подшипник | . ' ' ' ' ' ' ' | | |
| | m | D | d | С | b | D ₁ | R | r | F _{r per} | | дин. С _r | стат. С _{0r} | |
| | ≈Γ | | | | | | | мин. | Н | | Н | Н | |
| KLRU08X28X11-2Z | 16 | 27,5 | 8 | 11 | 7 | 20 | 500 | 0,3 | 250 | 608-2Z | 3 200 | 1 250 | |
| KLRZ10X30X10-2Z | 50 | 30 | 10 | 10 | 8 | 24 | _ | 0,3 | 250 | 6000-2Z | 4 600 | 1 970 | |
| KLRU12X35X12-2Z | 30 | 34,8 | 12 | 12 | 8 | 26 | 300 | 0,3 | 340 | 6001-2Z | 5 100 | 2 3 7 0 | |
| KLRZ12X41X16-2RSR | 50 | 41 | 12 | 16 | 10 | 29,5 | _ | 0,6 | 500 | 6201-2RSR | 7 100 | 3 100 | |
| KLRU12X47X20-2Z | 45 | 46,8 | 12 | 20 | 10 | 28,5 | 300 | 0,6 | 500 | 6201-2Z | 7 100 | 3 100 | |
| KLRU15X47X20-2Z | 50 | 46,8 | 15 | 20 | 11 | 31,5 | 300 | 0,6 | 500 | 6202-2Z | 7 700 | 3 500 | |

 $[\]overline{\ }$ Действительно в случае применения в качестве направляющего ролика. Значения действительны для рабочих температур не более +40 °C.





Звездочки натяжителей цепи Ролики натяжителей ремня

Общий обзор Звездочки натяжителей цепи Ролики натяжителей ремня

Звездочки натяжителей цепи

Звездочка из стали или металлокерамики

KSR..-L0



KSR..-B0



Звездочка из пластмассы

KSR..-L0..-22

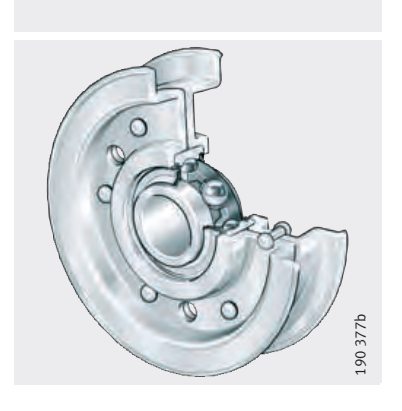


Ролики натяжителей ремня

RSRA..-LO, RSRA..-KO



RSRB..-L0



RSRD..-L0



Звездочки натяжителей цепи Ролики натяжителей ремня

Основные свойства Звездочки натяжителей цепи

Звездочки INA натяжителей цепи используются в качестве направляющих и обводных элементов для втулочных и роликовых цепей. Они компенсируют возникающее в процессе эксплуатации удлинение цепи и улучшают плавность работы механизма при высоких нагрузках и скоростях.

Готовые к монтажу узлы состоят из звездочек и радиальных шарикоподшипников или закрепляемых подшипников. Звездочки изготавливаются из стали повышенной прочности, металлокерамики или пластмассы (полиамид). Звездочки из пластмассы обеспечивают повышенную плавность хода и низкий уровень шума. Поскольку внутреннее кольцо радиального шарикоподшипника расширено в обе стороны, дополнительные дистанционные кольца не требуются.

У конструктивного ряда KSR..-ВО внутреннее кольцо фиксируется на валу с помощью закрепительного кольца. Отверстия подшипников данного ряда имеют допуск «в плюс». Таким образом, при средних нагрузках и скоростях могут быть использованы необработанные валы с допуском ISO до h9.

Уплотнения

Радиальные шарикоподшипники уплотнены с двух сторон.

Смазывание

Они заполнены литиевой консистентной смазкой по GA13 и не требуют обслуживания.

Ролики натяжителей ремня

Ролики натяжителей ремня применяются для натяжения ремней в приводах и в качестве обводных роликов. Они:

- увеличивают угол обхвата шкива, способствуя передаче большей мощности или позволяя уменьшить размеры деталей;
- компенсируют удлинение ремня в процессе работы;
- позволяют сократить расстояние между осями;
- уменьшают износ ременной передачи.

Готовые к монтажу узлы состоят из штампованных профилированных стальных дисков, соединенных между собой заклепками, и радиальных шарикоподшипников. Более крупные диски дополнительно свариваются. Фаска в профиле ролика исключает повреждение ремня. Благодаря конструкции из металлического листа, дополнительные вращающиеся массы и дисбаланс невелики.

Конструктивный тип А предназначен для клиновых ремней, конструктивный тип В – для плоских, клиновых и круглых ремней, конструктивный тип D – для ремней круглого сечения, стальных и пеньковых тросов.

Уплотнения

Радиальные шарикоподшипники уплотнены с двух сторон.

Смазывание

Они заполнены литиевой консистентной смазкой по GA13 и не требуют обслуживания.

Рабочая температура

Звездочки натяжителей цепи из стали или металлокерамики предназначены для рабочих температур от −20 °C до +120 °C.

Звездочки натяжителей цепи из пластмассы предназначены для рабочих температур от −20 °C до +80 °C.

Ролики натяжителей ремня предназначены для рабочих температур от −20 °C до +120 °C, ограниченных свойствами консистентной смазки и материала уплотнений.



Звездочки натяжителей цепи Ролики натяжителей ремня

Рекомендации конструктору и обеспечение надежности Звездочки натяжителей цепи

Звездочки натяжителей цепи следует располагать только у ненагруженной ветви цепи, рис. 1.

Угол обхвата следует выбирать таким, чтобы в зацеплении одновременно находилось не менее трех зубьев звездочки.

При смазывании консистентными смазками следует использовать хорошо прилипающую смазку.

Звездочки натяжителей цепи с отверстием d = 16 мм исполнены с допусками для закрепления винтами М16.



Минимальное усилие распрессовки радиального шарикоподшипника составляет 700 Н. В процессе эксплуатации превышать это значение силы не допускается.

Натяжение ненагруженной ветви цепи не должно быть менее 1% силы тяги в ведущей ветви.

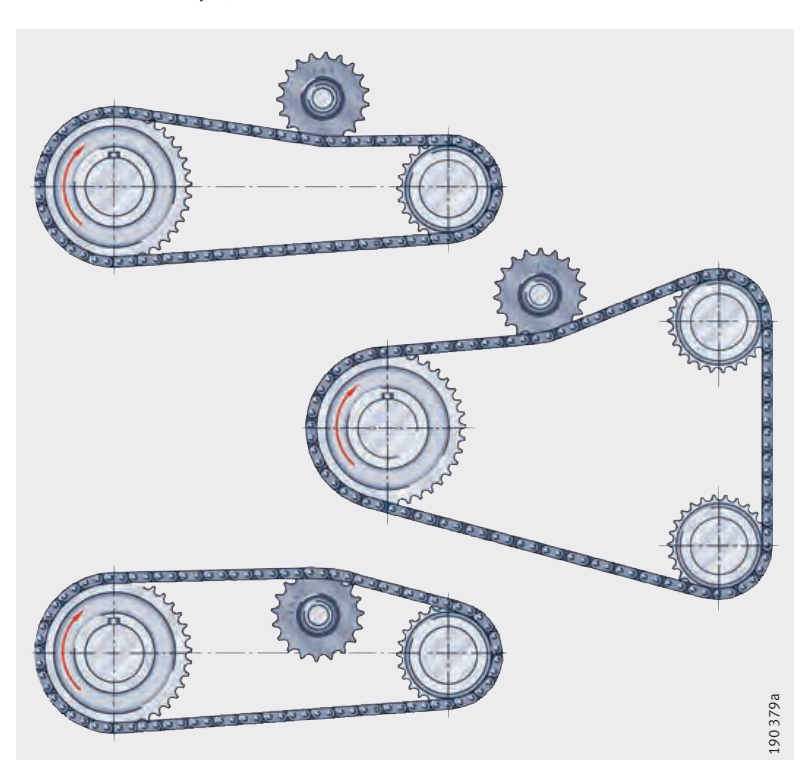


Рисунок 1 Расположение на ненагруженной ветви цепи

Индексы материалов

Материалы звездочек обозначаются с помощью индексов материала, см. табл.

Обозначение материалов

| Индекс | Материал | | Твердость |
|--------|-----------------|-------|---------------------------------------|
| 08 | Металлокерамика | C 10 | HB 50±10 |
| 09 | Металлокерамика | D 39 | HB 105±15 |
| 15 | Сталь | St 52 | - |
| 16 | Сталь | C 45 | HRC 50±5 поверхность зуба закалена |
| 22 | Пластмасса | PA | - |

Ролики натяжителей ремня

Ролики натяжителей ремня следует располагать только на ненагруженной ветви ременной передачи, рис. 2.

При нормальных нагрузках достаточно легкой посадки с осевой фиксацией для внутреннего кольца.

Если предусмотрено применение ролика для натяжения с внешней стороны клинового ремня, следует проверить пригодность клинового ремня для такого способа натяжения.



Превышать допустимую скорость ремня, равную 40 м/с, не разрешается.

Для каждого случая монтажа следует проверить допустимое натяжение ветви ремня и долговечность шарикоподшипника.

Усилие натяжения

Для силы натяжения S_{ν} между валами действительно приближенное ориентировочное значение:

- для плоских ремней $S_v =$ от 2 до $3 \times F_{II}$ (окружная сила);
- для клиновых ремней $S_v = \text{ от 1,7 до 2,5} \times F_u$ (окружная сила).

Проверка натяжения ремня

Измерить соотношение частот вращения без нагрузки при низкой частоте вращения. Затем измерить соотношение частот вращения при рабочей частоте вращения и рабочей нагрузке. Если обусловленная проскальзыванием ремня разница составит > 2%, следует натянуть ремень.

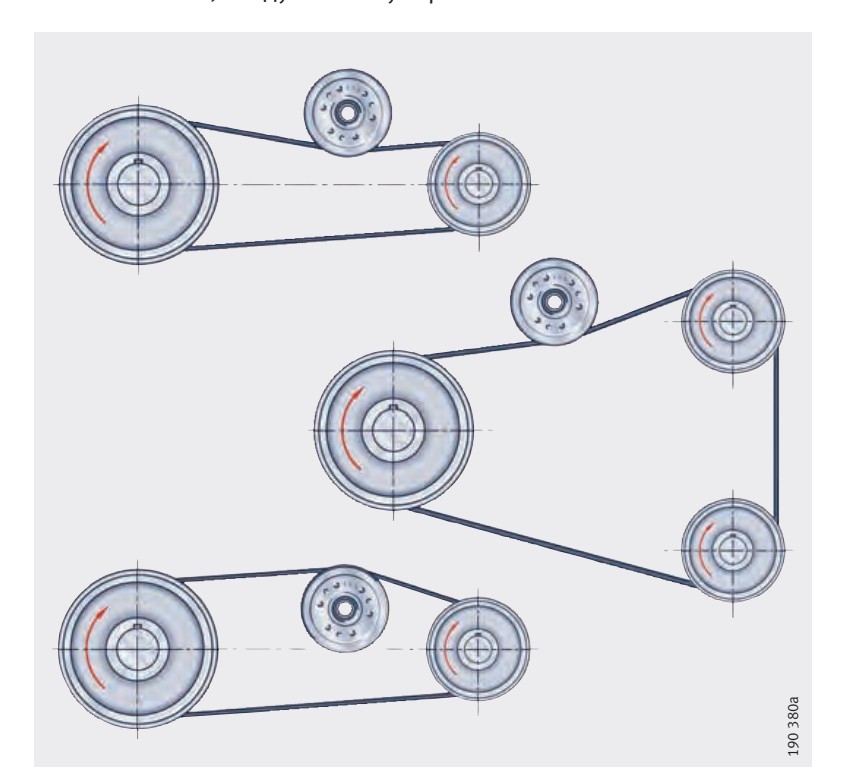


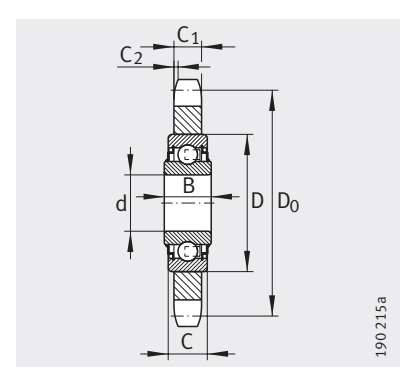


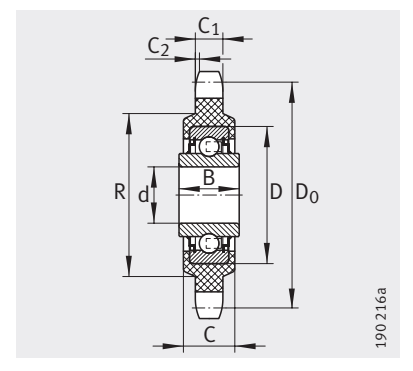
Рисунок 2 Расположение на ненагруженной ветви ремня

Точность

Для роликов натяжителей клиновых ремней, вследствие меньшего обхвата, угол желоба несколько больше, чем рекомендовано DIN 2 211 и DIN 2 217.

Звездочки натяжителей цепи





KSR..-L0

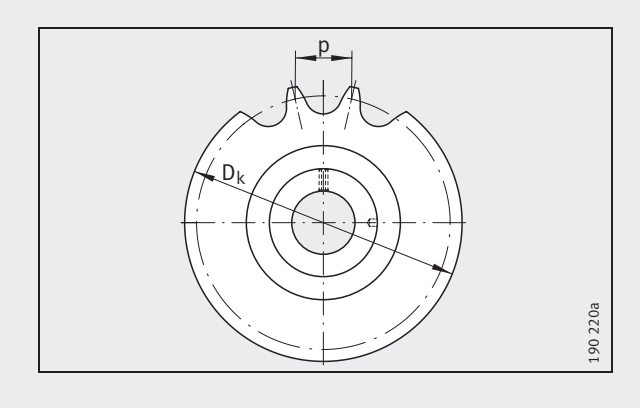
KSR..-L0..-22

| Таблиц | Таблица размеров · Размеры в мм | | | | | | | | | | | | | |
|-----------------------------|--|---|-------------|-----------------|----------------|----------------|----------------|--------------------|----|------|------|----|-----------------------------------|-------------|
| Зубчат зацепл | | Условное обозначение ³⁾⁵⁾ | Macca | Размер | ЭЫ | | | | | | | | Для цепи, соответ- ствующей | |
| p ¹⁾ | z ²⁾ | | m | d ⁴⁾ | C ₁ | D ₀ | D _k | C _{2 min} | D | В | С | R | DIN 8187 | DIN 8188 |
| 3/8 | 20 | KSR16-L0-06-10-20-08 | ≈кг 0,14 | 16,2 | 5,2 | 60,9 | 65 | 0,8 | 40 | 18,3 | 12 | _ | * | _ |
| 1/ ₂ | 16 | KSR16-L0-08-10-16-08 | 0,14 | 16,2 | 7 | 65,1 | 70,5 | 1,1 | 40 | 18,3 | 12 | | * | _ |
| /2 | 10 | KSR16-L0-08-10-16-08 | 0,14 | 16,2 | 7 | 65,1 | 70,5 | 1,1 | 40 | 18.3 | 12 | _ | * | * |
| | | KSR16-L0-08-10-16-22 | 0,14 | 16,2 | 7 | 65,1 | 70,5 | 1,1 | 40 | 18,3 | 18,1 | 48 | * | * |
| | 18 | KSR16-L0-08-10-18-08 | 0,21 | 16,2 | 7 | 73,1 | 78,6 | 1,1 | 40 | 18,3 | 12 | _ | * | _ |
| | | KSR16-L0-08-10-18-09 | 0,21 | 16,2 | 7 | 73,1 | 78,6 | 1,1 | 40 | 18,3 | 12 | _ | * | * |
| | | KSR16-L0-08-10-18-16 | 0,21 | 16,2 | 7 | 73,1 | 78,6 | 1,1 | 40 | 18,3 | 12 | _ | * | * |
| ⁵ / ₈ | 14 | KSR16-L0-10-10-14-08 | 0,21 | 16,2 | 8,7 | 71,3 | 78 | 1,3 | 40 | 18,3 | 12 | _ | * | * |
| , 0 | 17 | KSR16-L0-10-10-17-08 | 0,32 | 16,2 | 8,7 | 86,4 | 93,1 | 1,3 | 40 | 18,3 | 12 | _ | * | * |
| | | KSR16-L0-10-10-17-09 | 0,32 | 16,2 | 8,7 | 86,4 | 93,1 | 1,3 | 40 | 18,3 | 12 | _ | * | * |
| | | KSR16-L0-10-10-17-22 | 0,26 | 16,2 | 8,7 | 86,4 | 93,1 | 1,3 | 40 | 18,3 | 18 | 48 | * | * |
| 3/4 | 13 | KSR16-L0-12-10-13-08 | 0,33 | 16,2 | 10,5 | 79,6 | 87 | 1,5 | 40 | 18,3 | 12 | _ | * | * |
| · | | KSR16-L0-12-10-13-16 | 0,33 | 16,2 | 10,5 | 79,6 | 87 | 1,5 | 40 | 18,3 | 12 | _ | * | * |
| | 15 | KSR16-L0-12-10-15-08 | 0,42 | 16,2 | 10,5 | 91,6 | 99,2 | 1,5 | 40 | 18,3 | 12 | _ | * | * |
| | | KSR16-L0-12-10-15-09 | 0,42 | 16,2 | 10,5 | 91,6 | 99,2 | 1,5 | 40 | 18,3 | 12 | _ | * | _ |
| | | KSR16-L0-12-10-15-22 | 0,36 | 16,2 | 10,5 | 91,6 | 99,2 | 1,5 | 40 | 18,3 | 18 | 48 | * | * |
| | 17 | KSR16-L0-12-10-17-15 | 0,58 | 16,2 | 10,5 | 103,7 | 111,4 | 1,5 | 40 | 18,3 | 12 | _ | * | * |
| | | KSR16-L0-12-10-17-16 | 0,58 | 16,2 | 10,5 | 103,7 | 111,4 | 1,5 | 40 | 18,3 | 12 | - | * | * |
| 1 | 12 | KSR20-L0-16-10-12-15 | 0,7 | 20 | 15,3 | 98,1 | 107,6 | 2 | 47 | 17,7 | 14 | _ | * | * |
| | | KSR20-L0-16-10-12-16 | 0,7 | 20 | 15,3 | 98,1 | 107,6 | 2 | 47 | 17,7 | 14 | _ | * | - |
| 11/4 | 9 | KSR25-L0-20-10-09-16 | 0,8 | 25 | 17,6 | 92,8 | 103 | 2,5 | 52 | 21 | 15 | _ | * | * |
| | 13 | KSR25-L0-20-10-13-15 | 1,6 | 25 | 17,6 | 132,7 | 144 | 2,5 | 52 | 21 | 15 | - | * | * |

p = шаг зубьев звездочки.

Допуск отверстия

| H, | | | | |
|-----------------------|----------------|--------|--|--|
| Конструктивный ряд | Отверстие d | Допуск | | |
| | MM | MM | | |
| KSRL0 | 16,2 | 0 | | |
| | | +0,1 | | |
| | 20 – 25 | 0 | | |
| | | -0,01 | | |

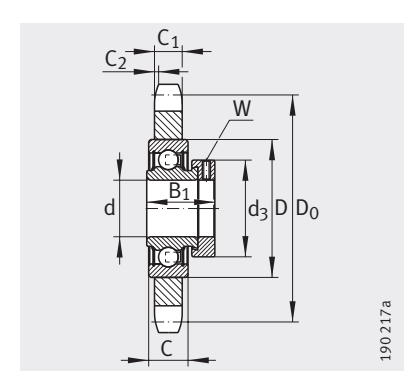


z = число зубьев.

 $^{^{3)}}$ Индексы материалов см. в разделе «Индексы материалов», стр. 1314.

⁴⁾ Допуск отверстия d, см. в таблице.

 $^{^{5)}}$ Состав условного обозначения – см. пример, стр. 1317, сноска $^{4)}$.



KSR..-B0

| Таблиц | Таблица размеров · Размеры в мм | | | | | | | | | | | | | | |
|-----------------------------|--|--|----------|------------------|----------------|----------------|----------------|--------------------|----|----------------|----|-------------------------|---|-----------------------------------|-------------|
| Зубчато зацепл | ение | Условное обозначение ^{3) 4)} | Macca | Размер | азмеры | | | | | | | | W | Для цепи, соответ- ствующей | |
| p ¹⁾ | z ²⁾ | | m ≈кг | d 0 +0,018 | C ₁ | D ₀ | D _k | C _{2 min} | D | B ₁ | С | d ₃ макс. | | DIN 8187 | DIN 8188 |
| ³ / ₈ | 20 | KSR15-B0-06-10-20-08 | 0,18 | 15 | 5,2 | 60,9 | 65 | 0,8 | 40 | 28,6 | 12 | 28 | 3 | * | - |
| 1/2 | 16 | KSR15-B0-08-10-16-08 | 0,21 | 15 | 7 | 65,1 | 70,5 | 1,1 | 40 | 28,6 | 12 | 28 | 3 | * | - |
| | 18 | KSR20-B0-08-10-18-08 | 0,32 | 20 | 7 | 73,1 | 78,6 | 1,1 | 47 | 31 | 14 | 33 | 3 | * | * |
| | | KSR20-B0-08-10-18-15 | 0,32 | 20 | 7 | 73,1 | 78,6 | 1,1 | 47 | 31 | 14 | 33 | 3 | * | * |
| | 19 | KSR25-B0-08-10-19-08 | 0,29 | 25 | 7 | 77,1 | 82,5 | 1,1 | 52 | 31 | 15 | 37,3 | 3 | * | * |
| ⁵ / ₈ | 14 | KSR15-B0-10-10-14-08 | 0,26 | 15 | 8,7 | 71,3 | 78 | 1,3 | 40 | 28,3 | 12 | 28 | 3 | * | * |
| | 17 | KSR20-B0-10-10-17-15 | 0,41 | 20 | 8,7 | 86,3 | 93,1 | 1,3 | 47 | 31 | 14 | 33 | 3 | * | * |
| 3/4 | 13 | KSR15-B0-12-10-13-08 | 0,4 | 15 | 10,5 | 79,6 | 87 | 1,5 | 40 | 28,6 | 12 | 28 | 3 | * | * |
| | 15 | KSR20-B0-12-10-15-16 | 0,47 | 20 | 10,5 | 91,6 | 99,2 | 1,5 | 47 | 31 | 14 | 33 | 3 | * | * |
| 1 | 10 | KSR20-B0-16-10-10-15 | 0,5 | 20 | 15,3 | 82,3 | 89,4 | 2 | 47 | 31 | 14 | 33 | 3 | * | _ |
| | 15 | KSR30-B0-16-10-15-15 | 1,34 | 30 | 15,3 | 122,2 | 131 | 2 | 62 | 35,7 | 18 | 44 | 4 | * | _ |

p = шаг зубьев звездочки.

- 15 диаметр отверстия подшипника;
- ВО закрепляемый подшипник с эксцентриковым закрепительным кольцом,
- конструктивный ряд RAE..-NPP; 06 шаг зубьев звездочки 1/16", индекс шага;
- 10 индекс цепи (индекс ширины или принадлежность к стандарту);
- число зубьев;индекс материала (металлокерамика).

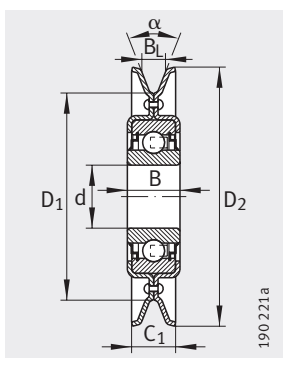


 $^{^{2)}}$ z = число зубьев.

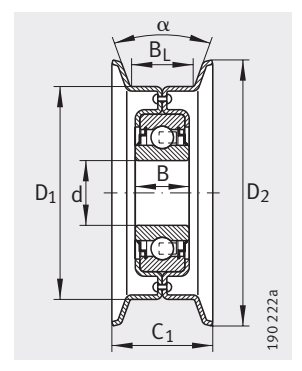
 $^{^{3)}}$ Индексы материалов – см. стр. 1314.

⁴⁾ Состав условного обозначения на примере **звездочки натяжителя цепи KSR15-B0-06-10-20-08:** KSR звездочка натяжителя цепи;

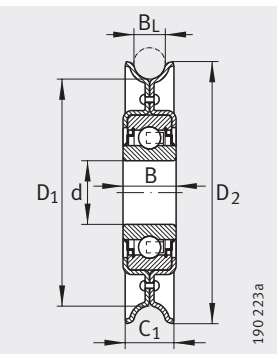
Ролики натяжителей ремня



RSRA..-LO, RSRA..-KO Конструктивный тип А



RSRB..-LO Конструктивный тип В



RSRD..-L0 Конструктивный тип D

| Табл | Таблица размеров · Размеры в мм | | | | | | | | | | | | |
|------|--|-------|-----------------|----------------|----------------|-------|----------------|----------------|------|---|--------------------------------|--------------------------|--|
| Тип | Условное обозначение | Macca | Разм | леры | | | | | Угол | Размеры клинового | Грузоподъемность ²⁾ | | |
| | | m | d ¹⁾ | D ₁ | D ₂ | В | C ₁ | B _L | α | ремня согласно DIN 2 215 (ISO 1 081, ISO 4 183, ISO 4 184) и DIN 7 753,часть 1 | дин. С _r | стат. С _{0r} | |
| | DCD445 00 LO | ≈кг | 4.5 | (4.6 | 00 | 4.4.4 | 20 | 12 (| 0 | (ISO 4 184) | H 7.600 | H | |
| Α | RSRA15-90-L0 | 0,24 | 15 | 61,6 | 90 | 14,4 | 20 | 12,4 | 32 | 8, 10, (12,5) | 7 600 | 3 700 | |
| | RSRA17-102-K0-AH01 | 0,42 | 17 | 70,8 | 102 | 12 | 22,2 | 12,7 | 34 | 8, 10, (12,5) | 9 800 | 4750 | |
| | RSRA13-129-L0-L114 ³⁾ | 0,56 | 13 | 73,7 | 129 | 18,3 | 32 | 22,1 | 32 | 13, 17, 20, 22 | 9 800 | 4750 | |
| | RSRA16-129-L0 | 0,54 | 16 | 73,7 | 129 | 18,3 | 32 | 22,1 | 32 | 13, 17, 20, 22 | 9 800 | 4750 | |
| | RSRA16-186-L0 | 1,11 | 16 | 130,8 | 186 | 18,3 | 32 | 22,1 | 32 | 13, 17, 20, 22 | 9 800 | 4750 | |
| В | RSRB15-92-L0 | 0,31 | 15 | 76,2 | 92 | 14,4 | 31 | 22,2 | 10 | - | 7 600 | 3 700 | |
| | RSRB13-117-L0 | 0,5 | 13 | 101 | 117 | 18,3 | 36 | 25,4 | 10 | _ | 9 800 | 4750 | |
| | RSRB16-117-L0 | 0,48 | 16 | 101 | 117 | 18,3 | 36 | 25,4 | 10 | - | 9 800 | 4750 | |
| | RSRB13-159-L0 | 0,8 | 13 | 139,7 | 159 | 18,3 | 36,5 | 25,4 | 10 | _ | 9 800 | 4750 | |
| | RSRB16-159-L0 | 0,78 | 16 | 139,7 | 159 | 18,3 | 36,5 | 25,4 | 10 | - | 9 800 | 4750 | |
| | RSRB16-222-L0 | 1,45 | 16 | 203 | 222 | 18,3 | 50 | 38 | 10 | _ | 9 800 | 4750 | |
| D | RSRD25-150-L0 | 0,83 | 25 | 133 | 154 | 21 | 24 | 17 | - | - | 14 000 | 7 800 | |

 $[\]overline{\text{Допуск отверстия d см. в таблице.}}$

Допуск отверстия

| Отверстие d | Допуск |
|----------------|---------------------|
| MM | мм |
| 13 | +0,08 -0,05 |
| 15 | 0 -0 , 08 |
| 16 | +0,26 +0,13 |
| 17 | 0 -0,008 |
| 25 | 0 -0,01 |

²⁾ Грузоподъемность подшипника.

³⁾ Подшипник заполнен консистентной смазкой L114 (GA47).

По вопросам продаж и поддержки обращайтесь:

Алматы (727)345-47-04 Ангарск (3955)60-70-56 Архангельск (8182)63-90-72 Астрахань (8512)99-46-04 Барнаул (3852)73-04-60 Белгород (4722)40-23-64 Благовещенск (4162)22-76-07 Брянск (4832)59-03-52 Владивосток (423)249-28-31 Владикавказ (8672)28-90-48 Владимир (4922)49-43-18 Волгоград (844)278-03-48 Вологда (8172)26-41-59 Воронеж (473)204-51-73 Екатеринбург (343)384-55-89

Россия +7(495)268-04-70

Иваново (4932)77-34-06 Ижевск (3412)26-03-58 Иркутск (395)279-98-46 Казань (843)206-01-48 Калининград (4012)72-03-81 Калуга (4842)92-23-67 Кемерово (3842)65-04-62 Киров (8332)68-02-04 Коломна (4966)23-41-49 Кострома (4942)77-07-48 Краснодар (861)203-40-90 Красноярск (391)204-63-61 Курск (4712)77-13-04 Курган (3522)50-90-47 Липецк (4742)52-20-81

Казахстан +7(727)345-47-04

Магнитогорск (3519)55-03-13 Москва (495)268-04-70 Мурманск (8152)59-64-93 Набережные Челны (8552)20-53-41 Нижний Новгород (831)429-08-12 Новокузнецк (3843)20-46-81 Ноябрьск (3496)41-32-12 Новосибирск (383)227-86-73 Омск (3812)21-46-40 Орел (4862)44-53-42 Оренбург (3532)37-68-04 Пенза (8412)22-31-16 Петрозаводск (8142)55-98-37 Псков (8112)59-10-37 Пермь (342)205-81-47

Беларусь +(375)257-127-884

Ростов-на-Дону (863)308-18-15 Рязань (4912)46-61-64 Самара (846)206-03-16 Санкт-Петербург (812)309-46-40 Саратов (845)249-38-78 Севастополь (8692)22-31-93 Саранск (8342)22-96-24 Симферополь (3652)67-13-56 Смоленск (4812)29-41-54 Сочи (862)225-72-31 Ставрополь (8652)20-65-13 Сургут (3462)77-98-35 Сыктывкар (8212)25-95-17 Тамбов (4752)50-40-97 Тверь (4822)63-31-35

Узбекистан +998(71)205-18-59

Тольятти (8482)63-91-07 Томск (3822)98-41-53 Тула (4872)33-79-87 Тюмень (3452)66-21-18 Ульяновск (8422)24-23-59 Улан-Удэ (3012)59-97-51 Уфа (347)229-48-12 Хабаровск (4212)92-98-04 Чебоксары (8352)28-53-07 Челябинск (351)202-03-61 Череповец (8202)49-02-64 Чита (3022)38-34-83 Якутск (4112)23-90-97 Ярославль (4852)69-52-93

Киргизия +996(312)96-26-47